

**3 NAČRT GRADBENIH KONSTRUKCIJ**

INVESTITOR:

**MESTNA OBČINA KRANJ**  
**Slovenski trg 1**  
**4000 KRANJ**

NAROČNIK:

**COM-ARH, d.o.o.**  
**Gregorčičeva 12**  
**2000 MARIBOR**

OBJEKT:

**REGIJSKI VEČNAMENSKI ŠPORTNO VADBENI  
CENTER KRANJ**

VRSTA PROJEKTA:

**PGD (projekt za gradbeno dovoljenje)**

ŠTEVILKA PROJEKTA:

**08/09**

ŠTEVILKA NAČRTA:

**A-199/10**

PROJEKTANT:

**LINE, d.o.o. MARIBOR**  
**Glavni trg 17/b, 2000 MARIBOR**

DIREKTOR:

**Peter Kristanič, univ.dipl.inž.gr.**

ODGOVORNI PROJEKTANT:

**Peter Kristanič, univ.dipl.inž.gr.**  
**G-0386**ODGOVORNI VODJA  
PROJEKTA:**Tom Pirkmajer, univ.dipl.inž.arh.**  
**A-0232**

KRAJ IN DATUM IZDELAVE:

**Maribor, julij 2010**

**PODATKI O PROJEKTANTIH****Številka projekta:08/09****Številka načrta:A-199/10**

---

**ODGOVORNI VODJA PROJEKTA:**

Tom Pirkmajer, univ.dipl.inž.arh.  
A-0232

OSEBNA ŠTAMPILKA:

---

**Kraj in datum: Maribor, julij 2010**

---

**ODGOVORNI PROJEKTANT GRADBENIH KONSTRUKCIJ:**

Peter Kristanič, univ.dipl.inž.gr.  
G-0386

OSEBNA ŠTAMPILKA:

SODELAVCI:  
Dr. Niko Kristanič, univ.dipl.inž.gr.  
G-3119

---

**Kraj in datum: Maribor, julij 2010**

---

**KAZALO VSEBINE NAČRTA GRADBENIH KONSTRUKCIJ  
št. A-199/10**

Naslovna stran načrta

Kazalo vsebine načrta

Izjava odgovornega projektanta načrta

Tehnično poročilo

Statični račun

Risbe

**IZJAVA  
ODGOVORNEGA PROJEKTANTA NAČRTA  
V PROJEKTU ZA PRIDOBITEV GRADBENEGA DOVOLJENJA**

Načrt: NAČRT GRADBENIH KONSTRUKCIJ

Št. načrta: A-199/10

Št. projekta: 08/09

Objekt: REGIJSKI VEČNAMENSKI ŠPORTNO VADBENI CENTER KRANJ

Odgovorni projektant načrta gradbenih konstrukcij:

Peter Kristanič, univ.dipl.inž.gr., G-0386

**I Z J A V L J A M,**

1. da je načrt gradbenih konstrukcij št. A-199/10 v projektu za pridobitev gradbenega dovoljenja št. 08/09 skladen s prostorskim aktom,
2. da je načrt skladen z gradbenimi predpisi,
3. da je načrt skladen s pridobljenimi projektni pogoji oziroma soglasji za priključitev,
4. da so bile pri izdelavi načrta upoštevane vse ustrezne bistvene zahteve in da je načrt izdelan tako, da bo gradnja, izvedena v skladu z njim, zanesljiva,
5. da so v načrtu upoštevane zahteve elaboratov (če so obvezni).

Peter Kristanič, univ.dipl.inž.gr., G-0386

Maribor, julij 2010

## TEHNIČNO POROČILO

### K IZDELAVI NAČRTA GRADBENIH KONSTRUKCIJ REGIJSKEGA VEČNAMENSKEGA ŠPORTNO VADBENEGA CENTRA KRANJ (Načrt št. A-199/10)

#### 1. SPLOŠNO

Predvidena je izgradnja regijskega večnamenskega športno vadbenega centra v Kranju. Načrt gradbenih konstrukcij zajema visečo konstrukcijo strehe nad tribunami, tribune z uporabnimi prostori ter pokrito športno halo, ki je povezana s konstrukcijo tribun.

#### 2. KONSTRUKCIJA

Konstrukcija tribun z uporabnimi površinami je tlorisnih dimenziј 69m·36m. Pod tribuno z zgornjo koto +10,06 m so uporabne površine v dveh nadstropjih, nadstropje na višini +5,05 m ter pritliče na višini +0,00 m. Klet je predvidena v dveh nivojih na koti -3,30 m in -5,60 m. Viseča streha tribun porkriva celotno konstrukcijo tribun in vhodna stopnišča na tribune.

Spodnji nivo kleti je povezan s pokrito športno halo dimenziј 36m·30m z ravno streho na višini +5,30 m ter vhodnim delom dimenziј 12,5m·11m. Hala ima svetlo višino 9m s koto tal na nivoju druge kleti -5,60 m ter streho na nivoju +5,30m. Vhodni in skladniščni del hale je predviden v 2 nadstropjih, dveh kletnih nivojih na višinah -5,60m in -2,80 m ter enim pritličnim nivojem na višini +0,00m.

Viseča strešna konstrukcija se izvede v jekleni izvedbi z lahko, pločevinasto kritino. Nosilna konstrukcija kritine v vzdolžni smeri narega na glavne strešne nosilce s prerezom pravokotne škatlaste oblike, ki so s pomočjo jeklenih vrvi pritrjeni na glavne jekelne pilone s konusnim, votlim, okroglim, jeklenim prerezom. Horizontalno in vertikalno bočno stabilizacijo se izvede z zavetrovanjem s pomočjo jeklenih palic.

Streha nad športno halo se izvede s paličnimi jeklenimi nosilci s pravokotnimi, votlimi prerezi, ki nosijo lahko, jekleno kritino. Bočno se streha stabilizira s pomočjo povezja iz jeklenih palic. Vertikalno bočno podporo nudi betonski del konstrukcije z obodnimi stenami.

Nosilna jeklena konstrukcija se izdela iz jeklenih cevnih profilov in valjanih nosilcev v varjeni in viačni izvedbi. V primeru, da se investitor odloči za zaščito konstrukcije z vročim cinkanjem, je potrebno zagotoviti predpripravo s cinkanjem posameznih sestavnih delov jeklene konstrukcije, ki se jih na mestu stikuje z viačenjem.

Nosilna konstrukcija tribun in hale se izvede z armiranim in prednapetim betonom. Osnovni element je armiranobetonski okvir, na katerega so odložene armiranobetonske plošče v monolitni in montažni izvedbi kot prednapete votle plošče. Za namestitev sedežev za gledalce se poševni del tribune izvede iz montažnih AB »L« elementov, ki naregajo na tribunskih okvirjih. Elementi se sidrajo v okvirni nosilec z vgrajenimi sidri, ki se po montaži

zalijejo s cementno malto. Plošča nad kletjo na koti 0.0 se izvede iz montažnih prednapetih votlih plošč tipa VSHD 32 cm. Plošča (stiki, povezave, zaključki) se izvede po navodilih proizvajalca. Plošča nad kletjo nad sanitarnim delom se izvede kot monolitna AB plošča. Plošča nad pritličjem je monolitna AB plošča, odložena na prečne nosilce, ki povezijo tribunske okvirje. Nosilne stene objekta so monolitne, armiranobetonske, temeljene na pasovnih plitvih temeljih. V osi, kjer temelji stene telovadnice sovpadajo s temelji pilonov strehe tribune, je predviden masivni pasovni temelj. Zaradi zahtevnosti temeljenja pilonov je potrebno pridobiti geomehanske podatke iz lokacije in temeljenje uskladiti s pogoji poročila.

Trakt dvorane zajema še trakt za sanitarije na zahodni strani in tehnični trakt na severni strani. Dvoprana je prekrita z jekleno konstrukcijo, trakt na zahodni in severni strani pa s ploščami v monolitni in montažni izvedbi s PVP ploščami tipa VSHD 26.5 cm. Obodne in nosilne mesne stene so monolitne, armiranobetonske. Vhod na zahodni strani sestavlja stopnišče z dvigalnim jaškom in pokrita vhodna avla, prekrita z jekleno konstrukcijo, sestavljeno iz primarnih nosilcev in sendvič elementov Trimo panel SNV 150. Temeljenje vseh nosilnih sten v traktu dvorane se izvede na monolitnih AB pasovnih temeljih. Vsa stopnišča v objektu so predvidena v monolitni, armiranobetonski izvedbi.

### 3. OBTEŽBA

Vertikalno obtežbo predstavljajo stalni vplivi (lastna teža elementov nosilne konstrukcije in stalna obtežba), ki so določeni na osnovi karakteristik uporabljenih materialov konstrukcije in opreme. Ostale obtežbe, obtežba s snegom in vetrom ter potresna obtežba so določene na osnovi predpisov družine Evrokod. Koristne obtežbe so določene na podlagi podatkov, ki jih je podal naročnik.

Obtežba vetra je določena po SIST 1991. Objekt je v I. vetrni coni. Upoštevana je II. kategorija terena. Upoštevana referenčna hitrost vetra:  $v_{ref} = 20 \text{ m/s}$ .

Obtežba snega je določena po SIST 1991. Objekt je v drugi alpski coni A2 na projektni nadmorski višini 410 m. Upoštevana karakteristična obtežba snega je  $s_k = 1,70 \text{ kN/m}^2$ . Upoštevana je zaledenitev v sloju 1 cm.

Objekt je izpostavljen nevarnosti potresa s projektnim pospeškom tal  $a_g = 0,225 \text{ g}$  z upoštevanjem povratne dobe 475 let.

### 4. MATERIALI

Nosilna konstrukcija se izdela iz betona kvalitete C25/30, ter jekla za armaturo S500. Jekleni del konstrukcije se izdela iz konstrukcijskega jekla S 235 J2G3 (St 37-3N) z mejo plastičnosti  $f_y = 235 \text{ N/mm}^2$ . Piloni strehe tribune so iz jekla S355. Vijaki so kvalitete 10.9. Vse priključne plošče in temeljne plošče so izdelane iz jeklene pločevine ustrezone debeline. Vsi zvari so I. kvalitete. Vsa varilska dela morajo izvajati varilci z uspešno opravljeno preizkušnjo po SIST EN 287-1. Vse zvare je potrebno 100% vizualno pregledati, sočelne zvare je potrebno pregledati s pomočjo ultrazvoka ali rentgena. Uporabiti je potrebno atestirane materiale.

Jeklena konstrukcija mora biti ustrezeno antikorozjsko zaščitenaa in izdelana ter montirana v skladu s SIST EN 1090-1 in SIST EN 1090-2.

## 5. IZVEDBA

Jeklena konstrukcija je predvidena iz montažnih elementov. Posamezni elementi se izdelajo v delavnici po delavnih načrtih. V delavnici se elementi zvarijo in izvrtajo luknje za vijačenje. Vsi ostri robovi morajo biti obdelani. Zvari morajo biti ustrezno kontrolirani. Luknje na ploščah in profilih predvidene za vijačne spoje morajo biti izdelane z vrtanjem. Izdelava lukenj s prebijanjem ni dovoljena. Točnost izdelanih elementov naj bo v delavnici preverjena s poskusno montažo.

Vsi montažni elementi se sestavijo v nosilno jekleno konstrukcijo z vijačenjem. Varjenje pri montaži je predvideno za spajanje paličnih nosilcev. V kolikor bi zaradi potreb izvajalca bilo potrebno varjenje pri montaži, mora biti s spremembou postopka seznanjen projektant, ki mora za to podati soglasje. Po izdelavi morajo biti vsi elementi ustrezno antikorozjsko zaščiteni. Sistem in debeline slojev antikorozjskega premaza je potrebno izvesti v skladu z EN ISO 12944 ter EN ISO 19840. Upoštevati je potrebno zahteve, podane v SIST EN 1090.

Površine je potrebno opeskatiti Sa 2 ½ po švedskem standardu SIS 055900. Pred nanosom osnovnega premaza je potrebno površine razmasti in odprašiti. Prekrivni premaz je potrebno izvesti delavnisko. Po transportu in montaži je potrebno poškodovana mesta popraviti. V kolikor ni posebnih zahtev investitorja mora skupna debelina nanosa znašati min. 160 µm. Zadnji zunanji premaz mora biti odporen na UV žarke.

Postopek izvedbe protikorozjske zaščite pripravi izvajalec protikorozjske zaščite ob upoštevanju navodil proizvajalca premazov. Nianso zaključnega premaza določi arhitekt oz. investitor.

Izdelavo in montažo jeklenih delov konstrukcije je potrebno izvesti v skladu s SIST EN 1090-2. Privzeti je potrebno razred izdelave EXC3.

Izvajalec je dolžan pred pričetkom gradnje izdelati elaborat postopka gradnje, vključno z vsemi varstvenimi ukrepi. Med gradnjo mora voditi vso po veljavnih predpisih zahtevano dokumentacijo, ki se nanaša na dokazovanje kvalitete vgrajenih materialov in tehnoloških postopkov posameznih faz gradnje. Vsi uporabljeni materiali morajo imeti ustrezne ateste oziroma ustrezna veljavna evropska tehnična soglasja, morajo biti vgrajeni po predpisih in morajo ustrezati veljavnim predpisom in standardom. Dela je potrebno izvajati po veljavnih predpisih in standardih. Izvajati jih mora za ta dela usposobljeno podjetje. Pri delu je potrebno upoštevati ustrezne predpise iz varstva pri delu.

Zvare jeklenih konstrukcij je potrebno kontrolirati v fazi izvedbe v skladu s predpisi. Izkop za temelje mora kontrolirati pooblaščen geomehanik in ustreznost potrditi z vpisom v gradbeni dnevnik. Pri delu je potrebno upoštevati ustrezne predpise iz varstva pri delu.

Glede odpadkov, ki nastanejo pri gradnji, mora investitor zagotoviti, da izvajalci gradbenih del gradbene odpadke oddajo zbiralcu gradbenih odpadkov oz. morajo se upoštevati določbe Pravilnika o ravnanju z odpadki, ki nastanejo pri gradbenih delih (Ur.l. RS št. 3/2003). Tudi transport odpadkov mora biti primerno zavarovan.

Izvajalec jeklene konstrukcije je dolžan v okviru izgradnje izdelati in pripraviti sledeče dokumente:

- načrt zagotavljanja kakovosti del,
- elaborate varstva pri delu,
- varilni načrt s planom sestave, delavnškega in montažnega varjenja; plan montaže,
- kontrolno dokumentacijo (atesto oz. ustreznih tehničnih soglasja osnovnega, dodajnega in spojnega materiala, ateste varilcev, varilnih postopkov, merskih protokolov, rezultatov kontrole zvarov).

## **6. TEHNIČNI PREDPISI**

Pri izdelavi predložene projektne dokumentacije je bila upoštevana vsa veljavna tehnična regulativa, ki zajema gradnjo objektov, varstvo pri delu, varstvo pred hrupom, varstvo pred požarom in potresom. Nadalje so upoštevani ustreznii tehnični predpisi za področje gradbene mehanike, materialov in izvedbo. Pri dimenzioniranju so upoštevani standardi Eurocode.

Sestavil:

Dr. Niko KRISTANIČ, udig.

Maribor, julij 2010

## **STATIČNA ANALIZA**

**K IZDELAVI NAČRTA GRADBENIH KONSTRUKCIJ REGIJSKEGA  
VEČNAMENSKEGA ŠPORTNO VADBENEGA CENTRA KRANJ**  
(Načrt št. A-199/10)



## Kazalo

---

|            |  |           |
|------------|--|-----------|
| <b>1.0</b> | <b>ZASNOVA KONSTRUKCIJE .....</b>              | <b>2</b>  |
| <b>2.0</b> | <b>OBTEŽBE .....</b>                           | <b>5</b>  |
| 2.1        | STALNA OBTEŽBA NA STREHAH .....                | 5         |
| 2.2        | OBTEŽBA VETRA .....                            | 6         |
| 2.3        | OBTEŽBA SNEGA .....                            | 13        |
| 2.4        | POTRESNA OBTEŽBA .....                         | 15        |
| <b>4.0</b> | <b>KONSTRUKCIJA STREHE NAD TRIBUNAMI .....</b> | <b>16</b> |
| 4.1        | MODEL .....                                    | 17        |
| 4.2        | SPISEK MATERIALA .....                         | 18        |
| 4.3        | PREČNI PREREZI .....                           | 19        |
| 4.4        | PRIKAZ OBTEŽB .....                            | 25        |
| 4.5        | KOMBINACIJE OBTEŽNIH PRIMEROV .....            | 30        |
| 4.6        | LASTNE FREKVENCE .....                         | 31        |
| 4.7        | NOTRANJE SILE IN POMIKI .....                  | 31        |
| 4.8        | REAKCIJE .....                                 | 34        |
| 4.9        | Izkoriščenost prerezov – Dimezioniranje .....  | 35        |
| <b>5.0</b> | <b>KONSTRUKCIJA STREHE ŠPORTNE HALE .....</b>  | <b>42</b> |
| 5.1        | SPISEK MATERIALA .....                         | 42        |
| 5.2        | PREČNI PREREZI .....                           | 43        |
| 5.3        | PRIKAZ OBTEŽB .....                            | 54        |
| 5.4        | KOMBINACIJE OBTEŽNIH PRIMEROV .....            | 57        |
| 5.5        | NOTRANJE SILE IN POMIKI .....                  | 57        |
| 5.6        | REAKCIJE .....                                 | 59        |
| 5.7        | Izkoriščenost prerezov – Dimezioniranje .....  | 59        |
| <b>6.0</b> | <b>MASIVNE KONSTRUKCIJE OBJEKTA .....</b>      | <b>67</b> |

## 1.0 Zasnova konstrukcije

### Splošno

Konstrukcija tribun z uporabnimi površinami je tlorisnih dimenziij 69m·36m. Pod tribuno z zgornjo koto +10,06 m so uporabne površine v dveh nadstropjih, nadstropje na višini +5,05 m ter pritličje na višini +0,00 m. Klet je predvidena v dveh nivojih na koti -3,30 m in -5,60 m. Viseča streha tribun porkriva celotno konstrukcijo tribun in vhodna stopnišča na tribune.

Spodnji nivo kleti je povezan s pokrito športno halo dimenziij 36m·30m z ravno streho na višini +5,30 m ter vhodnim delom dimenziij 12,5m·11m. Hala ima svetlo višino 9m s koto tal na nivoju druge kleti -5,60 m ter streho na nivoju +5,30m. Vhodni in skladiščni del hale je predviden v 2 nadstropjih, dveh kletnih nivojih na višinah -5,60m in -2,80 m ter enim pritličnim nivojem na višini +0,00m.

Viseča strešna konstrukcija se izvede v jekleni izvedbi z lahko, pločevinasto kritino. Nosilna konstrukcija kritine v vzdolžni smeri narega na glavne strešne nosilce s prerezom pravokotne škatlaste oblike, ki so s pomočjo jeklenih vrvi pritrjeni na glavne jekelne pilone s konusnim, votlim, okroglim, jeklenim prerezom. Horizontalno in vertikalno bočno stabilizacijo se izvede z zavetrovanjem s pomočjo jeklenih palic.

Streha nad športno halo se izvede s paličnimi jeklenimi nosilci s pravokotnimi, votlimi prerezi, ki nosijo lahko, jekleno kritino. Bočno se streha stabilizira s pomočjo povezja iz jeklenih palic. Vertikalno bočno podpora nudi betonski del konstrukcije z obodnimi stenami.

Nosilna jeklena konstrukcija se izdela iz jeklenih cevnih profilov in valjanih nosilcev v varjeni in viačni izvedbi. V primeru, da se investitor odloči za zaščito konstrukcije z vročim cinkanjem, je potrebno zagotoviti predpripomoč s cinkanjem posameznih sestavnih delov jeklene konstrukcije, ki se jih na mestu stikuje z viačenjem.

Nosilna konstrukcija tribun in hale se izvede z armiranim in prednapetim betonom. Osnovni element je armiranobetonski okvir, na katerega so odložene armiranobetonske plošče v monolitni in montažni izvedbi kot prednapete votle plošče. Za namestitev sedežev za gledalce se poševni del tribune izvede iz montažnih AB »L« elementov, ki naregajo na tribunskih okvirjih. Elementi se sidrajo v okvirni nosilec z vgrajenimi sidri, ki se po montaži zalijejo s cementno malto. Plošča nad kletjo na koti 0.0 se izvede iz montažnih prednapetih votlih plošč tipa VSHD 32 cm. Plošča (stiki, povezave, zaključki) se izvede po navodilih proizvajalca. Plošča nad kletjo nad sanitarnim delom se izvede kot monolitna AB plošča. Plošča nad pritličjem je monolitna AB plošča, odložena na prečne nosilce, ki povezijo tribunske okvirje. Nosilne stene objekta so monolitne, armiranobetonske, temeljene na pasovnih plitvih temeljih. V osi, kjer temelji stene telovadnice sovpadajo s temelji pilonov strehe tribune, je predviden masivni pasovni temelj. Zaradi zahtevnosti temeljenja pilonov je potrebno pridobiti geomehanske podatke iz lokacije in temeljenje uskladiti s pogoji poročila.

Trakt dvorane zajema še trakt za sanitarije na zahodni strani in tehnični trakt na severni strani. Dvoprana je prekrita z jekleno konstrukcijo, trakt na zahodni in severni strani pa s ploščami v monolitni in montažni izvedbi s PVP ploščami tipa VSHD 26,5 cm. Obodne in nosilne mesne stene so monolitne, armiranobetonske. Vhod na zahodni strani sestavlja stopnišče z dvigalnim jaškom in pokrita vhodna avla, prekrita z jekleno konstrukcijo, sestavljeno iz primarnih nosilcev in sendvič elementov Trimo panel SNV 150. Temeljenje vseh nosilnih sten v traktu dvorane se izvede na monolitnih AB pasovnih temeljih. Vsa stopnišča v objektu so predvidena v monolitni, armiranobetonski izvedbi.

### Obtežbe

Vertikalno obtežbo predstavljajo stalni vplivi (lastna teža elementov nosilne konstrukcije in stalna obtežba), ki so določeni na osnovi karakteristik uporabljenih materialov konstrukcije in opreme. Ostale obtežbe, obtežba s snegom in vetrom ter potresna obtežba so določene na osnovi predpisov družine Evrokod. Koristne obtežbe so določene na podlagi podatkov, ki jih je podal naročnik.

Obtežba vetra je določena po SIST 1991. Objekt je v I. vetrni coni. Upoštevana je II. kategorija terena. Upoštevana referenčna hitrost vetra:  $v_{ref} = 20 \text{ m/s}$ .

Obtežba snega je določena po SIST 1991. Objekt je v drugi alpski coni A2 na projektni nadmorski višini 410 m. Upoštevana karakteristična obtežba snega je  $s_k = 1,70 \text{ kN/m}^2$ . Upoštevana je zaledenitev v sloju 1 cm.

Objekt je izpostavljen nevarnosti potresa s projektnim pospeškom tal  $a_g = 0,225 \text{ g}$  z upoštevanjem povratne dobe 475 let.

### Materiali

Nosilna konstrukcija se izdela iz betona kvalitete C25/30, ter jekla za armaturo S500. Jekleni del konstrukcije se izdela iz konstrukcijskega jekla S 235 J2G3 (St 37-3N) z mejo plastičnosti  $f_y = 235 \text{ N/mm}^2$ . Piloni strehe tribune so iz jekla S355. Vijaki so kvalitete 10.9.

Vse priključne plošče in temeljne plošče so izdelane iz jeklene pločevine ustrezone debeline. Vsi zvari so I. kvalitete. Vsa varilska dela morajo izvajati varilci z uspešno opravljeno preizkušnjo po SIST EN 287-1. Vse zvare je potrebno 100% vizualno pregledati, sočelne zvare je potrebno pregledati s pomočjo ultrazvoka ali rentgena. Uporabiti je potrebno atestirane materiale.

Jeklena konstrukcija mora biti ustrezeno antikorozijsko zaščitenega in izdelana ter montirana v skladu s SIST EN 1090-1 in SIST EN 1090-2.

### Izdelava in izvedba

Jeklena konstrukcija je predvidena iz montažnih elementov. Posamezni elementi se izdelajo v delavnici po delavninskih načrtih. V delavnici se elementi zvarijo in izvrtajo luknje za vijačenje. Vsi ostri robovi morajo biti obdelani. Zvari morajo biti ustrezeno kontrolirani. Luknje na ploščah in profilih predvidene za vijačne spoje morajo biti izdelane z vrtanjem. Izdelava lukenj s prebijanjem ni dovoljena. Točnost izdelanih elementov naj bo v delavnici preverjena s poskusno montažo.

Vsi montažni elementi se sestavijo v nosilno jekleno konstrukcijo z vijačenjem. Varjenje pri montaži je predvideno za spajanje paličnih nosilcev. V kolikor bi zaradi potreb izvajalca bilo potrebno varjenje pri montaži, mora biti s spremembou postopka seznanjen projektant, ki mora za to podati soglasje. Po izdelavi morajo biti vsi elementi ustrezeno antikorozijsko zaščiteni. Sistem in debeline slojev antikorozijskega premaza je potrebno izvesti v skladu z EN ISO 12944 ter EN ISO 19840. Upoštevati je potrebno zahteve, podane v SIST EN 1090.

Površine je potrebno opeskatи Sa 2 ½ po švedskem standardu SIS 055900. Pred nanosom osnovnega premaza je potrebno površine razmastiti in odprašiti. Prekrivni premaz je potrebno izvesti delavnisko. Po transportu in montaži je potrebno poškodovana mesta popraviti. V kolikor ni posebnih zahtev investitorja mora skupna debelina nanosa znašati min. 160 µm. Zadnji zunanji premaz mora biti odporen na UV žarke.

Postopek izvedbe protikorozijske zaščite pripravi izvajalec protikorozijske zaščite ob upoštevanju navodil proizvajalca premazov. Nianso zaključnega premaza določi arhitekt oz. investitor.

Izdelavo in montažo jeklenih delov konstrukcije je potrebno izvesti v skladu s SIST EN 1090-2. Privzeti je potrebno razred izdelave EXC3.

Zapisal:  
Dr. Niko Kristanič, u.d.i.g.

## 2.0 Obtežbe

### 2.1 Stalna obtežba na strehah

#### Stalna obtežba strehe nad tribunami

##### Stalna g - lastna teža

|                      |                        |
|----------------------|------------------------|
| - sekundarni nosilci | 0,05 kN/m <sup>2</sup> |
| - instalacije        | 0,18 kN/m <sup>2</sup> |
| - pločevina 6 mm 2x  | 0,40 kN/m <sup>2</sup> |
|                      | <hr/>                  |
|                      | 0,63 kN/m <sup>2</sup> |

#### Stalna obtežba strehe nad športno halo

##### Stalna g - lastna teža

|                          |                        |
|--------------------------|------------------------|
| - sekundarni nosilci     | 0,10 kN/m <sup>2</sup> |
| - instalacije            | 0,20 kN/m <sup>2</sup> |
| - SNV200 strešna kritina | 0,36 kN/m <sup>2</sup> |
|                          | <hr/>                  |
|                          | 0,66 kN/m <sup>2</sup> |

Upoštevana je obtežba sončnih kolektorjev s težo 0,22 kN/m.

## 2.2 Obtežba vetra

Obtežba vetra je določena po SIST 1991. Objekt je v I. vetrni coni. Upoštevana je II. kategorija terena. Upoštevana referenčna hitrost vetra:  $v_{ref} = 20 \text{ m/s}$ .

### 2.2.1 Obtežba z vetrom na objekta s tribunami:

**Streha:**

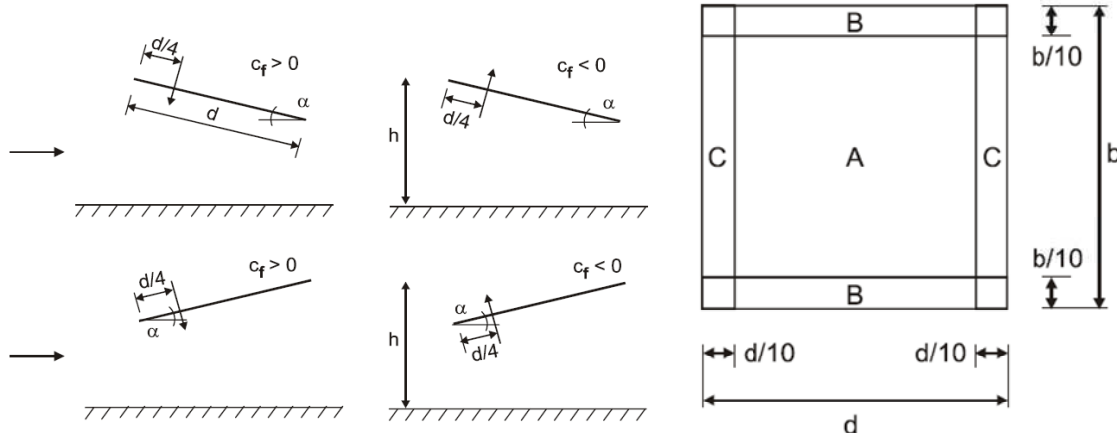
|                |      |                   |   |
|----------------|------|-------------------|---|
| $v_{b,0} =$    | 20   | m/s               | ...projektna hitrost vetra (Nacionalni dodatek) |
| $r =$          | 1,25 | kg/m <sup>3</sup> | ...gostota zraka (Nacionalni dodatek)           |
| $c_{dir} =$    | 1,00 |                   | ...faktor smeri (Section 4.1)                   |
| $c_{season} =$ | 1,00 |                   | ...faktor sezone (Section 4.1)                  |
| $c_0 =$        | 1    |                   | ...faktor orografije (Section 4.3.1)            |
| $k_t =$        | 1    |                   | ...faktor turbulence (Section 4.4)              |
| $c_s c_d =$    | 1    |                   | ...faktor konstrukcije (Section 6)              |
| TC:            | II   |                   | ...kategorija terena (Section 4.3.2)            |
| $z_{0,II} =$   | 0,05 |                   | ...kategorija terena II, referenčna vrednost    |
| $z_0 =$        | 0,05 |                   | ...hrapavostna dolžina (Tabela 4.1)             |
| $z_{min} =$    | 2    |                   | ...najmanjša višina (Tabela 4.1)                |
| $z_{max} =$    | 200  |                   | ...največja višina (Tabela 4.1)                 |

|            |       |                   |   |
|------------|-------|-------------------|---|
| $z_e =$    | 18,00 | m                 | ...višina na kateri računamo obtežbo    |
| $v_b =$    | 20,00 | m/s               | ...osnovna hitrost vetra                |
| $q_b =$    | 0,25  | kN/m <sup>2</sup> | ...osnovna obtežba vetra                |
| $k_r =$    | 0,19  |                   | ...faktor terena (Section 4.3.2)        |
| $c_r =$    | 1,12  |                   | ...faktor hrapavosti (Section 4.3.2)    |
| $v_m =$    | 22,37 | m/s               | ...srednja hitrost vetra                |
| $I_v =$    | 0,17  |                   | ...intenziteta turbulence (Section 4.4) |
| $q_p =$    | 0,68  | kN/m <sup>2</sup> | ...največja obremenitev z vetrom        |
| $c_e(z) =$ | 2,74  |                   | ...faktor izpostavljenosti              |

### Obtežba za primer nadstrešice z zaprtim zavetnimi delom:

|                                  |   |
|----------------------------------|---|
| $\alpha = 14^\circ$              | ...nagib strehe   |
| <b>Celotni koeficienti sile:</b> | <b>Tlak:</b>  |
| $\varphi = 1$                    | ...zapolnjenost prostora  |
| A $c_{pe,max} = 1,12$            | $0,77 \text{ kN/m}^2$ ...max vrednost                             |
| $c_{pe,min \varphi=0} = -1,42$   | ...min vrednost (praznem prostor)                                 |
| $c_{pe,min \varphi=1} = -2$      | ...min vrednost (ovira na zavetni strani)                         |
| $c_{pe,min} = -2$                | $-1,37 \text{ kN/m}^2$ ...min vrednost (upoštevana)               |
| B $c_{pe,max} = 2,34$            | $1,60 \text{ kN/m}^2$ ...max vrednost                             |
| $c_{pe,min \varphi=0} = -1,94$   | ...min vrednost (praznem prostor)                                 |
| $c_{pe,min \varphi=1} = -2,52$   | ...min vrednost (ovira na zavetni strani)                         |
| $c_{pe,min} = -2,52$             | $-1,73 \text{ kN/m}^2$ ...min vrednost (upoštevana)               |
| C $c_{pe,max} = 1,54$            | $1,05 \text{ kN/m}^2$ ...max vrednost                             |
| $c_{pe,min \varphi=0} = -2,04$   | ...min vrednost (praznem prostor)                                 |
| $c_{pe,min \varphi=1} = -2,66$   | ...min vrednost (ovira na zavetni strani)                         |
| $c_{pe,min} = -2,66$             | $-1,82 \text{ kN/m}^2$ ...min vrednost (upoštevana)               |
| <br>                             |   |
| $c_{f,max} = 0,48$               | $0,33 \text{ kN/m}^2$ ...max vrednost celotnega koeficijenta sile |
| $c_{f,min \varphi=0} = -0,86$    | ...min vrednost (praznem prostor)                                 |
| $c_{f,min \varphi=1} = -1,4$     | ...min vrednost (ovira na zavetni strani)                         |
| $c_{f,min} = -1,4$               | $-0,96 \text{ kN/m}^2$ ...min vrednost (upoštevana)               |

Key plan



### Obtežba za cilindrično obliko:

#### Celotni koeficienti sile:

|                 |       |   |  |
|-----------------|-------|---|--|
| $h =$           | 17,40 | m | ... višina cilindra                              |
| $f =$           | 5,00  | m | ... višina kupole                                |
| $d =$           | 37,00 | m | ... premer konstrukcije                          |
| $h/d =$         | 0,47  |   | ... razmerje (glej Sliko 7.12; SIST EN 1991-1-4) |
| $f/d =$         | 0,14  |   | ... razmerje (glej Sliko 7.12; SIST EN 1991-1-4) |
| A $c_{pe,10} =$ | -1,13 |   | ... maksimalni koeficient tlaka na območju A     |
| B $c_{pe,10} =$ | -0,85 |   | ... maksimalni koeficient tlaka na območju B     |
| C $c_{pe,10} =$ | -0,40 |   | ... maksimalni koeficient tlaka na območju C     |

#### Ekstremne vrednosti notranjih pritiskov:

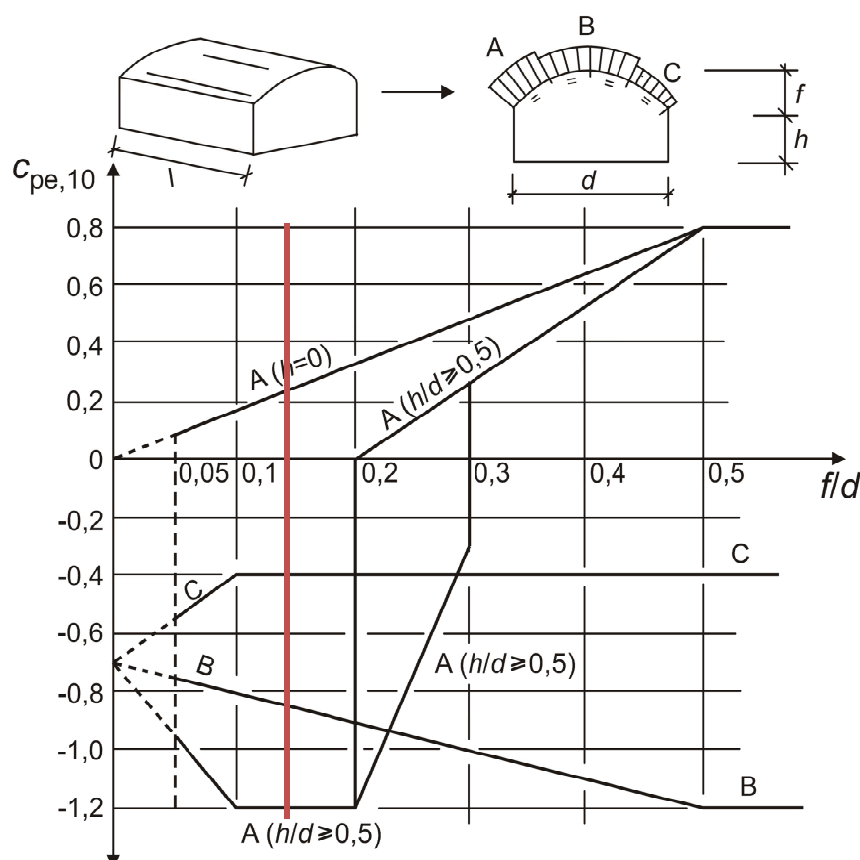
|            |      |                     |
|------------|------|---------------------|
| $c_{pi} =$ | 0,2  | ...notranji pritisk |
| $c_{pi} =$ | -0,3 | ...notranji srk     |

#### Maksimalni tlaki po območjih:

|            |       |                                  |
|------------|-------|----------------------------------|
| $w_{A+} =$ | -0,77 | ... maksimalni tlak na območju A |
| $w_{B+} =$ | -0,58 | ... maksimalni tlak na območju B |
| $w_{C+} =$ | -0,27 | ... maksimalni tlak na območju C |

#### Ekstremne vrednosti pritiskov:

|         | min   | max   |                   |                                  |
|---------|-------|-------|-------------------|----------------------------------|
| $w_A =$ | -0,91 | -0,57 | kN/m <sup>2</sup> | ... maksimalni tlak na območju A |
| $w_B =$ | -0,72 | -0,38 | kN/m <sup>2</sup> | ... maksimalni tlak na območju B |
| $w_C =$ | -0,41 | -0,07 | kN/m <sup>2</sup> | ... maksimalni tlak na območju C |



### Obtežba na fasado:

|        |               |                      |
|--------|---------------|----------------------|
| Fasada | 0,25>h/d>1,00 | ex = min(b,2h)= 34 m |
|        |               | ey = min(b,2h)= 34 m |

samo zunanji pritisk  $w_0$ :

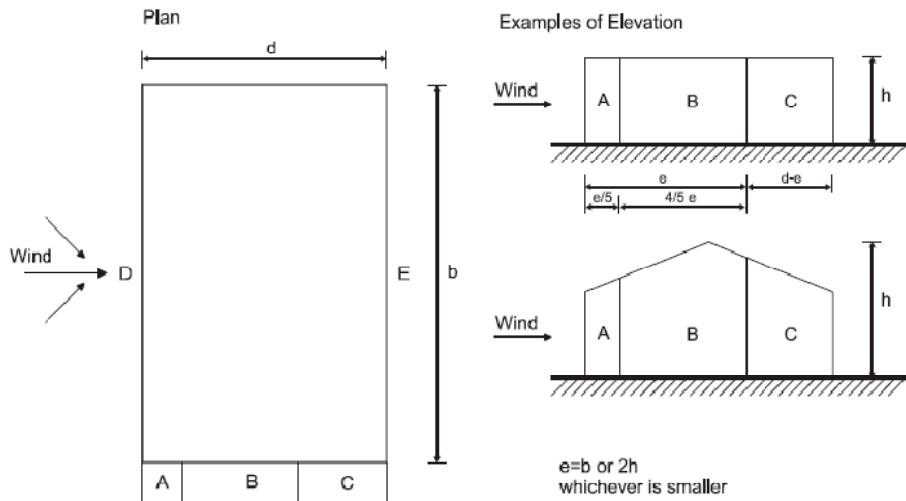
|                 | c <sub>pe</sub> | q <sub>p</sub> | w <sub>0</sub> [kN/m <sup>2</sup> ] |
|-----------------|-----------------|----------------|-------------------------------------|
| čelna stena D:  | 0,8             |                | 0,55                                |
| zadnja stena E: | -0,5            |                | -0,34                               |
| bočni steni A:  | -1,2            | 0,68           | -0,82                               |
| bočni steni B:  | -0,8            |                | -0,55                               |
| bočni steni C:  | -0,5            |                | -0,34                               |

zunanji pritisk, srk + notranji pritisk:

|                 | c <sub>pe</sub> | q <sub>p</sub> | w <sub>p</sub> [kN/m <sup>2</sup> ] |
|-----------------|-----------------|----------------|-------------------------------------|
| čelna stena D:  | 0,6             |                | 0,41                                |
| zadnja stena E: | -0,7            |                | -0,48                               |
| bočni steni A:  | -1,4            | 0,68           | -0,96                               |
| bočni steni B:  | -1              |                | -0,68                               |
| bočni steni C:  | -0,7            |                | -0,48                               |

zunanji pritisk, srk + notranji srk:

|                 | c <sub>pe</sub> | q <sub>p</sub> | w <sub>s</sub> [kN/m <sup>2</sup> ] |
|-----------------|-----------------|----------------|-------------------------------------|
| čelna stena D:  | 1,1             |                | 0,75                                |
| zadnja stena E: | -0,2            |                | -0,14                               |
| bočni steni A:  | -0,9            | 0,68           | -0,62                               |
| bočni steni B:  | -0,5            |                | -0,34                               |
| bočni steni C:  | -0,2            |                | -0,14                               |



## 2.2.2 Obtežba vetra na športno halo

|                |       |                   |   |
|----------------|-------|-------------------|---|
| $v_{b,0} =$    | 20    | m/s               | ...projektna hitrost vetra (Nacionalni dodatek) |
| $r =$          | 1,25  | kg/m <sup>3</sup> | ...gostota zraka (Nacionalni dodatek)           |
| $c_{dir} =$    | 1,00  |                   | ...faktor smeri (Section 4.1)                   |
| $c_{season} =$ | 1,00  |                   | ...faktor sezone (Section 4.1)                  |
| $c_0 =$        | 1     |                   | ...faktor orografije (Section 4.3.1)            |
| $k_t =$        | 1     |                   | ...faktor turbulence (Section 4.4)              |
| $c_s c_d =$    | 1     |                   | ...faktor konstrukcije (Section 6)              |
| TC:            | II    |                   | ...kategorija terena (Section 4.3.2)            |
| $z_{0,II} =$   | 0,05  |                   | ...kategorija terena II, referenčna vrednost    |
| $z_0 =$        | 0,05  |                   | ...hrapavostna dolžina (Tabela 4.1)             |
| $z_{min} =$    | 2     |                   | ...najmanjša višina (Tabela 4.1)                |
| $z_{max} =$    | 200   |                   | ...največja višina (Tabela 4.1)                 |
| <br>           |       |                   |   |
| $z_e =$        | 5,50  | m                 | ...višina na kateri računamo obtežbo            |
| $v_b =$        | 20,00 | m/s               | ...osnovna hitrost vetra                        |
| $q_b =$        | 0,25  | kN/m <sup>2</sup> | ...osnovna obtežba vetra                        |
| $k_r =$        | 0,19  |                   | ...faktor terena (Section 4.3.2)                |
| $c_r =$        | 0,89  |                   | ...faktor hrapavosti (Section 4.3.2)            |
| $v_m =$        | 17,86 | m/s               | ...srednja hitrost vetra                        |
| $I_v =$        | 0,21  |                   | ...intenziteta turbulence (Section 4.4)         |
| $q_p =$        | 0,50  | kN/m <sup>2</sup> | ...največja obremenitev z vetrom                |
| $c_e(z) =$     | 1,99  |                   | ...faktor izpostavljenosti                      |

### Obtežba na streho (ravna streha s parapeti):

---

|          |                        |  |
|----------|------------------------|--|
| r/h= 0,0 | h <sub>p</sub> /h= 0,1 | ex = min(b,2h)= 18 m<br>ey = min(b,2h)= 26 m |
|----------|------------------------|--|

---

Ekstremne vrednosti notranjih pritiskov:

|            |             |                     |
|------------|-------------|---------------------|
| $c_{pi} =$ | <b>0,2</b>  | ...notranji pritisk |
| $c_{pi} =$ | <b>-0,3</b> | ...notranji srk     |

Zunanji pritiski:

samo zunanji pritisk  $w_0$ :

|            | $c_{pe}$ | $q_p$ | $w_0$ [kN/m <sup>2</sup> ] |
|------------|----------|-------|----------------------------|
| Območje F: | -1,4     |       | -0,69                      |
| Območje G: | -2       |       | -0,99                      |
| Območje H: | -0,7     | 0,50  | -0,35                      |
| Območje I: | -0,2     |       | -0,10                      |
| Območje I: | 0,2      |       | 0,10                       |

zunanji pritisk, srk + notranji pritisk:

|            | $c_{pe}$    | $q_p$ | $w_0$ [kN/m <sup>2</sup> ] |
|------------|-------------|-------|----------------------------|
| Območje F: | <b>-1,6</b> |       | <b>-0,79</b>               |
| Območje G: | <b>-2,2</b> |       | <b>-1,09</b>               |
| Območje H: | <b>-0,9</b> | 0,50  | <b>-0,45</b>               |
| Območje I: | <b>-0,4</b> |       | <b>-0,20</b>               |
| Območje I: | 0           |       | 0,00                       |

zunanji pritisk, srk + notranji srk:

|            | $c_{pe}$   | $q_p$ | $w_0$ [kN/m <sup>2</sup> ] |
|------------|------------|-------|----------------------------|
| Območje F: | -1,1       |       | -0,55                      |
| Območje G: | -1,7       |       | -0,84                      |
| Območje H: | -0,4       | 0,50  | -0,20                      |
| Območje I: | 0,1        |       | 0,05                       |
| Območje I: | <b>0,5</b> |       | <b>0,25</b>                |

### Obtežba na fasado:

|        |               |                      |
|--------|---------------|----------------------|
| Fasada | 0,25>h/d>1,00 | ex = min(b,2h)= 12 m |
|        |               | ey = min(b,2h)= 12 m |

samo zunanji pritisk  $w_0$ :

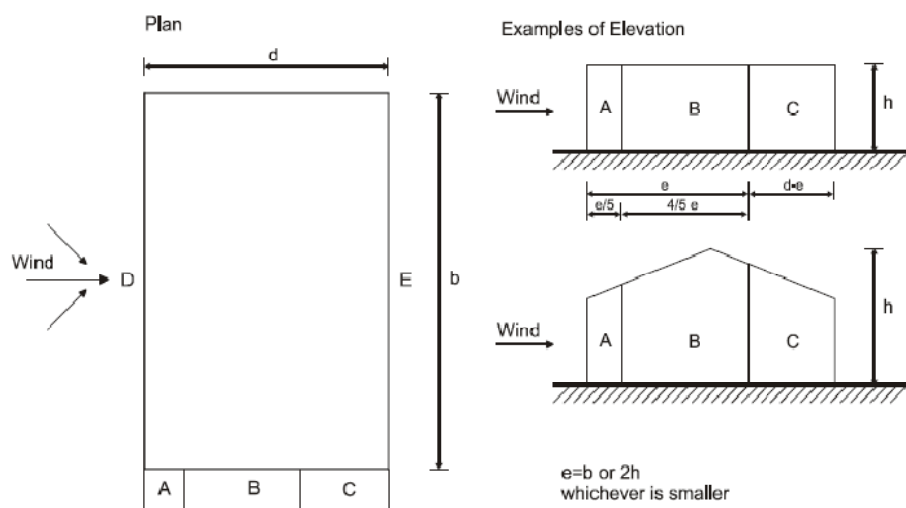
|                 | c <sub>pe</sub> | q <sub>p</sub> | w <sub>0</sub> [kN/m <sup>2</sup> ] |
|-----------------|-----------------|----------------|-------------------------------------|
| čelna stena D:  | 0,8             |                | 0,40                                |
| zadnja stena E: | -0,5            |                | -0,25                               |
| bočni steni A:  | -1,2            |                | -0,60                               |
| bočni steni B:  | -0,8            |                | -0,40                               |
| bočni steni C:  | -0,5            |                | -0,25                               |

zunanji pritisk, srk + notranji pritisk:

|                 | c <sub>pe</sub> | q <sub>p</sub> | w <sub>p</sub> [kN/m <sup>2</sup> ] |
|-----------------|-----------------|----------------|-------------------------------------|
| čelna stena D:  | 0,6             |                | 0,30                                |
| zadnja stena E: | -0,7            |                | -0,35                               |
| bočni steni A:  | -1,4            |                | -0,69                               |
| bočni steni B:  | -1              |                | -0,50                               |
| bočni steni C:  | -0,7            |                | -0,35                               |

zunanji pritisk, srk + notranji srk:

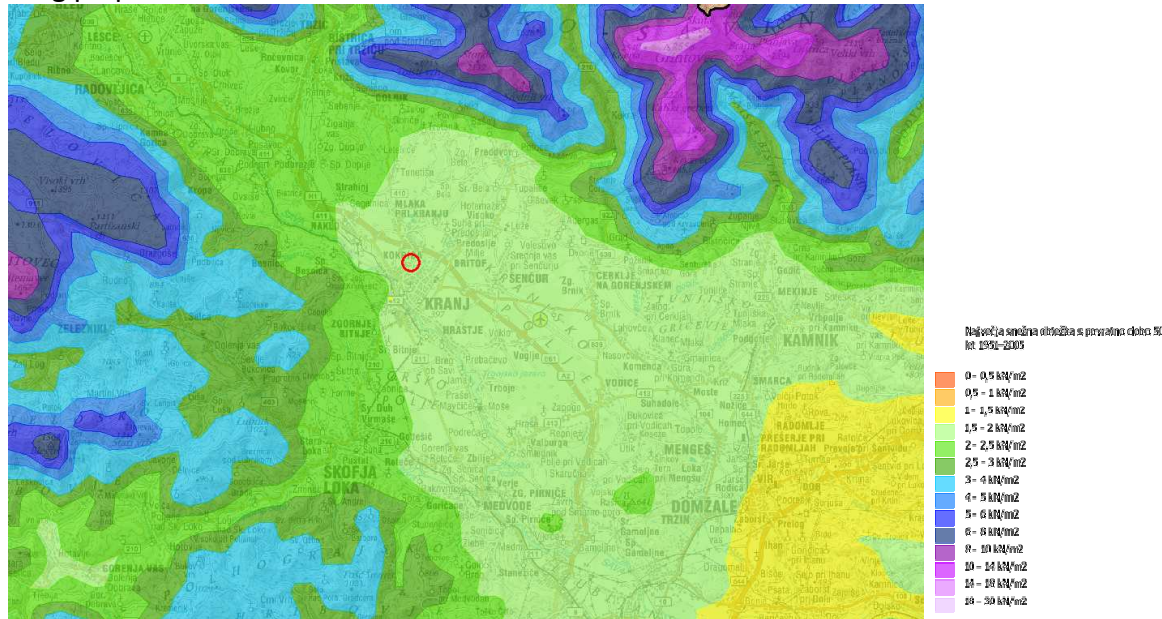
|                 | c <sub>pe</sub> | q <sub>p</sub> | w <sub>s</sub> [kN/m <sup>2</sup> ] |
|-----------------|-----------------|----------------|-------------------------------------|
| čelna stena D:  | 1,1             |                | 0,55                                |
| zadnja stena E: | -0,2            |                | -0,10                               |
| bočni steni A:  | -0,9            |                | -0,45                               |
| bočni steni B:  | -0,5            |                | -0,25                               |
| bočni steni C:  | -0,2            |                | -0,10                               |



## 2.3 Obtežba snega

Obtežba snega je določena po SIST 1991. Objekt je na v drugi alpski coni A2 na projektirani nadmorski višini 410 m. Upoštevana karakteristična obtežba snega je  $s_k = 1,70 \text{ kN/m}^2$ .

Sneg po podatkih ARSO:



Lokacija: Kranj

Tip: enokapnica

Nadmorska višina: 410 m

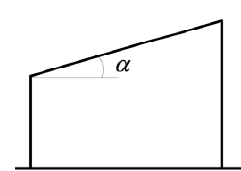
$\mu_1$

coni: A2

...coni (Nacionalni dodatek)

$s_k = 1,70 \text{ kN/m}^2$

...karakteristična obtežba snega



$\alpha_1 = 14^\circ$

...naklon strehe 1. stran

$\mu_{1-\alpha_1} = 0,80$

...koeficient obtežbe

$c_e = 1,00$

...koeficient izpostavljenosti (zaščiten pred vetrom)

$c_t = 1,00$

...toplotni koeficient

$s = 1,70 \text{ kN/m}^2$

...obtežba s snegom

$s_{1-\alpha_1} = 1,36 \text{ kN/m}^2$

...obtežba s snegom 1. stran (s koefic. oblike)

$\alpha_1 = 1^\circ$

...naklon strehe 1. stran

$\mu_{1-\alpha_1} = 0,80$

...koeficient obtežbe

$c_e = 1,00$

...koeficient izpostavljenosti (zaščiten pred vetrom)

$c_t = 1,00$

...toplotni koeficient

$s = 1,70 \text{ kN/m}^2$

...obtežba s snegom

$s_{1-\alpha_1} = 1,36 \text{ kN/m}^2$

...obtežba s snegom 1. stran (s koefic. oblike)

Ukrivljeni deli strehe:

Lokacija: Kranj

Tip: cilindrična streha

Nadmorska višina: 410 m

cona: A2

...cona (Nacionalni dodatek)

$s_k = 1,70 \text{ kN/m}^2$

...karakteristična obtežba snega

$\beta_1 = 14^\circ$

...naklon strehe

$\beta_1 < 60^\circ$

$h = 5,0 \text{ m}$

$b = 37,0 \text{ m}$

$l_s = 37,0 \text{ m}$

$h/b = 0,14$

$\mu_{3-\beta_1} = 1,55$

...koeficient obtežbe

$c_e = 1,00$

...koeficient izpostavljenosti

(običajen)

$c_t = 1,00$

...toplinski koeficient

$s = 1,70 \text{ kN/m}^2$

...obtežba s snegom

$0,8 s = 1,36$

...primer 1

$0,5 s_{\beta_1} = 1,32$

...primer 2 1. stran

$s_{\beta_1} = 2,64 \text{ kN/m}^2$

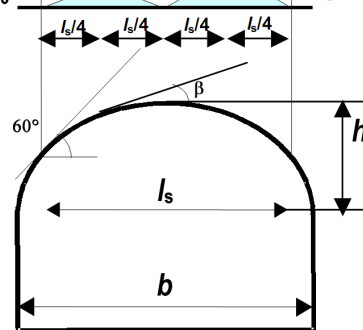
...primer 2 2. stran

Case (i)



Case (ii)

$0,5\mu_3$



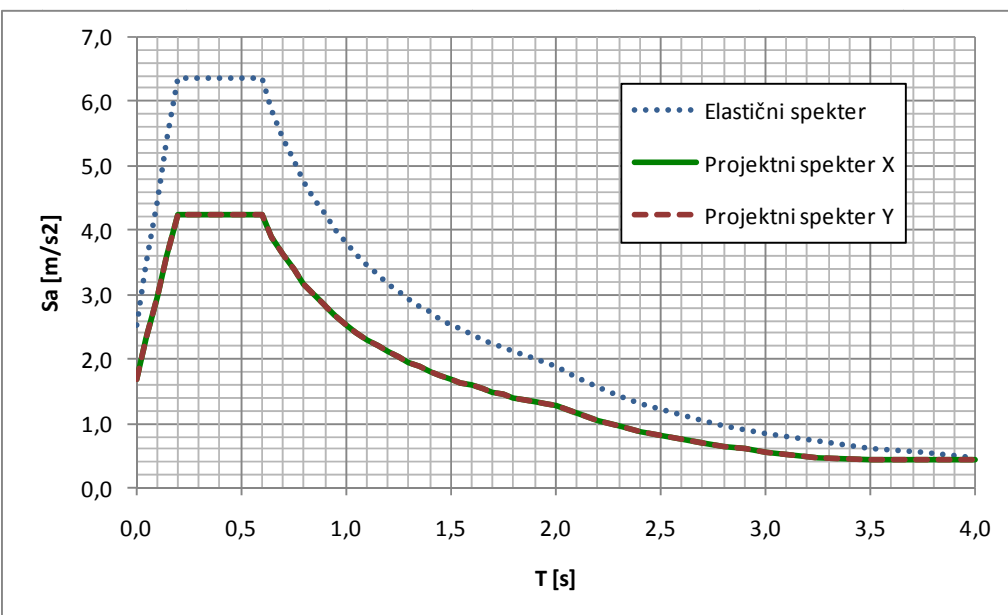
## 2.4 Potresna obtežba

Potresni coni s projektnim pospeškom tal  $a_g = 0,225 \text{ g}$  z upoštevanjem povratne dobe 475 let. Upoštevan razred možnosti sipanja potresne energije je srednji s faktorjem obnašanja konstrukcije  $q=1.5$ . Upoštevana kvaliteta tal je srednja – tip C.

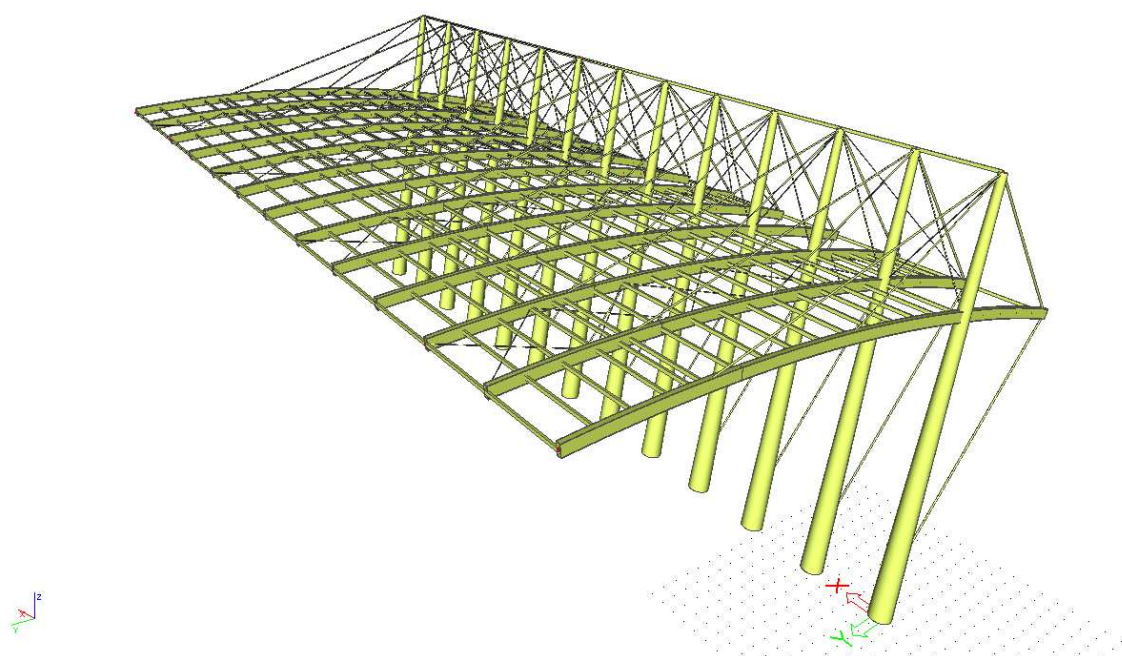
$$\begin{aligned} a_{gr} &= 0,23 \text{ g} \\ g &= 9,81 \text{ m/s}^2 \quad \dots \text{težnostni zemeljski pospešek} \\ \gamma &= 1,00 \quad \dots \text{faktor pomembnosti} \\ a_g &= 2,21 \text{ m/s}^2 \quad \dots \text{projektni pospešek tal (SIST EN 1998, nacionalni dodatek)} \end{aligned}$$

Tip tal:   ... klasifikacija temeljnih tal

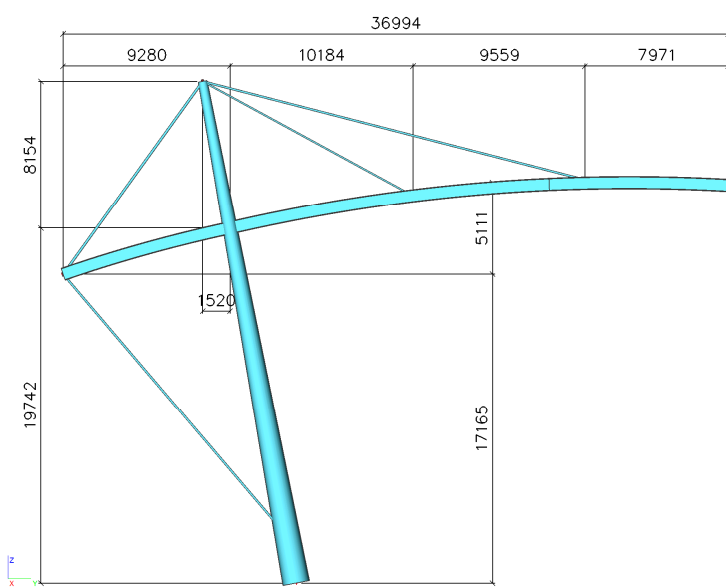
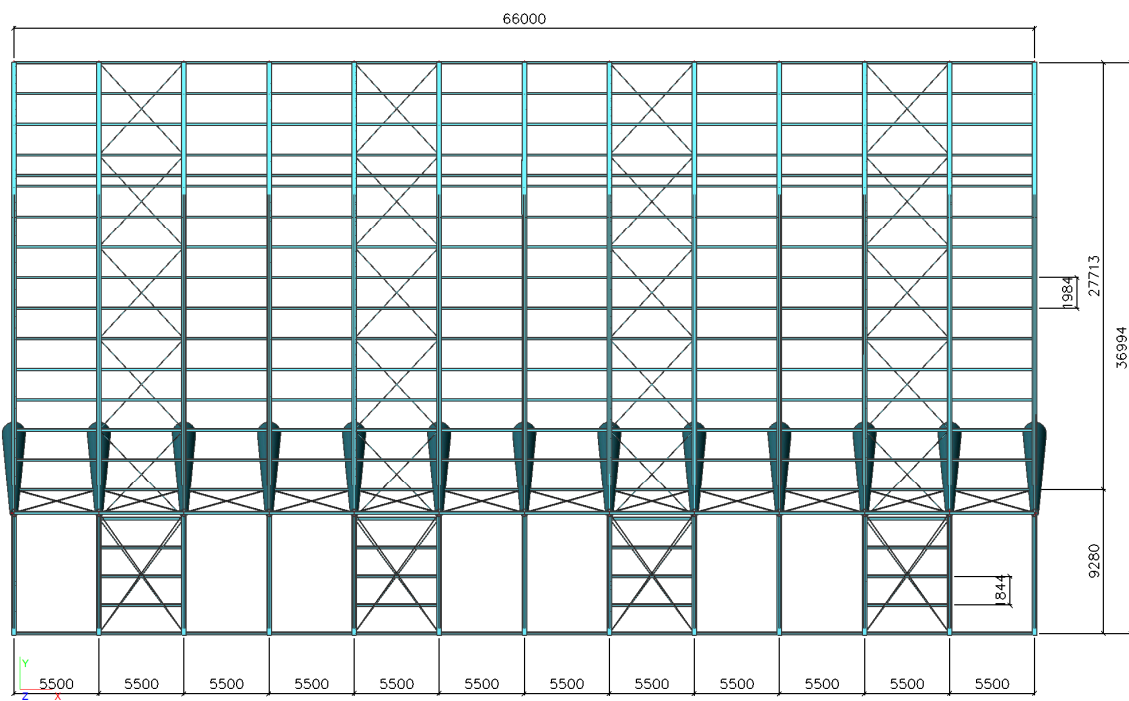
$$\begin{aligned} S &= 1,15 \\ T_B &= 0,20 \text{ s} \\ T_C &= 0,60 \text{ s} \\ T_D &= 2,00 \text{ s} \\ \xi [\%] &= 5,00 \% \quad \dots \text{koefficient krit. viskoznega dušenja konstrukcije} \\ \eta &= 1,00 \quad \dots \text{faktor za korekcijo vpliva dušenja} \\ q_x &= 1,5 \quad \dots \text{faktor obnašanja konstrukcije v x smeri} \\ q_y &= 1,5 \quad \dots \text{faktor obnašanja konstrukcije v y smeri} \\ \beta &= 0,2 \quad \dots \text{spodnja meja spektra} \end{aligned}$$



## 4.0 Konstrukcija strehe nad tribunami



## 4.1 Model



## 4.2 Spisek materiala

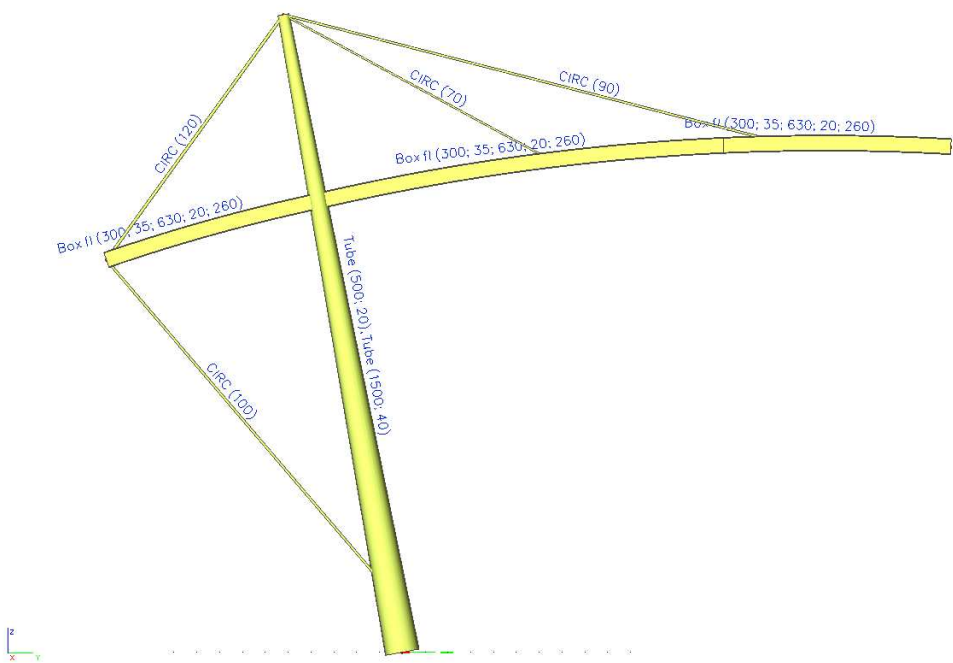
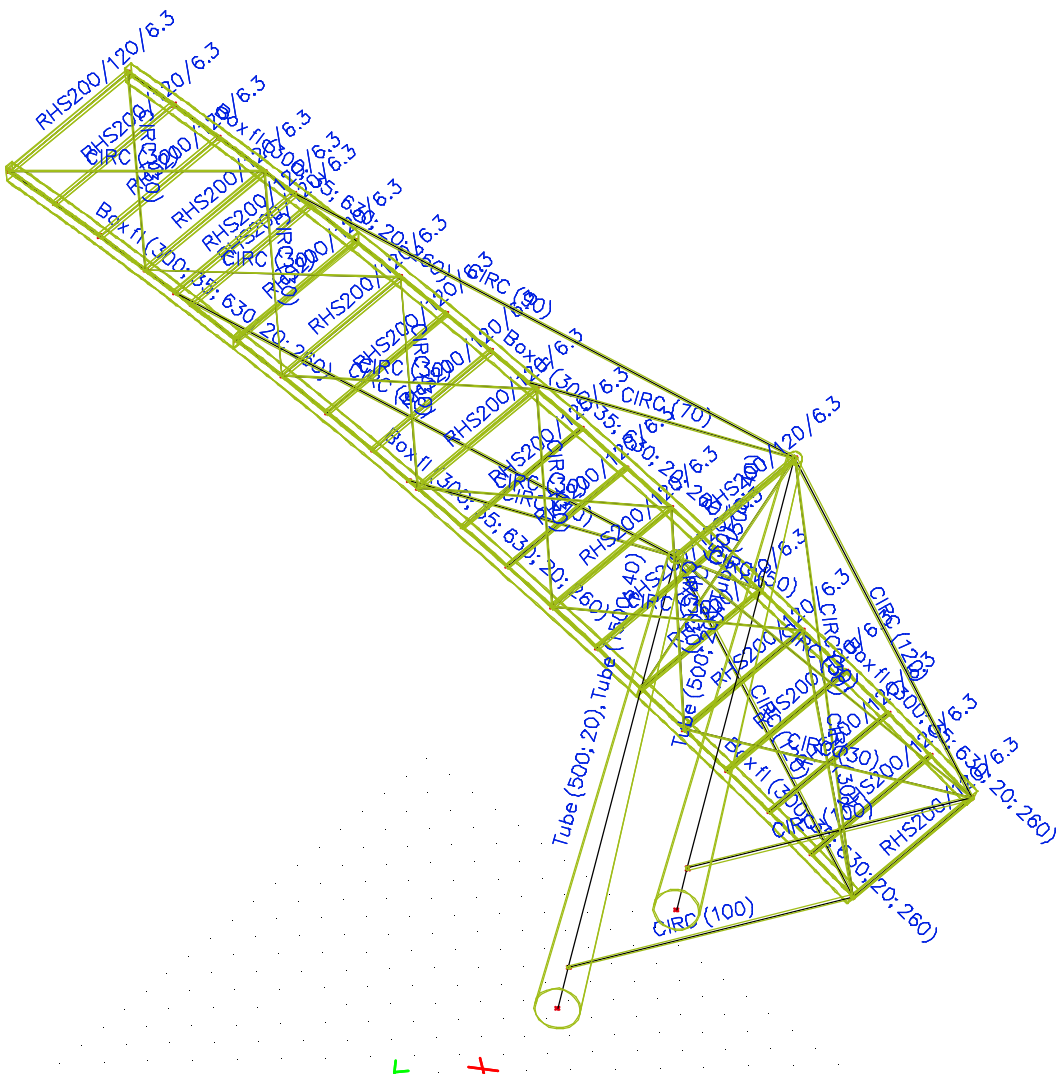
| Name            | Mass<br>[kg] | Surface<br>[m <sup>2</sup> ] | Volume<br>[m <sup>3</sup> ] |
|-----------------|--------------|------------------------------|-----------------------------|
| Total results : | 581782,82    | 4247,664                     | 7,4112e+001                 |

| CSS                                      | Material | Unit mass<br>[kg/m] | Length<br>[m] | Mass<br>[kg] | Surface<br>[m <sup>2</sup> ] | Unit volume<br>mass<br>[kg/m <sup>3</sup> ] | Volume<br>[m <sup>3</sup> ] |
|--|----------|---------------------|---------------|--------------|------------------------------|---|-----------------------------|
| CS2 - Tube (1500; 40)                    | S 355    | 838,32              | 368,894       | 309251,88    | 1169,924                     | 7850,00                                     | 3,9395e+001                 |
| CS7 - RHS200/120/6,3                     | S 235    | 30,07               | 1276,000      | 38363,47     | 803,883                      | 7850,00                                     | 4,8871e+000                 |
| CS14 - CIRC (100)                        | S 235    | 61,64               | 249,736       | 15394,06     | 78,453                       | 7850,00                                     | 1,9610e+000                 |
| CS15 - CIRC (90)                         | S 235    | 49,93               | 294,539       | 14706,15     | 83,275                       | 7850,00                                     | 1,8734e+000                 |
| CS16 - Box fl (300; 35;<br>630; 20; 260) | S 235    | 362,67              | 488,097       | 177018,17    | 1923,102                     | 7850,00                                     | 2,2550e+001                 |
| CS19 - CIRC (120)                        | S 235    | 88,76               | 172,159       | 15281,42     | 64,899                       | 7850,00                                     | 1,9467e+000                 |
| CS20 - CIRC (30)                         | S 235    | 5,55                | 515,050       | 2857,31      | 48,540                       | 7850,00                                     | 3,6399e-001                 |
| CS21 - CIRC (70)                         | S 235    | 30,20               | 173,136       | 5229,42      | 38,073                       | 7850,00                                     | 6,6617e-001                 |
| CS22 - CIRC (50)                         | S 235    | 15,41               | 238,857       | 3680,86      | 37,518                       | 7850,00                                     | 4,6890e-001                 |

### Material

| Name  | Type  | Unit mass<br>[kg/m <sup>3</sup> ] | E mod<br>[MPa] | Poisson - nu | G mod<br>[MPa] | Thermal exp<br>[m/mK] |
|-------|-------|-----------------------------------|----------------|--------------|----------------|-----------------------|
| S 235 | Steel | 7850,00                           | 2,1000e+005    | 0,3          | 8,0769e+004    | 0,00                  |
| S 355 | Steel | 7850,00                           | 2,1000e+005    | 0,3          | 8,0769e+004    | 0,00                  |

### **4.3 Prečni prerezi**



### Pilon zgoraj

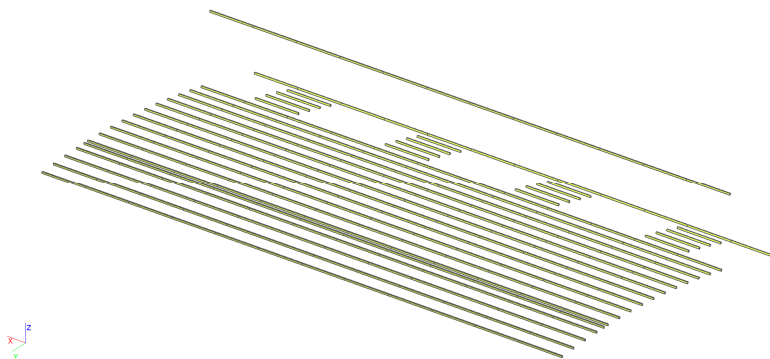
|   |  |                |             |
|---|--|----------------|-------------|
| > | Type Name                                  | Cross-Sections |             |
|   | Name                                       | Pilon zgoraj   |             |
|   | Type                                       | Tube           |             |
|   | Detailed                                   | 500; 20        |             |
|   | Item material                              | S 355          |             |
|   | Fabrication                                | general        |             |
|   | Buckling y-y, z-z                          | b b            |             |
|   | FEM analysis                               | x              |             |
| > | Picture                                    |                |             |
| > | A [m <sup>2</sup> ]                        | 3,0153e-002    |             |
|   | A y, z [m <sup>2</sup> ]                   | 1,9196e-002    | 1,9196e-002 |
|   | I y, z [m <sup>4</sup> ]                   | 8,6974e-004    | 8,6974e-004 |
|   | I w [m <sup>6</sup> ], t [m <sup>4</sup> ] | 0,0000e+000    | 1,7372e-003 |
|   | Wel y, z [m <sup>3</sup> ]                 | 3,4790e-003    | 3,4790e-003 |
|   | Wpl y, z [m <sup>3</sup> ]                 | 4,6093e-003    | 4,6093e-003 |
|   | d y, z [mm]                                | 0              | 0           |
|   | c YLCS, ZLCS [mm]                          | 0              | 0           |
|   | alpha [deg]                                | 0,00           |             |
|   | AL [m <sup>2</sup> /m]                     | 1,5907e+000    |             |

### Pilon spodaj

|   |  |                |             |
|---|--|----------------|-------------|
| > | Type Name                                  | Cross-Sections |             |
|   | Name                                       | Pilon spodaj   |             |
|   | Type                                       | Tube           |             |
|   | Detailed                                   | 1500; 40       |             |
|   | Item material                              | S 355          |             |
|   | Fabrication                                | general        |             |
|   | Buckling y-y, z-z                          | b b            |             |
|   | FEM analysis                               | x              |             |
| > | Picture                                    |                |             |
| > | A [m <sup>2</sup> ]                        | 1,8343e-001    |             |
|   | A y, z [m <sup>2</sup> ]                   | 1,1678e-001    | 1,1678e-001 |
|   | I y, z [m <sup>4</sup> ]                   | 4,8902e-002    | 4,8902e-002 |
|   | I w [m <sup>6</sup> ], t [m <sup>4</sup> ] | 0,0000e+000    | 9,7771e-002 |
|   | Wel y, z [m <sup>3</sup> ]                 | 6,5203e-002    | 6,5203e-002 |
|   | Wpl y, z [m <sup>3</sup> ]                 | 8,5259e-002    | 8,5259e-002 |
|   | d y, z [mm]                                | 0              | 0           |
|   | c YLCS, ZLCS [mm]                          | 0              | 0           |
|   | alpha [deg]                                | 0,00           |             |
|   | AL [m <sup>2</sup> /m]                     | 4,7521e+000    |             |

### Precniki

|   |  |   |             |
|---|--|---|-------------|
| > | Type Name                                  | Cross-Sections  |             |
|   | Name                                       | Precniki  |             |
|   | Type                                       | RHS200/120/6.3  |             |
|   | Source description                         | British Standard / BS 5950 part 1 : 1990 & EN 10210-2 |             |
|   | Item material                              | S 235   |             |
|   | Fabrication                                | rolled  |             |
|   | Buckling y-y, z-z                          | a   | a           |
| > | Picture                                    |   |             |
| > | A [m <sup>2</sup> ]                        | 3,8300e-003   |             |
|   | A y, z [m <sup>2</sup> ]                   | 1,4362e-003   | 2,3938e-003 |
|   | I y, z [m <sup>4</sup> ]                   | 2,0650e-005   | 9,2900e-006 |
|   | I w [m <sup>6</sup> ], t [m <sup>4</sup> ] | 4,8384e-008   | 2,0280e-005 |
|   | Wel y, z [m <sup>3</sup> ]                 | 2,0700e-004   | 1,5500e-004 |
|   | Wpl y, z [m <sup>3</sup> ]                 | 2,5035e-004   | 1,7561e-004 |
|   | d y, z [mm]                                | 0   | 0           |
|   | c YLCS, ZLCS [mm]                          | 60  | 100         |
|   | alpha [deg]                                | 0,00  |             |
|   | AL [m <sup>2</sup> /m]                     | 6,3000e-001   |             |



### Zatega spodaj

|   |                          |                |             |
|---|--------------------------|----------------|-------------|
| > | Type Name                | Cross-Sections |             |
|   | Name                     | Zatega spodaj  |             |
|   | Type                     | CIRC           |             |
|   | Detailed                 | 100            |             |
|   | Item material            | S 235          |             |
|   | Fabrication              | general        |             |
|   | Buckling y-y, z-z        | b              | b           |
|   | FEM analysis             | x              |             |
| > | Picture                  |                |             |
| > | A [m <sup>2</sup> ]      | 7,8524e-003    |             |
|   | A y, z [m <sup>2</sup> ] | 6,6745e-003    | 6,6745e-003 |
|   | I y, z [m <sup>4</sup> ] | 4,9067e-006    | 4,9067e-006 |

|  |             |             |
|--|-------------|-------------|
| I w [m <sup>6</sup> ], t [m <sup>4</sup> ] | 0,0000e+000 | 9,8135e-006 |
| Wel y, z [m <sup>3</sup> ]                 | 9,8135e-005 | 9,8135e-005 |
| Wpl y, z [m <sup>3</sup> ]                 | 1,6662e-004 | 1,6662e-004 |
| d y, z [mm]                                | 0           | 0           |
| c YLCS, ZLCS [mm]                          | 0           | 0           |
| alpha [deg]                                | 0,00        |             |
| AL [m <sup>2</sup> /m]                     | 3,1414e-001 |             |

### Zatega zgoraj

|   |  |                |             |
|---|--|----------------|-------------|
| > | Type Name                                  | Cross-Sections |             |
|   | Name                                       | Zatega zgoraj  |             |
|   | Type                                       | CIRC           |             |
|   | Detailed                                   | 120            |             |
|   | Item material                              | S 235          |             |
|   | Fabrication                                | general        |             |
|   | Buckling y-y, z-z                          | b b            |             |
|   | FEM analysis                               | x              |             |
| > | Picture                                    |                |             |
| > | A [m <sup>2</sup> ]                        | 1,1307e-002    |             |
|   | A y, z [m <sup>2</sup> ]                   | 9,6113e-003    | 9,6113e-003 |
|   | I y, z [m <sup>4</sup> ]                   | 1,0175e-005    | 1,0175e-005 |
|   | I w [m <sup>6</sup> ], t [m <sup>4</sup> ] | 0,0000e+000    | 2,0349e-005 |
|   | Wel y, z [m <sup>3</sup> ]                 | 1,6958e-004    | 1,6958e-004 |
|   | Wpl y, z [m <sup>3</sup> ]                 | 2,8791e-004    | 2,8791e-004 |
|   | d y, z [mm]                                | 0              | 0           |
|   | c YLCS, ZLCS [mm]                          | 0              | 0           |
|   | alpha [deg]                                | 0,00           |             |
|   | AL [m <sup>2</sup> /m]                     | 3,7697e-001    |             |

### Vrv dolga

|   |  |                |             |
|---|--|----------------|-------------|
| > | Type Name                                  | Cross-Sections |             |
|   | Name                                       | Vrv dolga      |             |
|   | Type                                       | CIRC           |             |
|   | Detailed                                   | 70             |             |
|   | Item material                              | S 235          |             |
|   | Fabrication                                | general        |             |
|   | Buckling y-y, z-z                          | b b            |             |
|   | FEM analysis                               | x              |             |
| > | Picture                                    |                |             |
| > | A [m <sup>2</sup> ]                        | 3,8477e-003    |             |
|   | A y, z [m <sup>2</sup> ]                   | 3,2705e-003    | 3,2705e-003 |
|   | I y, z [m <sup>4</sup> ]                   | 1,1781e-006    | 1,1781e-006 |
|   | I w [m <sup>6</sup> ], t [m <sup>4</sup> ] | 0,0000e+000    | 2,3562e-006 |
|   | Wel y, z [m <sup>3</sup> ]                 | 3,3660e-005    | 3,3660e-005 |

|  |             |             |
|--|-------------|-------------|
| W <sub>pl</sub> y, z [m <sup>3</sup> ] | 5,7149e-005 | 5,7149e-005 |
| d y, z [mm]                            | 0           | 0           |
| c YLCS, ZLCS [mm]                      | 0           | 0           |
| alpha [deg]                            | 0,00        |             |
| AL [m <sup>2</sup> /m]                 | 2,1990e-001 |             |

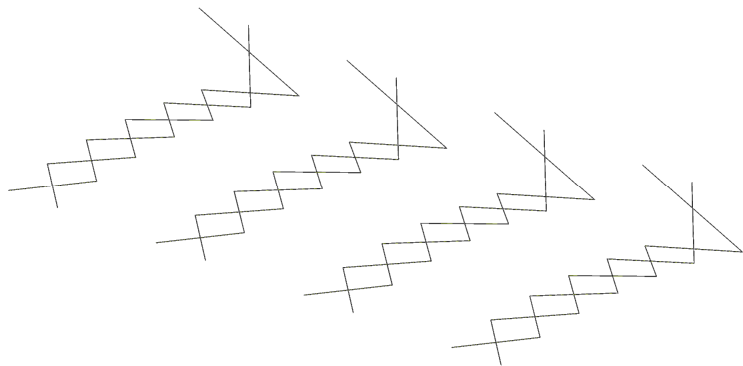
### Vrv kratka

|   |  |                |             |
|---|--|----------------|-------------|
| > | Type Name                                  | Cross-Sections |             |
|   | Name                                       | Vrv kratka     |             |
|   | Type                                       | CIRC           |             |
|   | Detailed                                   | 90             |             |
|   | Item material                              | S 235          |             |
|   | Fabrication                                | general        |             |
|   | Buckling y-y, z-z                          | b              | b           |
|   | FEM analysis                               | x              |             |
| > | Picture                                    |                |             |
| > | A [m <sup>2</sup> ]                        | 6,3604e-003    |             |
|   | A y, z [m <sup>2</sup> ]                   | 5,4064e-003    | 5,4064e-003 |
|   | I y, z [m <sup>4</sup> ]                   | 3,2193e-006    | 3,2193e-006 |
|   | I w [m <sup>6</sup> ], t [m <sup>4</sup> ] | 0,0000e+000    | 6,4386e-006 |
|   | Wel y, z [m <sup>3</sup> ]                 | 7,1540e-005    | 7,1540e-005 |
|   | W <sub>pl</sub> y, z [m <sup>3</sup> ]     | 1,2146e-004    | 1,2146e-004 |
|   | d y, z [mm]                                | 0              | 0           |
|   | c YLCS, ZLCS [mm]                          | 0              | 0           |
|   | alpha [deg]                                | 0,00           |             |
|   | AL [m <sup>2</sup> /m]                     | 2,8273e-001    |             |

### Povezje v strehi

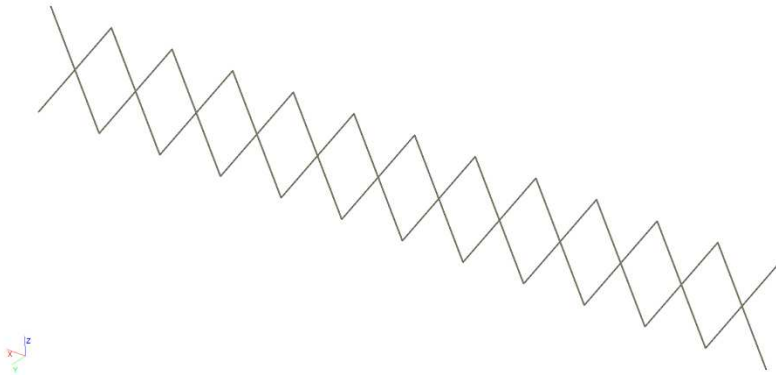
|   |  |                  |             |
|---|--|------------------|-------------|
| > | Type Name                                  | Cross-Sections   |             |
|   | Name                                       | Povezje v strehi |             |
|   | Type                                       | CIRC             |             |
|   | Detailed                                   | 30               |             |
|   | Item material                              | S 235            |             |
|   | Fabrication                                | general          |             |
|   | Buckling y-y, z-z                          | b                | b           |
|   | FEM analysis                               | x                |             |
| > | Picture                                    |                  |             |
| > | A [m <sup>2</sup> ]                        | 7,0671e-004      |             |
|   | A y, z [m <sup>2</sup> ]                   | 6,0070e-004      | 6,0070e-004 |
|   | I y, z [m <sup>4</sup> ]                   | 3,9745e-008      | 3,9742e-008 |
|   | I w [m <sup>6</sup> ], t [m <sup>4</sup> ] | 0,0000e+000      | 7,9487e-008 |
|   | Wel y, z [m <sup>3</sup> ]                 | 2,6496e-006      | 2,6495e-006 |
|   | W <sub>pl</sub> y, z [m <sup>3</sup> ]     | 4,4986e-006      | 4,4986e-006 |
|   | d y, z [mm]                                | 0                | 0           |

|                   |             |   |
|-------------------|-------------|---|
| c YLCS, ZLCS [mm] | 0           | 0 |
| alpha [deg]       | 0,00        |   |
| AL [ $m^2/m$ ]    | 9,4243e-002 |   |

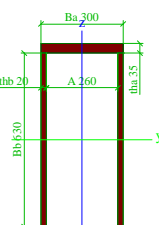


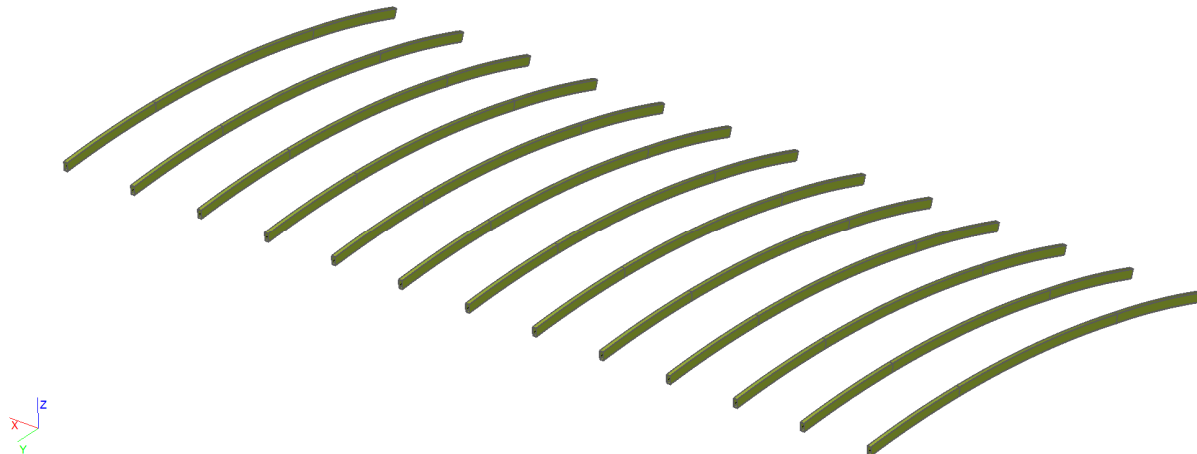
### Vertikalno zavetranje

|   |                               |                       |             |
|---|-------------------------------|-----------------------|-------------|
| > | Type Name                     | Cross-Sections        |             |
|   | Name                          | Vertikalno zavetranje |             |
|   | Type                          | CIRC                  |             |
|   | Detailed                      | 50                    |             |
|   | Item material                 | S 235                 |             |
|   | Fabrication                   | general               |             |
|   | Buckling y-y, z-z             | b                     | b           |
|   | FEM analysis                  | x                     |             |
| > | Picture                       |                       |             |
| > | A [ $m^2$ ]                   | 1,9631e-003           |             |
|   | A y, z [ $m^2$ ]              | 1,6686e-003           | 1,6686e-003 |
|   | I y, z [ $m^4$ ]              | 3,0667e-007           | 3,0667e-007 |
|   | I w [ $m^5$ ], t [ $m^4$ ]    | 0,0000e+000           | 6,1334e-007 |
|   | W <sub>e</sub> y, z [ $m^3$ ] | 1,2267e-005           | 1,2267e-005 |
|   | W <sub>p</sub> y, z [ $m^3$ ] | 2,0827e-005           | 2,0827e-005 |
|   | d y, z [mm]                   | 0                     | 0           |
|   | c YLCS, ZLCS [mm]             | 0                     | 0           |
|   | alpha [deg]                   | 0,00                  |             |
|   | AL [ $m^2/m$ ]                | 1,5707e-001           |             |



### Glavni nosilci

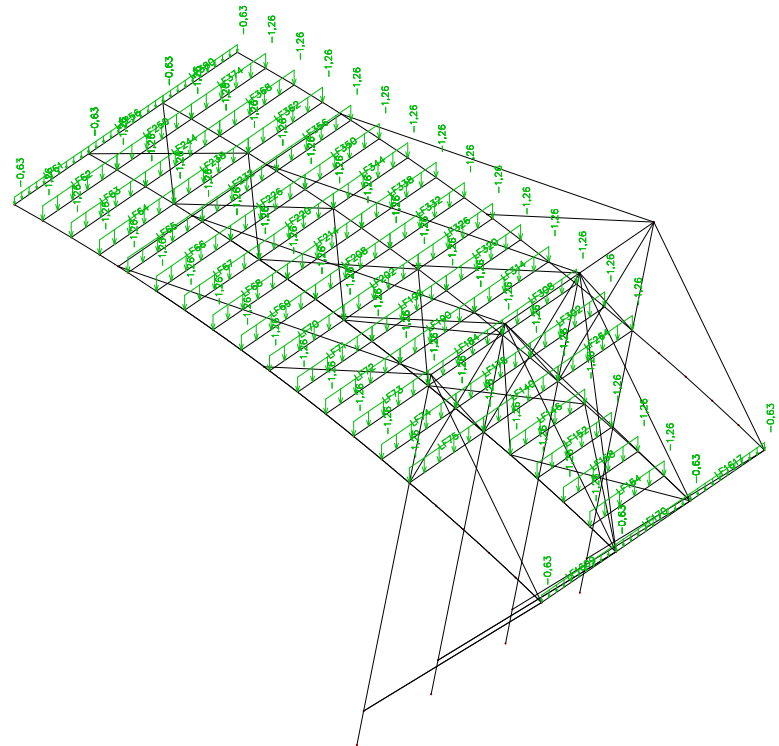
|   |  |   |             |
|---|--|---|-------------|
| > | Type Name                                  | Cross-Sections  |             |
|   | Name                                       | Glavni nosilci  |             |
|   | Type                                       | Box fl  |             |
|   | Detailed                                   | 300; 35; 630; 20; 260   |             |
|   | Item material                              | S 235   |             |
|   | Fabrication                                | rolled  |             |
|   | Buckling y-y, z-z                          | b   | b           |
| > | Picture                                    |  |             |
| > | A [m <sup>2</sup> ]                        | 4,6200e-002   |             |
|   | A y, z [m <sup>2</sup> ]                   | 1,9600e-002   | 2,6600e-002 |
|   | I y, z [m <sup>4</sup> ]                   | 3,1573e-003   | 6,5226e-004 |
|   | I w [m <sup>6</sup> ], t [m <sup>4</sup> ] | 3,3370e-005   | 1,6810e-003 |
|   | Wel y, z [m <sup>3</sup> ]                 | 9,0209e-003   | 4,3484e-003 |
|   | Wpl y, z [m <sup>3</sup> ]                 | 1,0952e-002   | 5,1030e-003 |
|   | d y, z [mm]                                | 0   | 0           |
|   | c YLCS, ZLCS [mm]                          | 150   | -315        |
|   | alpha [deg]                                | 0,00  |             |
|   | AL [m <sup>2</sup> /m]                     | 3,9400e+000   |             |



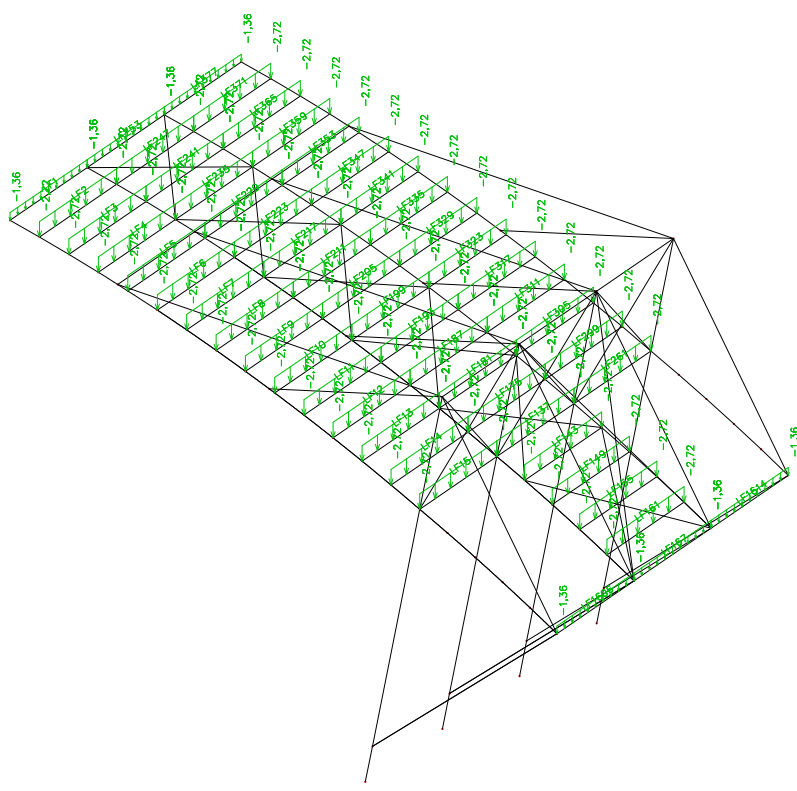
### 4.4 Prikaz obtežb

| Name     | Description    | Action type | LoadGroup  | Load type   | Spec       | Direction | Duration | Master load case |
|----------|----------------|-------------|------------|-------------|------------|-----------|----------|------------------|
| Lastna   |                | Permanent   | Group-Perm | Self weight |            | -z        |          |                  |
| stalna   |                | Permanent   | Group-Perm | Standard    |            |           |          |                  |
| sneg     | simetricno 0.8 | Variable    | Sneg       | Static      | Standard   |           | Short    | None             |
| snegN1   | nesimetricno 1 | Variable    | Sneg       | Static      | Standard   |           | Short    | None             |
| snegN2   | nesimetricno 2 | Variable    | Sneg       | Static      | Standard   |           | Short    | None             |
| veter1   |                | Variable    | Veter      | Static      | Standard   |           | Short    | None             |
| veter2   |                | Variable    | Veter      | Static      | Standard   |           | Short    | None             |
| veter3   |                | Variable    | Veter      | Static      | Standard   |           | Short    | None             |
| veter4   |                | Variable    | Veter      | Static      | Standard   |           | Short    | None             |
| potres X |                | Variable    | Sneg       | Dynamic     | Seismicity |           |          | None             |
| potres Y |                | Variable    | LG4        | Dynamic     | Seismicity |           |          | None             |

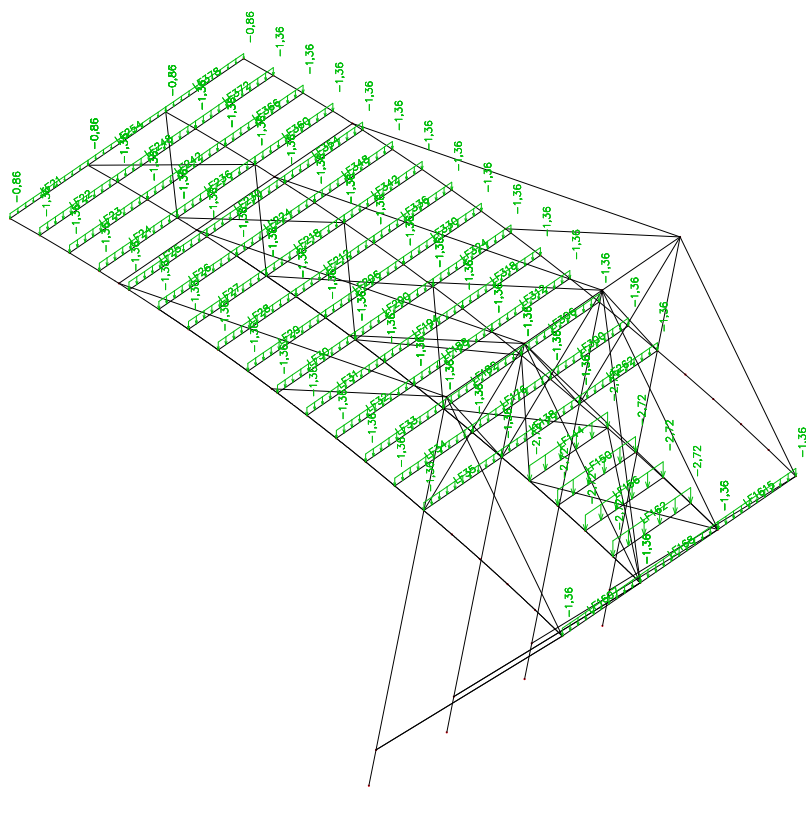
## Stalna



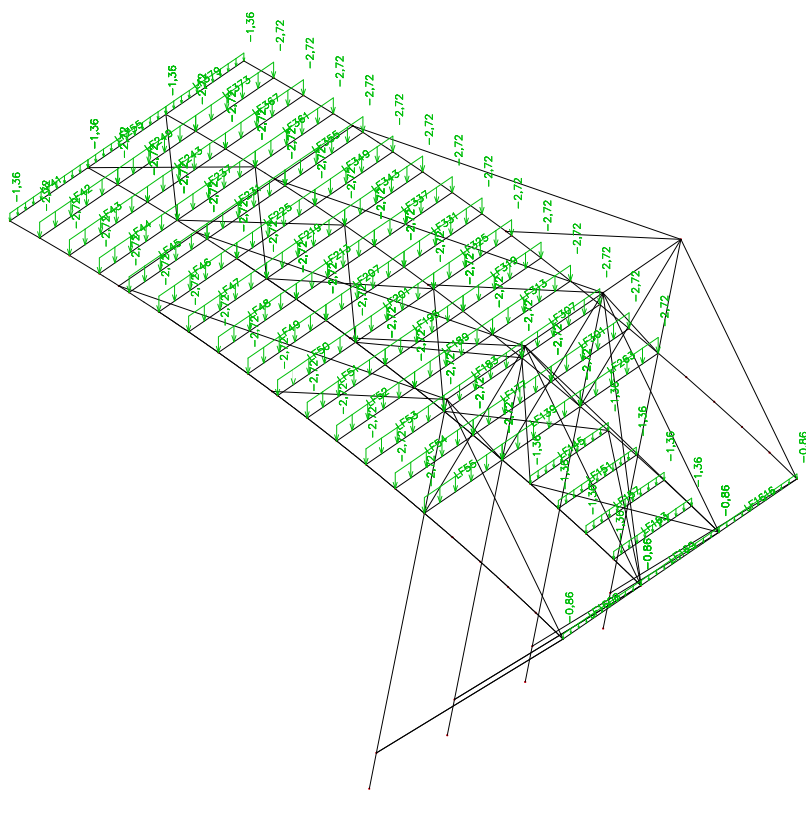
## Sneg simetrično



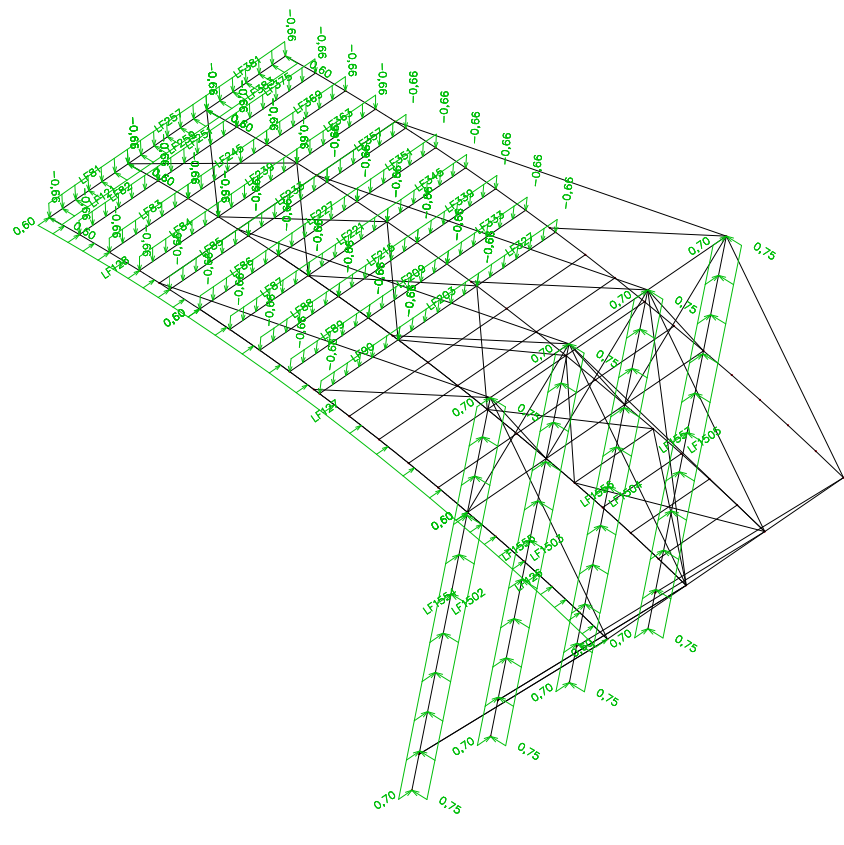
### Sneg nesimetrično 1



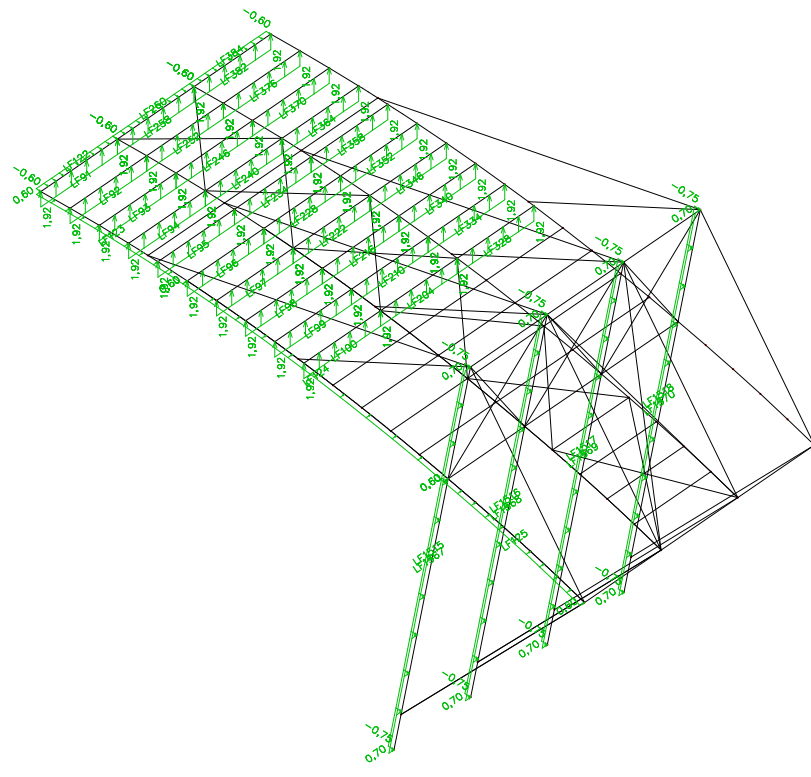
### Sneg nesimetrično 2



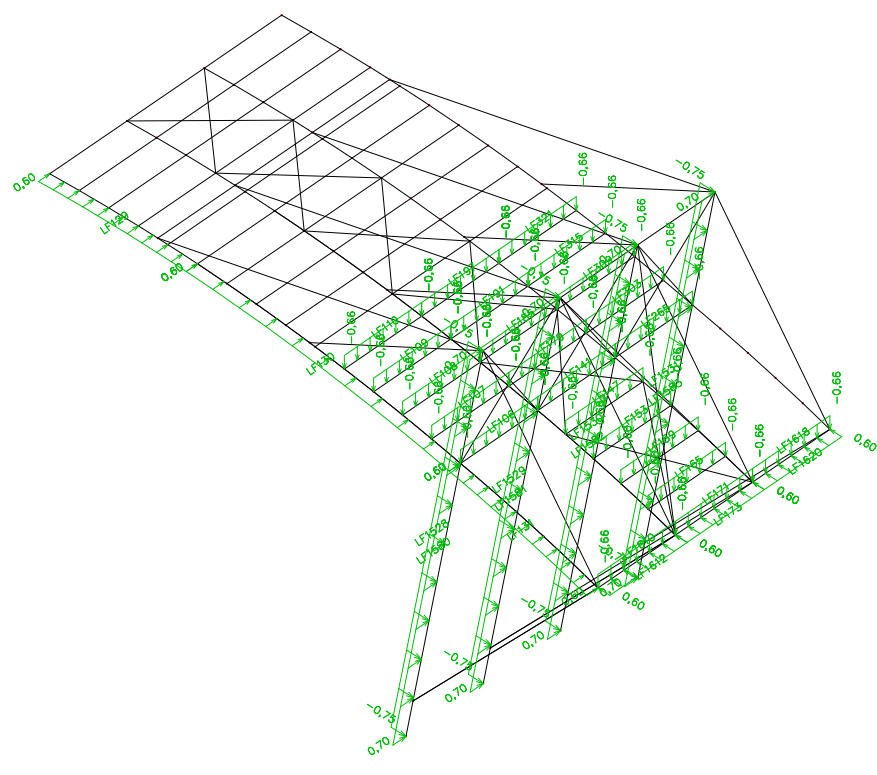
Veter 1



## **Veter 2**

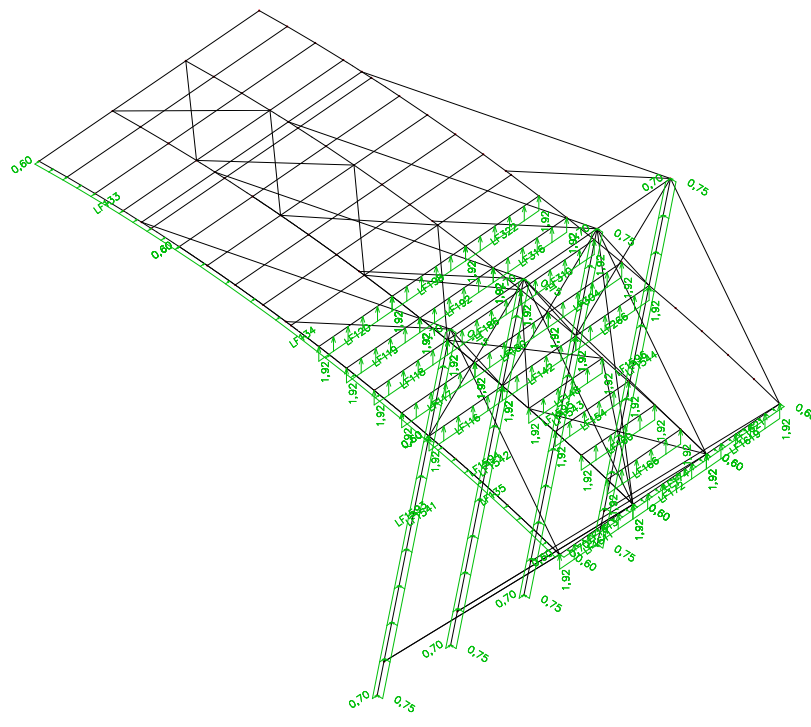


### Veter 3



↙ ↘ ↙ ↘

### Veter 4



↙ ↘ ↙ ↘

## 4.5 Kombinacije obtežnih primerov

| Name       | Type                      | Load cases  | Coeff. [-]                   |
|------------|---------------------------|---|------------------------------|
| MSN.1      | Envelope - ultimate       | Lastna<br>stalna                                    | 1,35<br>1,35                 |
| MSN.2      | Envelope - ultimate       | Lastna<br>stalna                                    | 1,00<br>1,00                 |
| MSN.3      | Envelope - ultimate       | Lastna<br>stalna<br>sneg - simetricno 0.8           | 1,35<br>1,35<br>1,50         |
| MSN.4      | Envelope - ultimate       | Lastna<br>stalna<br>sneg - simetricno 0.8           | 1,00<br>1,00<br>1,50         |
| MSN.5      | Envelope - ultimate       | Lastna<br>stalna<br>veter1                          | 1,35<br>1,35<br>1,50         |
| MSN.6      | Envelope - ultimate       | Lastna<br>stalna<br>veter1                          | 1,00<br>1,00<br>1,50         |
| MSN.7      | Envelope - ultimate       | Lastna<br>stalna<br>sneg - simetricno 0.8<br>veter1 | 1,35<br>1,35<br>1,35<br>1,35 |
| MSN.8      | Envelope - ultimate       | Lastna<br>stalna<br>sneg - simetricno 0.8<br>veter1 | 1,00<br>1,00<br>1,35<br>1,35 |
| MSU.1      | Envelope - serviceability | Lastna<br>stalna                                    | 1,00<br>1,00                 |
| MSU.2      | Envelope - serviceability | Lastna<br>stalna<br>sneg - simetricno 0.8           | 1,00<br>1,00<br>1,00         |
| MSU.3      | Envelope - serviceability | Lastna<br>stalna<br>veter1                          | 1,00<br>1,00<br>1,00         |
| MSU.4      | Envelope - serviceability | Lastna<br>stalna<br>sneg - simetricno 0.8<br>veter1 | 1,00<br>1,00<br>1,00<br>1,00 |
| Potres X.1 | Envelope - ultimate       | Lastna<br>stalna<br>potres X<br>potres Y            | 1,00<br>1,00<br>1,00<br>0,30 |
| Potres Y.1 | Envelope - ultimate       | Lastna<br>stalna<br>potres X<br>potres Y            | 1,00<br>1,00<br>0,30<br>1,00 |

### Nonlinear combinations

| Type Name             | Name | Type     | Load cases  | Coeff.<br>[-]                | Bow imperfection | Global imperfection | dx<br>[mm/m] | dy<br>[mm/m] |
|-----------------------|------|----------|---|------------------------------|------------------|---------------------|--------------|--------------|
| Nonlinear combination | NC1  | Ultimate | Lastna<br>stalna<br>sneg - simetricno 0.8<br>veter1 | 1,35<br>1,35<br>1,50<br>0,90 | None             | Simple inclination  | 5,0          | 5,0          |

## 4.6 Lastne frekvence

| N                             | f [Hz] | omega [1/sec] | omega^2 [1/sec^2] | T [sec] |
|-------------------------------|--------|---------------|-------------------|---------|
| <b>Mass combination : MC1</b> |        |               |                   |         |
| 1                             | 0,75   | 4,71          | 22,19             | 1,33    |
| 2                             | 1,01   | 6,33          | 40,06             | 0,99    |
| 3                             | 1,09   | 6,83          | 46,62             | 0,92    |
| 4                             | 1,23   | 7,70          | 59,30             | 0,82    |
| 5                             | 1,41   | 8,89          | 78,98             | 0,71    |
| 6                             | 1,78   | 11,18         | 125,09            | 0,56    |
| 7                             | 1,85   | 11,64         | 135,39            | 0,54    |
| 8                             | 1,96   | 12,31         | 151,43            | 0,51    |
| 9                             | 2,21   | 13,90         | 193,12            | 0,45    |
| 10                            | 2,44   | 15,33         | 234,90            | 0,41    |

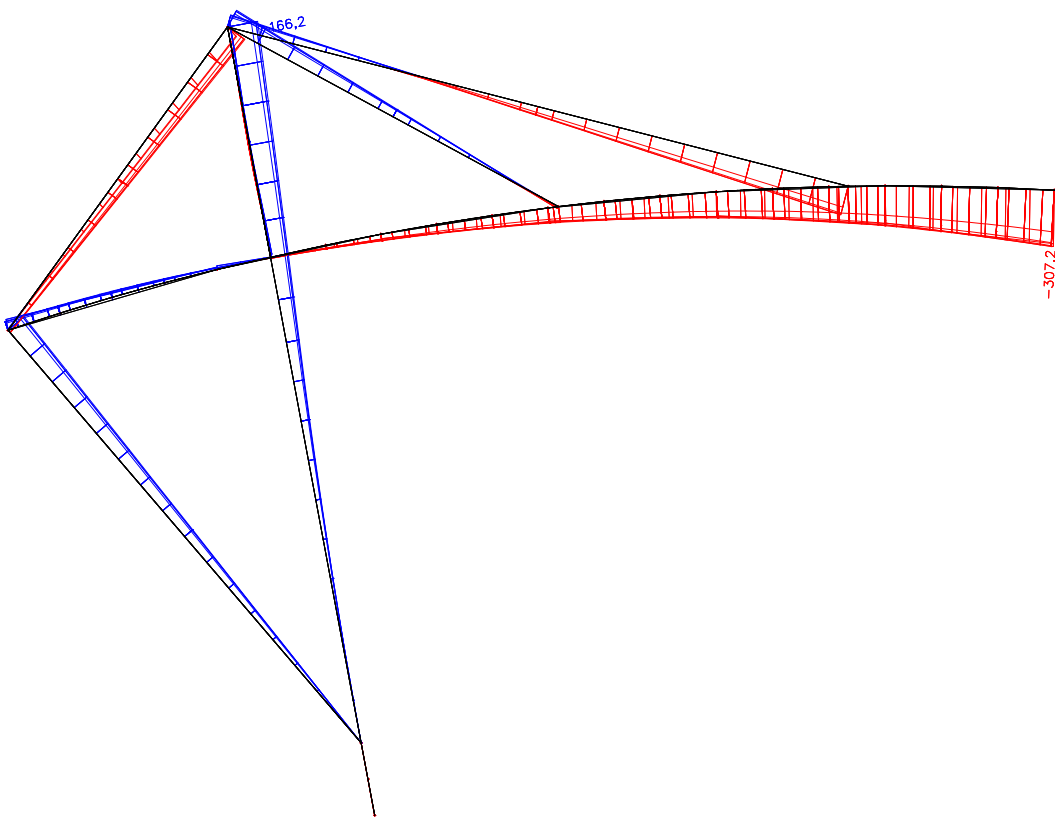
## 4.7 Notranje sile in pomiki

Notranje sile so prikazane v dodatku k statiki.

Pomiki:

---

Ovojnica linearno MSU max Z smer



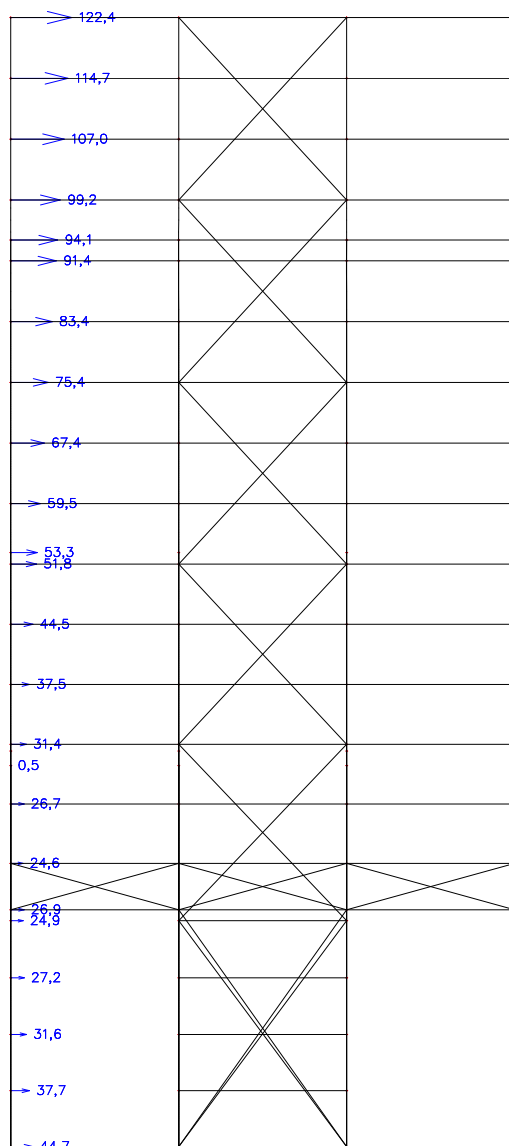
Upošteva se nadvišanje zaradi povesov ob delovanju lastne in stalne obtežbe

$U_{zG} = 135 \text{ mm}$

$$U_{z\max} = 307 \text{ mm} - 135 \text{ mm} = 172 \text{ mm} < L/150 = 200 \text{ mm}$$

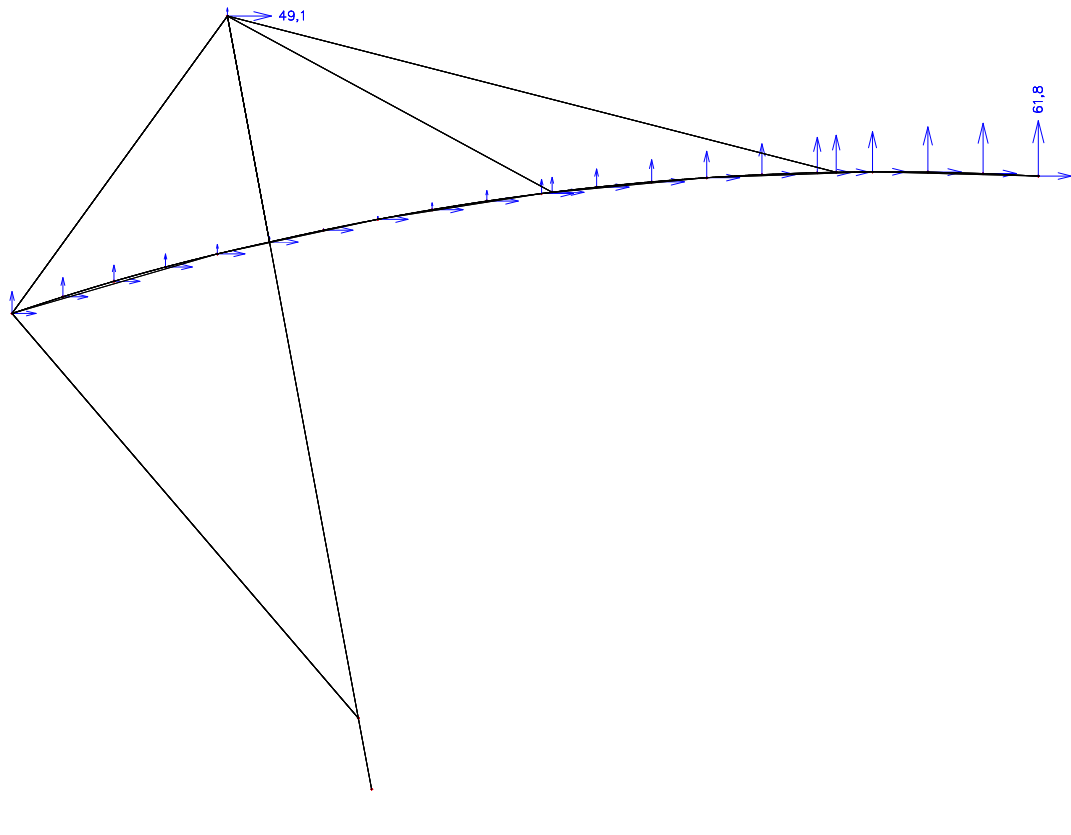
**Horizontalni pomiki ob potresu [mm]:**

Smer X



x

Smer Y in Z



Opomba: Pomiki so izračunani s pomočjo modalne analize, s CQC kombinacijo. Vse ekstremne vrednosti so zato pozitivne.

## 4.8 Reakcije

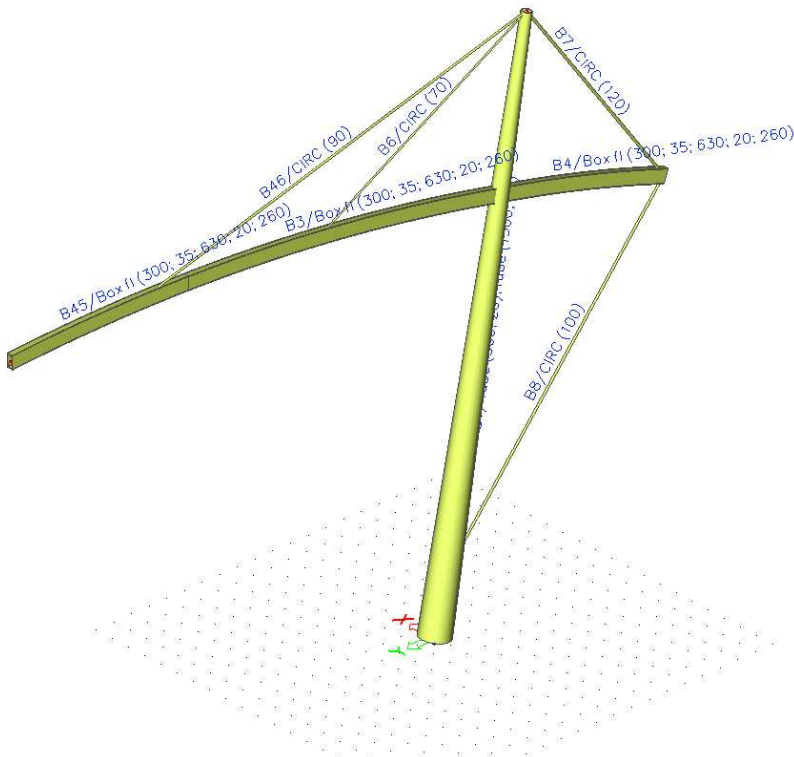
x-x: močna os, y-y: šibka os, z-z: torzija pilona

Combinations : Stalne

| Support   | Case     | Rz<br>[kN]    | Mx<br>[kNm]    | My<br>[kNm]   |
|-----------|----------|---------------|----------------|---------------|
| Sn1/N1    | Stalne/1 | <b>485,25</b> | <b>1019,68</b> | <b>28,71</b>  |
| Sn2/N50   | Stalne/1 | <b>560,79</b> | <b>1092,61</b> | <b>15,45</b>  |
| Sn5/N80   | Stalne/1 | <b>575,71</b> | <b>1071,52</b> | <b>-1,11</b>  |
| Sn7/N106  | Stalne/1 | <b>550,16</b> | <b>1165,43</b> | <b>3,76</b>   |
| Sn9/N132  | Stalne/1 | <b>570,45</b> | <b>1185,60</b> | <b>8,34</b>   |
| Sn11/N158 | Stalne/1 | <b>570,99</b> | <b>1184,43</b> | <b>-5,24</b>  |
| Sn13/N184 | Stalne/1 | <b>549,43</b> | <b>1203,81</b> | <b>0,01</b>   |
| Sn15/N210 | Stalne/1 | <b>570,94</b> | <b>1184,36</b> | <b>5,27</b>   |
| Sn17/N236 | Stalne/1 | <b>570,50</b> | <b>1185,75</b> | <b>-8,31</b>  |
| Sn19/N262 | Stalne/1 | <b>550,16</b> | <b>1165,58</b> | <b>-3,74</b>  |
| Sn21/N288 | Stalne/1 | <b>575,65</b> | <b>1071,80</b> | <b>1,13</b>   |
| Sn23/N314 | Stalne/1 | <b>560,86</b> | <b>1093,06</b> | <b>-15,43</b> |
| Sn25/N340 | Stalne/1 | <b>485,21</b> | <b>1020,55</b> | <b>-28,67</b> |

Combinations : Koristne

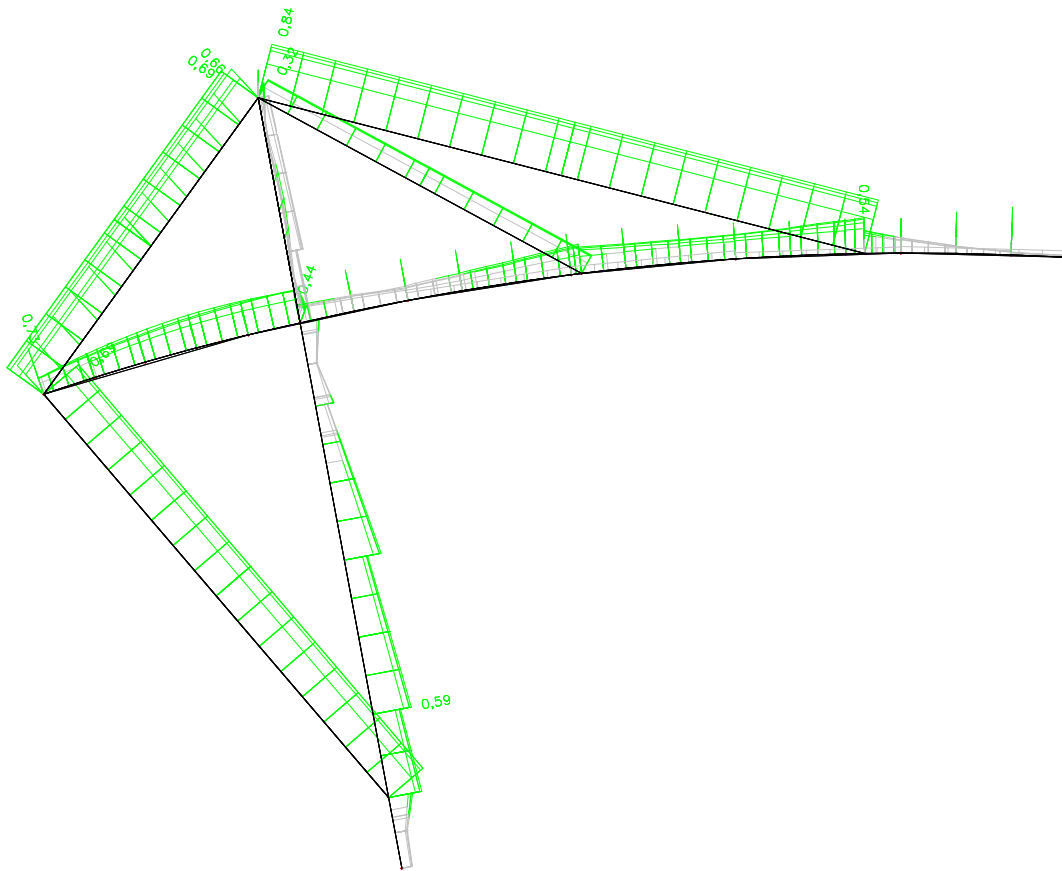
| Support   | Case        | Rz<br>[kN]     | Mx<br>[kNm]     | My<br>[kNm]    |
|-----------|-------------|----------------|-----------------|----------------|
| Sn25/N340 | Koristne/4  | 150,13         | 2373,05         | <b>-292,37</b> |
| Sn1/N1    | Koristne/3  | 116,79         | 1586,48         | <b>41,88</b>   |
| Sn21/N288 | Koristne/2  | <b>-113,83</b> | -1765,21        | -245,28        |
| Sn5/N80   | Koristne/10 | <b>303,63</b>  | 2460,73         | -255,34        |
| Sn17/N236 | Koristne/2  | -105,22        | <b>-1949,45</b> | -247,50        |
| Sn13/N184 | Koristne/4  | 256,64         | <b>2864,36</b>  | -248,17        |



## 4.9 Izkoriščenost prerezov – dimezioniranje

Izkoriščenost po posameznih prečnih prerezih

| Member | Case | css                          | mat   | dx [m] | un.check [-] | sec.check [-] | stab.check [-] | U Con [-] |
|--------|------|------------------------------|-------|--------|--------------|---------------|----------------|-----------|
| B215   | NC1  | Pilon spodaj - Tube          | S 355 | 5,675  | 0,60         | 0,54          | 0,60           | 0,00      |
| B70    | NC1  | Glavni nosilci - Box fl      | S 235 | 7,291  | 0,54         | 0,46          | 0,54           | 0,00      |
| B444   | NC1  | Precniki - RHS200/120/6.3    | S 235 | 5,500  | 0,73         | 0,37          | 0,73           | 0,00      |
| B36    | NC1  | Vrv dolga - CIRC             | S 235 | 13,318 | 0,32         | 0,32          | 0,00           | 0,00      |
| B217   | NC1  | Zatega zgoraj - CIRC         | S 235 | 13,243 | 0,70         | 0,70          | 0,00           | 0,00      |
| B216   | NC1  | Zatega spodaj - CIRC         | S 235 | 0,000  | 0,69         | 0,69          | 0,00           | 0,00      |
| B75    | NC1  | Vrv kratka - CIRC            | S 235 | 22,657 | 0,84         | 0,84          | 0,00           | 0,00      |
| B40    | NC1  | Vertikalno zavetranje - CIRC | S 235 | 9,952  | 0,44         | 0,39          | 0,44           | 0,00      |
| B405   | NC1  | Povezje v strehi - CIRC      | S 235 | 0,000  | 0,67         | 0,67          | 0,00           | 0,00      |



**Dimenzioniranje:**

|             |      |       |     |      |
|-------------|------|-------|-----|------|
| Member B215 | Tube | S 355 | NC1 | 0.60 |
|-------------|------|-------|-----|------|

| NSd<br>[kN] | Vy.Sd<br>[kN] | Vz.Sd<br>[kN] | Mt.Sd<br>[kNm] | My.Sd<br>[kNm] | Mz.Sd<br>[kNm] |
|-------------|---------------|---------------|----------------|----------------|----------------|
| -1982.54    | -413.97       | -32.56        | 24.00          | 360.12         | -5590.51       |

The critical check is on position 5.68 m

| Buckling parameters | yy        | zz        |    |
|---------------------|-----------|-----------|----|
| type                | non-sway  | sway      |    |
| Slenderness         | 48.70     | 42.38     |    |
| Reduced slenderness | 0.64      | 0.55      |    |
| Buckling curve      | b         | b         |    |
| Imperfection        | 0.34      | 0.34      |    |
| Reduction factor    | 0.82      | 0.86      |    |
| Length              | 20.08     | 17.47     | m  |
| Buckling factor     | 1.00      | 1.00      |    |
| Buckling length     | 20.08     | 17.47     | m  |
| Critical Euler load | 108826.63 | 143721.67 | kN |

| LTB        |       |   |
|------------|-------|---|
| LTB length | 20.08 | m |
| k          | 1.00  |   |
| kw         | 1.00  |   |
| C1         | 2.12  |   |
| C2         | 0.00  |   |
| C3         | 0.85  |   |

load in center of gravity

| SECTION CHECK |          |
|---------------|----------|
| Vy            | 0.03 < 1 |
| Vz            | 0.00 < 1 |
| M             | 0.54 < 1 |

| STABILITY CHECK             |          |
|-----------------------------|----------|
| Buckling                    | 0.06 < 1 |
| Torsional-flexural buckling | 0.06 < 1 |
| LTB                         | 0.03 < 1 |
| Compression + Moment        | 0.60 < 1 |
| Compression + LTB           | 0.60 < 1 |

**EC3 Code Check**

|            |        |       |     |      |
|------------|--------|-------|-----|------|
| Member B70 | Box fl | S 235 | NC1 | 0.54 |
|------------|--------|-------|-----|------|

| NSd<br>[kN] | Vy.Sd<br>[kN] | Vz.Sd<br>[kN] | Mt.Sd<br>[kNm] | My.Sd<br>[kNm] | Mz.Sd<br>[kNm] |
|-------------|---------------|---------------|----------------|----------------|----------------|
| -1108.56    | 5.87          | 94.95         | -9.46          | -666.29        | -5.29          |

The critical check is on position 7.29 m

| Buckling parameters | yy       | zz         |    |
|---------------------|----------|------------|----|
| type                | sway     | non-sway   |    |
| Slenderness         | 76.26    | 5.72       |    |
| Reduced slenderness | 0.81     | 0.06       |    |
| Buckling curve      | b        | b          |    |
| Imperfection        | 0.34     | 0.34       |    |
| Reduction factor    | 0.72     | 1.00       |    |
| Length              | 9.97     | 0.68       | m  |
| Buckling factor     | 2.00     | 1.00       |    |
| Buckling length     | 19.93    | 0.68       | m  |
| Critical Euler load | 16467.10 | 2924508.24 | kN |

| LTB        |      |   |
|------------|------|---|
| LTB length | 0.68 | m |
| k          | 1.00 |   |
| kw         | 1.00 |   |
| C1         | 1.04 |   |
| C2         | 0.00 |   |
| C3         | 1.00 |   |

load in center of gravity

| SECTION CHECK |          |
|---------------|----------|
| Vy            | 0.00 < 1 |
| Vz            | 0.03 < 1 |
| M             | 0.46 < 1 |

| STABILITY CHECK             |          |
|-----------------------------|----------|
| Buckling                    | 0.16 < 1 |
| Torsional-flexural buckling | 0.16 < 1 |
| LTB                         | 0.35 < 1 |
| Compression + Moment        | 0.54 < 1 |
| Compression + LTB           | 0.51 < 1 |

#### EC3 Code Check

|             |                |       |     |      |
|-------------|----------------|-------|-----|------|
| Member B444 | RHS200/120/6.3 | S 235 | NC1 | 0.73 |
|-------------|----------------|-------|-----|------|

| NSd [kN] | Vy.Sd [kN] | Vz.Sd [kN] | Mt.Sd [kNm] | My.Sd [kNm] | Mz.Sd [kNm] |
|----------|------------|------------|-------------|-------------|-------------|
| -3.00    | -5.99      | -13.72     | 0.43        | -22.60      | -11.19      |

The critical check is on position 5.50 m

| Buckling parameters | yy     | zz       |    |
|---------------------|--------|----------|----|
| type                | sway   | non-sway |    |
| Slenderness         | 94.27  | 56.93    |    |
| Reduced slenderness | 1.00   | 0.61     |    |
| Buckling curve      | a      | a        |    |
| Imperfection        | 0.21   | 0.21     |    |
| Reduction factor    | 0.66   | 0.89     |    |
| Length              | 5.50   | 5.50     | m  |
| Buckling factor     | 1.26   | 0.51     |    |
| Buckling length     | 6.92   | 2.80     | m  |
| Critical Euler load | 893.28 | 2449.08  | kN |

|            |      |   |
|------------|------|---|
| LTB        |      |   |
| LTB length | 5.50 | m |
| k          | 1.00 |   |
| kw         | 1.00 |   |
| C1         | 1.88 |   |
| C2         | 0.18 |   |
| C3         | 0.94 |   |

load in center of gravity

| SECTION CHECK |          |
|---------------|----------|
| Vy            | 0.03 < 1 |
| Vz            | 0.05 < 1 |
| M             | 0.37 < 1 |

| STABILITY CHECK      |          |
|----------------------|----------|
| Buckling             | 0.01 < 1 |
| LTB                  | 0.42 < 1 |
| Compression + Moment | 0.73 < 1 |
| Compression + LTB    | 0.72 < 1 |

**EC3 Code Check**

|            |      |       |     |      |
|------------|------|-------|-----|------|
| Member B36 | CIRC | S 235 | NC1 | 0.32 |
|------------|------|-------|-----|------|

| NSd<br>[kN] | Vy.Sd<br>[kN] | Vz.Sd<br>[kN] | Mt.Sd<br>[kNm] | My.Sd<br>[kNm] | Mz.Sd<br>[kNm] |
|-------------|---------------|---------------|----------------|----------------|----------------|
| 260.56      | -0.00         | -0.00         | -0.00          | -0.00          | 0.00           |

The critical check is on position 13.32 m

|            |       |   |
|------------|-------|---|
| LTB        |       |   |
| LTB length | 13.32 | m |
| k          | 1.00  |   |
| kw         | 1.00  |   |
| C1         | 1.00  |   |
| C2         | 0.00  |   |
| C3         | 1.00  |   |

load in center of gravity

| SECTION CHECK |          |
|---------------|----------|
| N             | 0.32 < 1 |
| M             | 0.32 < 1 |

**STABILITY CHECK**

**EC3 Code Check**

|             |      |       |     |      |
|-------------|------|-------|-----|------|
| Member B217 | CIRC | S 235 | NC1 | 0.70 |
|-------------|------|-------|-----|------|

| NSd<br>[kN] | Vy.Sd<br>[kN] | Vz.Sd<br>[kN] | Mt.Sd<br>[kNm] | My.Sd<br>[kNm] | Mz.Sd<br>[kNm] |
|-------------|---------------|---------------|----------------|----------------|----------------|
| 1682.86     | -0.00         | -0.00         | -0.00          | -0.00          | 0.00           |

The critical check is on position 13.24 m

| LTB        |       |   |
|------------|-------|---|
| LTB length | 13.24 | m |
| k          | 1.00  |   |
| kw         | 1.00  |   |
| C1         | 1.00  |   |
| C2         | 0.00  |   |
| C3         | 1.00  |   |

load in center of gravity

| SECTION CHECK |          |
|---------------|----------|
| N             | 0.70 < 1 |
| M             | 0.70 < 1 |

**STABILITY CHECK**

EC3 Code Check

|             |      |       |     |      |
|-------------|------|-------|-----|------|
| Member B216 | CIRC | S 235 | NC1 | 0.69 |
|-------------|------|-------|-----|------|

| NSd<br>[kN] | Vy.Sd<br>[kN] | Vz.Sd<br>[kN] | Mt.Sd<br>[kNm] | My.Sd<br>[kNm] | Mz.Sd<br>[kNm] |
|-------------|---------------|---------------|----------------|----------------|----------------|
| 1164.21     | -0.00         | -0.00         | -0.00          | -0.00          | 0.00           |

The critical check is on position 0.00 m

| LTB        |       |   |
|------------|-------|---|
| LTB length | 19.21 | m |
| k          | 1.00  |   |
| kw         | 1.00  |   |
| C1         | 1.00  |   |
| C2         | 0.00  |   |
| C3         | 1.00  |   |

load in center of gravity

| SECTION CHECK |          |
|---------------|----------|
| N             | 0.69 < 1 |
| M             | 0.69 < 1 |

**STABILITY CHECK**

EC3 Code Check

|            |      |       |     |      |
|------------|------|-------|-----|------|
| Member B75 | CIRC | S 235 | NC1 | 0.84 |
|------------|------|-------|-----|------|

| NSd<br>[kN] | Vy.Sd<br>[kN] | Vz.Sd<br>[kN] | Mt.Sd<br>[kNm] | My.Sd<br>[kNm] | Mz.Sd<br>[kNm] |
|-------------|---------------|---------------|----------------|----------------|----------------|
| 1136.52     | -0.00         | -0.00         | -0.00          | -0.00          | -0.00          |

The critical check is on position 22.66 m

| LTB        |       |   |
|------------|-------|---|
| LTB length | 22.66 | m |

|    |      |  |
|----|------|--|
| k  | 1.00 |  |
| kw | 1.00 |  |
| C1 | 1.00 |  |
| C2 | 0.00 |  |
| C3 | 1.00 |  |

load in center of gravity

| SECTION CHECK |          |
|---------------|----------|
| N             | 0.84 < 1 |
| M             | 0.84 < 1 |

**STABILITY CHECK**

EC3 Code Check

|            |      |       |     |      |
|------------|------|-------|-----|------|
| Member B40 | CIRC | S 235 | NC1 | 0.44 |
|------------|------|-------|-----|------|

| NSd<br>[kN] | Vy.Sd<br>[kN] | Vz.Sd<br>[kN] | Mt.Sd<br>[kNm] | My.Sd<br>[kNm] | Mz.Sd<br>[kNm] |
|-------------|---------------|---------------|----------------|----------------|----------------|
| -0.00       | -0.60         | -0.02         | 0.01           | -0.13          | 1.02           |

The critical check is on position 9.95 m

| LTB        |      |   |
|------------|------|---|
| LTB length | 9.95 | m |
| k          | 1.00 |   |
| kw         | 1.00 |   |
| C1         | 2.70 |   |
| C2         | 0.00 |   |
| C3         | 0.68 |   |

load in center of gravity

| SECTION CHECK |          |
|---------------|----------|
| Vy            | 0.00 < 1 |
| Vz            | 0.00 < 1 |
| M             | 0.39 < 1 |

| STABILITY CHECK      |          |
|----------------------|----------|
| LTB                  | 0.05 < 1 |
| Compression + Moment | 0.44 < 1 |
| Compression + LTB    | 0.44 < 1 |

EC3 Code Check

|             |      |       |     |      |
|-------------|------|-------|-----|------|
| Member B405 | CIRC | S 235 | NC1 | 0.67 |
|-------------|------|-------|-----|------|

| NSd<br>[kN] | Vy.Sd<br>[kN] | Vz.Sd<br>[kN] | Mt.Sd<br>[kNm] | My.Sd<br>[kNm] | Mz.Sd<br>[kNm] |
|-------------|---------------|---------------|----------------|----------------|----------------|
| 101.38      | -0.00         | -0.00         | -0.00          | -0.00          | -0.00          |

The critical check is on position 0.00 m

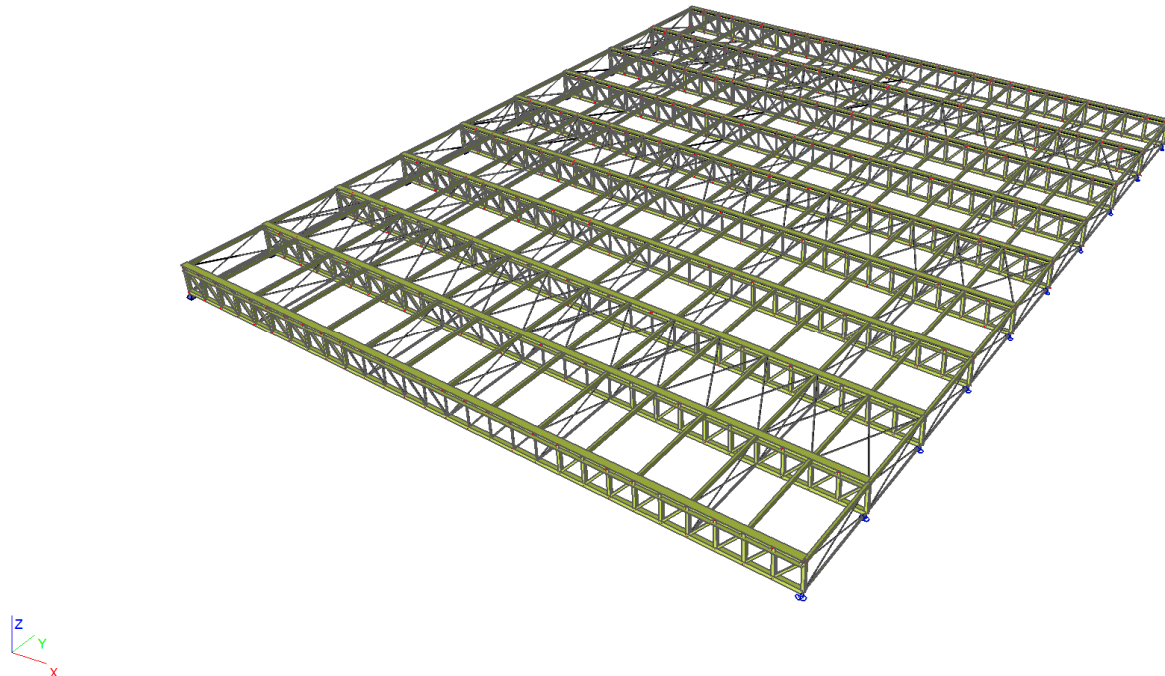
| LTB        |       |   |
|------------|-------|---|
| LTB length | 14.34 | m |

|    |      |  |
|----|------|--|
| k  | 1.00 |  |
| kw | 1.00 |  |
| C1 | 1.00 |  |
| C2 | 0.00 |  |
| C3 | 1.00 |  |

load in center of gravity

| SECTION CHECK |          |
|---------------|----------|
| N             | 0.67 < 1 |
| M             | 0.67 < 1 |

## 5.0 Konstrukcija strehe športne hale



### 5.1 Spisek materiala

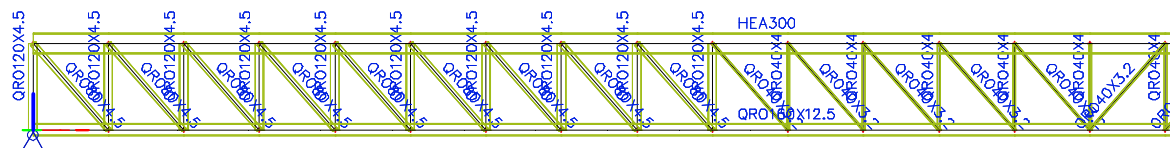
| Name            | Mass [kg] | Surface [m <sup>2</sup> ] | Volume [m <sup>3</sup> ] |
|-----------------|-----------|---------------------------|--------------------------|
| Total results : | 66286,85  | 1301,123                  | 8,4442e+000              |

| CSS                                 | Material | Unit mass [kg/m] | Length [m] | Mass [kg] | Surface [m <sup>2</sup> ] | Unit volume mass [kg/m <sup>3</sup> ] | Volume [m <sup>3</sup> ] |
|-------------------------------------|----------|------------------|------------|-----------|---------------------------|---------------------------------------|--------------------------|
| Zgornji pas - HEA300                | S 235    | 88,71            | 294,502    | 26123,83  | 505,491                   | 7850,00                               | 3,3279e+000              |
| Diagonala sredina - QRO40X3.2       | S 235    | 3,63             | 159,571    | 578,72    | 25,161                    | 7850,00                               | 7,3722e-002              |
| Vertikala sredina - QRO40X4         | S 235    | 4,41             | 108,000    | 476,46    | 16,967                    | 7850,00                               | 6,0696e-002              |
| Diagonala stran - QRO80X4.5         | S 235    | 10,52            | 287,226    | 3021,33   | 90,976                    | 7850,00                               | 3,8488e-001              |
| Vertikala stran - QRO120X4.5        | S 235    | 16,09            | 240,000    | 3862,20   | 113,672                   | 7850,00                               | 4,9200e-001              |
| Spodnji pas - QRO160X12.5           | S 235    | 54,71            | 294,502    | 16113,53  | 179,464                   | 7850,00                               | 2,0527e+000              |
| Precniki - RHS150/100/6.3           | S 235    | 23,16            | 540,000    | 12505,04  | 264,601                   | 7850,00                               | 1,5930e+000              |
| Zatege - CIRC (22)                  | S 235    | 2,98             | 379,630    | 1132,59   | 26,237                    | 7850,00                               | 1,4428e-001              |
| Povezovalniki spodaj - RHS60/40/4.0 | S 235    | 5,64             | 252,000    | 1422,33   | 48,800                    | 7850,00                               | 1,8119e-001              |
| ZategeVER - CIRC (18)               | S 235    | 2,00             | 526,191    | 1050,88   | 29,754                    | 7850,00                               | 1,3387e-001              |

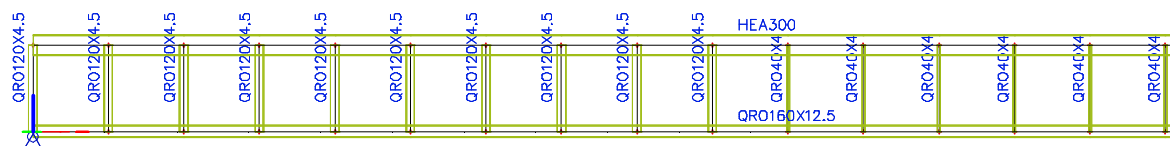
## 5.2 Prečni prerezi

| Name  | Type  | Unit mass<br>[kg/m <sup>3</sup> ] | E mod<br>[MPa] | Poisson - nu | G mod<br>[MPa] | Thermal exp<br>[m/mK] |
|-------|-------|-----------------------------------|----------------|--------------|----------------|-----------------------|
| S 235 | Steel | 7850,00                           | 2,1000e+005    | 0,3          | 8,0769e+004    | 0,00                  |

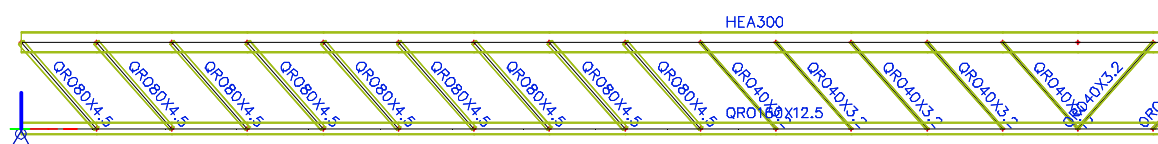
Glavni nosilec (simetrična polovica):



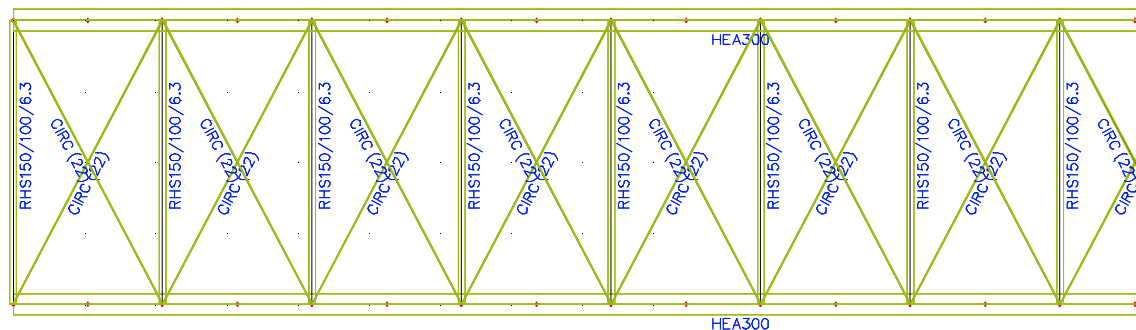
Glavni nosilec (simetrična polovica) - vertikale:



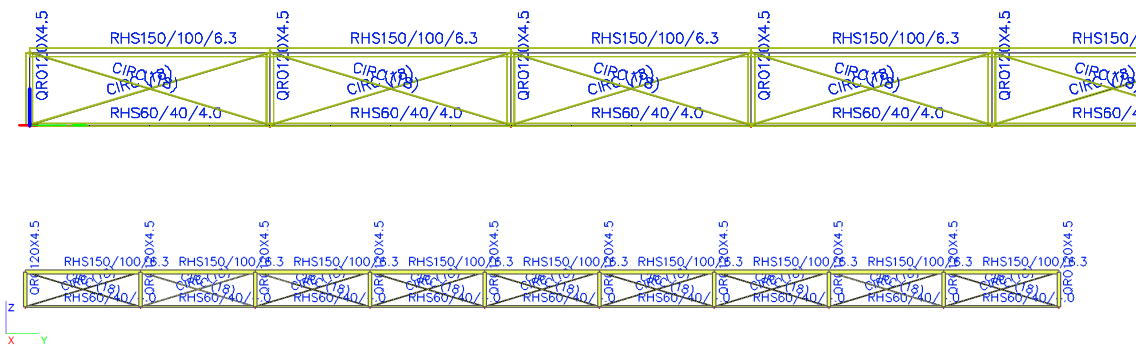
Glavni nosilec (simetrična polovica) - diagonale:



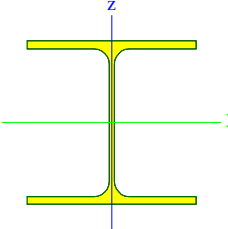
Tloris horizontalnega povezja (simetrična polovica):

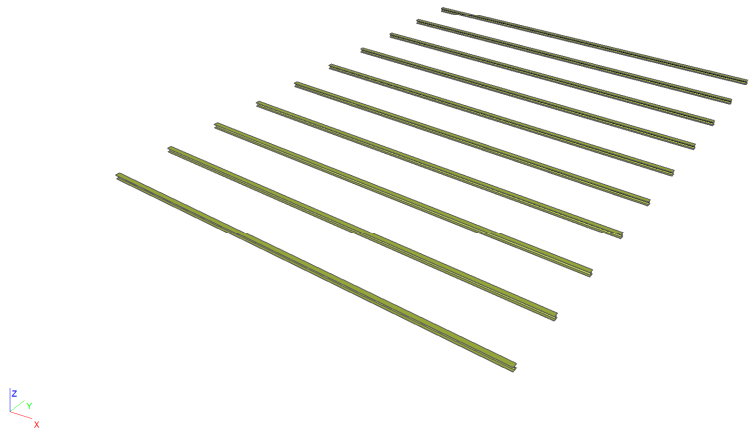


Vzdolžni prerez – vertikalno zavetrovanje (simetrična polovica)

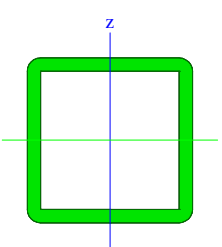


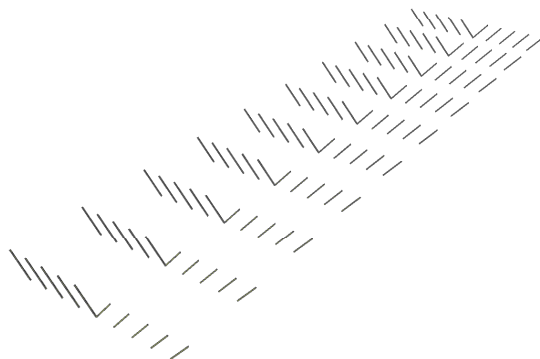
**Zgornji pas**

|   |  |   |             |
|---|--|---|-------------|
| > | Type Name                                  | Cross-Sections  |             |
|   | Name                                       | Zgornji pas   |             |
|   | Type                                       | HEA300  |             |
|   | Source description                         | Profil Arbed / Structural shapes / Edition Octobre 1995                           |             |
|   | Item material                              | S 235   |             |
|   | Fabrication                                | rolled  |             |
|   | Buckling y-y, z-z                          | b   | c           |
| > | Picture                                    |  |             |
| > | A [m <sup>2</sup> ]                        | 1,1300e-002   |             |
|   | A y, z [m <sup>2</sup> ]                   | 7,4045e-003   | 2,2574e-003 |
|   | I y, z [m <sup>4</sup> ]                   | 1,8300e-004   | 6,3100e-005 |
|   | I w [m <sup>6</sup> ], t [m <sup>4</sup> ] | 1,2033e-006   | 8,5200e-007 |
|   | Wel y, z [m <sup>3</sup> ]                 | 1,2600e-003   | 4,2100e-004 |
|   | Wpl y, z [m <sup>3</sup> ]                 | 1,3840e-003   | 6,4200e-004 |
|   | d y, z [mm]                                | 0   | 0           |
|   | c YLCS, ZLCS [mm]                          | 150   | 145         |
|   | alpha [deg]                                | 0,00  |             |
|   | AL [m <sup>2</sup> /m]                     | 1,7164e+000   |             |

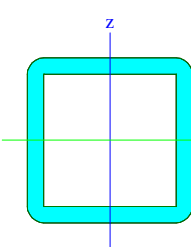


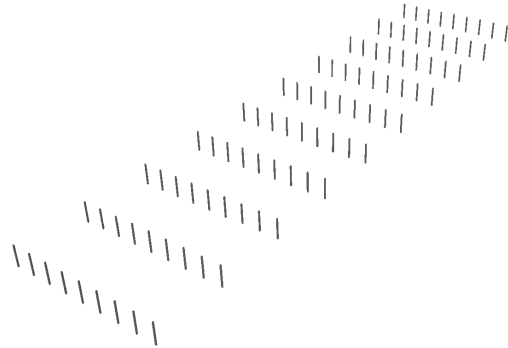
### Diagonala sredina

|   |  |   |             |
|---|--|---|-------------|
| > | Type Name                                  | Cross-Sections  |             |
|   | Name                                       | Diagonala sredina   |             |
|   | Type                                       | QRO40X3.2   |             |
|   | Source description                         | Stahl im Hochbau / 14.Auflage Band I / Teil 1                                     |             |
|   | Item material                              | S 235   |             |
|   | Fabrication                                | rolled  |             |
|   | Buckling y-y, z-z                          | a   | a           |
| > | Picture                                    |  |             |
| > | A [m <sup>2</sup> ]                        | 4,6200e-004   |             |
|   | A y, z [m <sup>2</sup> ]                   | 2,3100e-004   | 2,3100e-004 |
|   | I y, z [m <sup>4</sup> ]                   | 1,0400e-007   | 1,0400e-007 |
|   | I w [m <sup>6</sup> ], t [m <sup>4</sup> ] | 2,7307e-011   | 1,6200e-007 |
|   | W <sub>el</sub> y, z [m <sup>3</sup> ]     | 5,1900e-006   | 5,1900e-006 |
|   | W <sub>pl</sub> y, z [m <sup>3</sup> ]     | 6,3472e-006   | 6,3472e-006 |
|   | d y, z [mm]                                | 0   | 0           |
|   | c YLCS, ZLCS [mm]                          | 20  | 20          |
|   | alpha [deg]                                | 0,00  |             |
|   | AL [m <sup>2</sup> /m]                     | 1,5768e-001   |             |

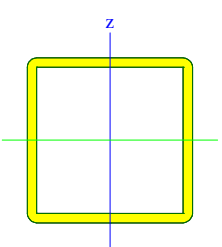


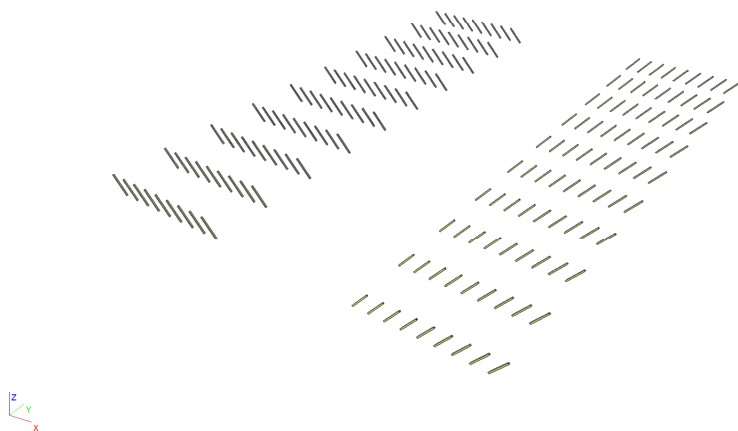
### Vertikala sredina

|   |  |   |             |
|---|--|---|-------------|
| > | Type Name                                  | Cross-Sections  |             |
|   | Name                                       | Vertikala sredina   |             |
|   | Type                                       | QRO40X4   |             |
|   | Source description                         | Stahl im Hochbau / 14.Auflage Band I / Teil 1                                     |             |
|   | Item material                              | S 235   |             |
|   | Fabrication                                | rolled  |             |
|   | Buckling y-y, z-z                          | a   | a           |
| > | Picture                                    |  |             |
| > | A [m <sup>2</sup> ]                        | 5,6200e-004   |             |
|   | A y, z [m <sup>2</sup> ]                   | 2,8100e-004   | 2,8100e-004 |
|   | I y, z [m <sup>4</sup> ]                   | 1,2100e-007   | 1,2100e-007 |
|   | I w [m <sup>6</sup> ], t [m <sup>4</sup> ] | 3,4133e-011   | 1,9000e-007 |
|   | Wel y, z [m <sup>3</sup> ]                 | 6,0500e-006   | 6,0500e-006 |
|   | Wpl y, z [m <sup>3</sup> ]                 | 7,5456e-006   | 7,5456e-006 |
|   | d y, z [mm]                                | 0   | 0           |
|   | c YLCS, ZLCS [mm]                          | 20  | 20          |
|   | alpha [deg]                                | 0,00  |             |
|   | AL [m <sup>2</sup> /m]                     | 1,5710e-001   |             |

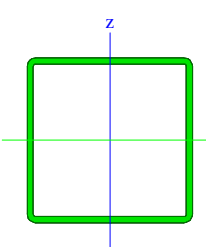


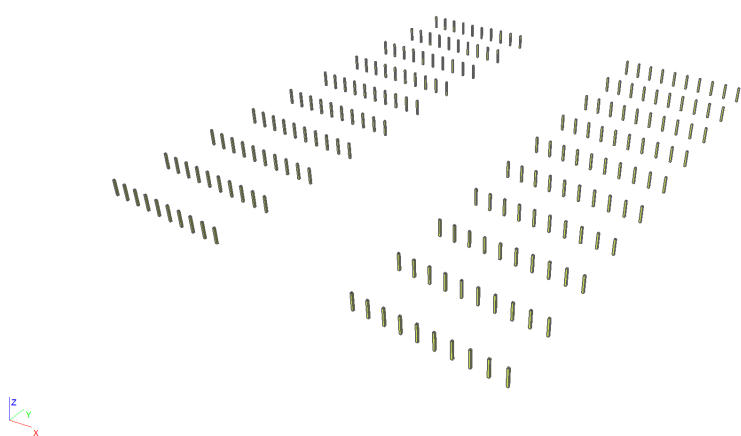
### Diagonala stran

|   |  |   |             |
|---|--|---|-------------|
| > | Type Name                                  | Cross-Sections  |             |
|   | Name                                       | Diagonala stran   |             |
|   | Type                                       | QRO80X4.5   |             |
|   | Source description                         | Stahl im Hochbau / 14.Auflage Band I / Teil 1                                     |             |
|   | Item material                              | S 235   |             |
|   | Fabrication                                | rolled  |             |
|   | Buckling y-y, z-z                          | a   | a           |
| > | Picture                                    |  |             |
| > | A [m <sup>2</sup> ]                        | 1,3400e-003   |             |
|   | A y, z [m <sup>2</sup> ]                   | 6,7000e-004   | 6,7000e-004 |
|   | I y, z [m <sup>4</sup> ]                   | 1,2700e-006   | 1,2700e-006 |
|   | I w [m <sup>6</sup> ], t [m <sup>4</sup> ] | 1,2288e-009   | 1,9600e-006 |
|   | Wel y, z [m <sup>3</sup> ]                 | 3,1700e-005   | 3,1700e-005 |
|   | Wpl y, z [m <sup>3</sup> ]                 | 3,7844e-005   | 3,7844e-005 |
|   | d y, z [mm]                                | 0   | 0           |
|   | c YLCS, ZLCS [mm]                          | 40  | 40          |
|   | alpha [deg]                                | 0,00  |             |
|   | AL [m <sup>2</sup> /m]                     | 3,1674e-001   |             |

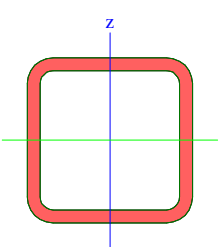


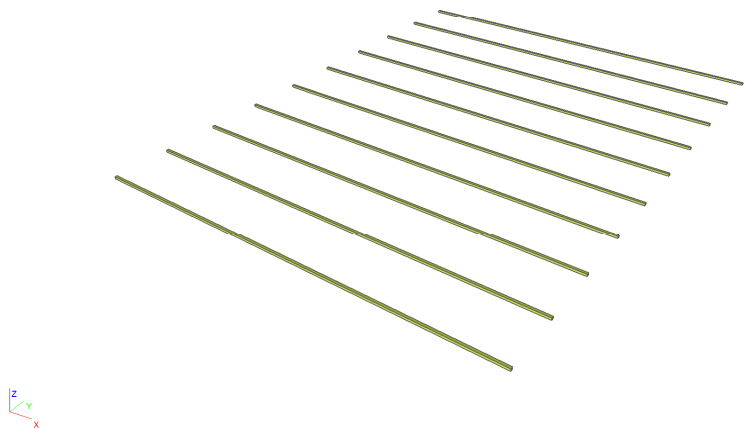
### Vertikala stran

|   |  |   |             |
|---|--|---|-------------|
| > | Type Name                                  | Cross-Sections  |             |
|   | Name                                       | Vertikala stran   |             |
|   | Type                                       | Q235  |             |
|   | Source description                         | Stahl im Hochbau / 14.Auflage Band I / Teil 1                                     |             |
|   | Item material                              | S 235   |             |
|   | Fabrication                                | rolled  |             |
|   | Buckling y-y, z-z                          | a   | a           |
| > | Picture                                    |  |             |
| > | A [m <sup>2</sup> ]                        | 2,0500e-003   |             |
|   | A y, z [m <sup>2</sup> ]                   | 1,0250e-003   | 1,0250e-003 |
|   | I y, z [m <sup>4</sup> ]                   | 4,5200e-006   | 4,5200e-006 |
|   | I w [m <sup>6</sup> ], t [m <sup>4</sup> ] | 9,3312e-009   | 7,0200e-006 |
|   | W <sub>el</sub> y, z [m <sup>3</sup> ]     | 7,5300e-005   | 7,5300e-005 |
|   | W <sub>pl</sub> y, z [m <sup>3</sup> ]     | 8,8249e-005   | 8,8249e-005 |
|   | d y, z [mm]                                | 0   | 0           |
|   | c YLCS, ZLCS [mm]                          | 60  | 60          |
|   | alpha [deg]                                | 0,00  |             |
|   | AL [m <sup>2</sup> /m]                     | 4,7363e-001   |             |

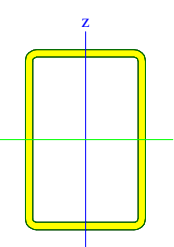


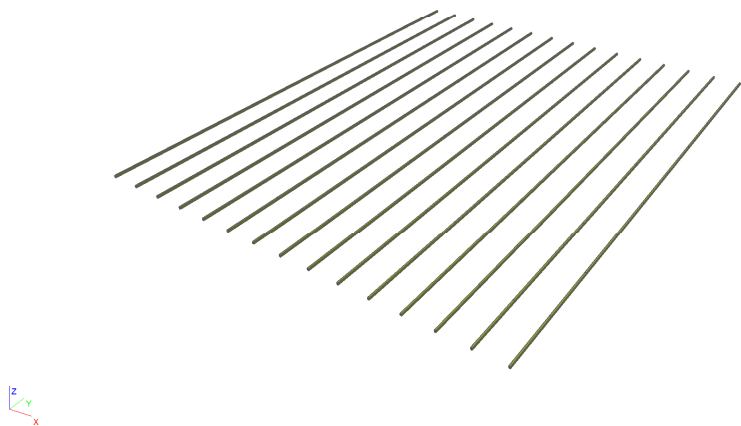
**Spodnji pas**

|   |  |   |             |
|---|--|---|-------------|
| > | Type Name                                  | Cross-Sections  |             |
|   | Name                                       | Spodnji pas   |             |
|   | Type                                       | QRO160X12.5   |             |
|   | Source description                         | Stahl im Hochbau / 14.Auflage Band I / Teil 1                                     |             |
|   | Item material                              | S 235   |             |
|   | Fabrication                                | cold formed   |             |
|   | Buckling y-y, z-z                          | c   | c           |
| > | Picture                                    |  |             |
| > | A [m <sup>2</sup> ]                        | 6,9700e-003   |             |
|   | A y, z [m <sup>2</sup> ]                   | 3,4850e-003   | 3,4850e-003 |
|   | I y, z [m <sup>4</sup> ]                   | 2,4500e-005   | 2,4500e-005 |
|   | I w [m <sup>6</sup> ], t [m <sup>4</sup> ] | 1,0923e-007   | 4,1300e-005 |
|   | W <sub>el</sub> y, z [m <sup>3</sup> ]     | 3,0600e-004   | 3,0600e-004 |
|   | W <sub>pl</sub> y, z [m <sup>3</sup> ]     | 3,7766e-004   | 3,7766e-004 |
|   | d y, z [mm]                                | 0   | 0           |
|   | c YLCS, ZLCS [mm]                          | 80  | 80          |
|   | alpha [deg]                                | 0,00  |             |
|   | AL [m <sup>2</sup> /m]                     | 6,0938e-001   |             |

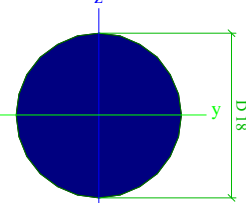


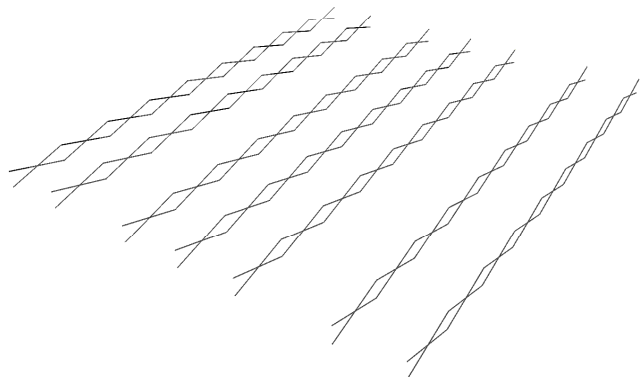
### Precniki

|   |  |   |             |
|---|--|---|-------------|
| > | Type Name                                  | Cross-Sections  |             |
|   | Name                                       | Precniki  |             |
|   | Type                                       | RHS150/100/6.3  |             |
|   | Source description                         | British Standard / BS 5950 part 1 : 1990 & EN 10210-2                             |             |
|   | Item material                              | S 235   |             |
|   | Fabrication                                | rolled  |             |
|   | Buckling y-y, z-z                          | a   |             |
| > | Picture                                    |  |             |
| > | A [m <sup>2</sup> ]                        | 2,9500e-003   |             |
|   | A y, z [m <sup>2</sup> ]                   | 1,1800e-003   | 1,7700e-003 |
|   | I y, z [m <sup>4</sup> ]                   | 8,9800e-006   | 4,7400e-006 |
|   | I w [m <sup>6</sup> ], t [m <sup>4</sup> ] | 1,4766e-008   | 9,8600e-006 |
|   | W <sub>el</sub> y, z [m <sup>3</sup> ]     | 1,2000e-004   | 9,4800e-005 |
|   | W <sub>pl</sub> y, z [m <sup>3</sup> ]     | 1,4499e-004   | 1,0930e-004 |
|   | d y, z [mm]                                | 0   | 0           |
|   | c YLCS, ZLCS [mm]                          | 50  | 75          |
|   | alpha [deg]                                | 0,00  |             |
|   | AL [m <sup>2</sup> /m]                     | 4,9000e-001   |             |

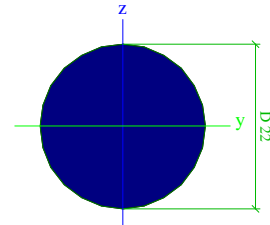


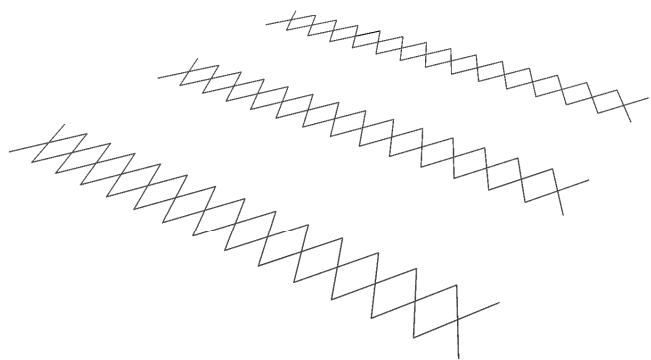
### ZategeVER

|   |  |   |             |
|---|--|---|-------------|
| > | Type Name                                  | Cross-Sections  |             |
|   | Name                                       | ZategeVER   |             |
|   | Type                                       | CIRC  |             |
|   | Detailed                                   | 18  |             |
|   | Item material                              | S 235   |             |
|   | Fabrication                                | general   |             |
|   | Buckling y-y, z-z                          | b   | b           |
|   | FEM analysis                               | x   |             |
| > | Picture                                    |  |             |
| > | A [m <sup>2</sup> ]                        | 2,5441e-004   |             |
|   | A y, z [m <sup>2</sup> ]                   | 2,1625e-004   | 2,1625e-004 |
|   | I y, z [m <sup>4</sup> ]                   | 5,1509e-009   | 5,1506e-009 |
|   | I w [m <sup>6</sup> ], t [m <sup>4</sup> ] | 0,0000e+000   | 1,0302e-008 |
|   | Wel y, z [m <sup>3</sup> ]                 | 5,7232e-007   | 5,7229e-007 |
|   | Wpl y, z [m <sup>3</sup> ]                 | 9,7169e-007   | 9,7169e-007 |
|   | d y, z [mm]                                | 0   | 0           |
|   | c YLCS, ZLCS [mm]                          | 0   | 0           |
|   | alpha [deg]                                | 0,00  |             |
|   | AL [m <sup>2</sup> /m]                     | 5,6546e-002   |             |

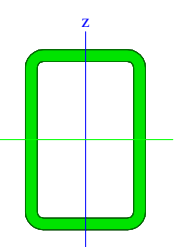


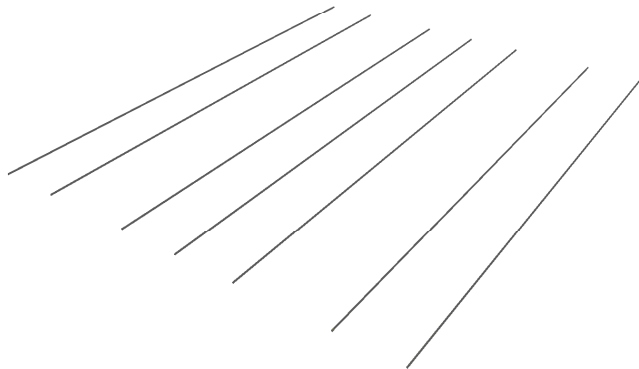
**Zatege**

|   |  |   |             |
|---|--|---|-------------|
| > | Type Name                                  | Cross-Sections  |             |
|   | Name                                       | Zatege  |             |
|   | Type                                       | CIRC  |             |
|   | Detailed                                   | 22  |             |
|   | Item material                              | S 235   |             |
|   | Fabrication                                | general   |             |
|   | Buckling y-y, z-z                          | b   | b           |
|   | FEM analysis                               | x   |             |
| > | Picture                                    |  |             |
| > | A [m <sup>2</sup> ]                        | 3,8005e-004   |             |
|   | A y, z [m <sup>2</sup> ]                   | 3,2304e-004   | 3,2304e-004 |
|   | I y, z [m <sup>4</sup> ]                   | 1,1494e-008   | 1,1494e-008 |
|   | I w [m <sup>6</sup> ], t [m <sup>4</sup> ] | 0,0000e+000   | 2,2988e-008 |
|   | W <sub>el</sub> y, z [m <sup>3</sup> ]     | 1,0449e-006   | 1,0449e-006 |
|   | W <sub>pl</sub> y, z [m <sup>3</sup> ]     | 1,7741e-006   | 1,7741e-006 |
|   | d y, z [mm]                                | 0   | 0           |
|   | c YLCS, ZLCS [mm]                          | 0   | 0           |
|   | alpha [deg]                                | 0,00  |             |
|   | AL [m <sup>2</sup> /m]                     | 6,9112e-002   |             |



**Povezovalniki spodaj**

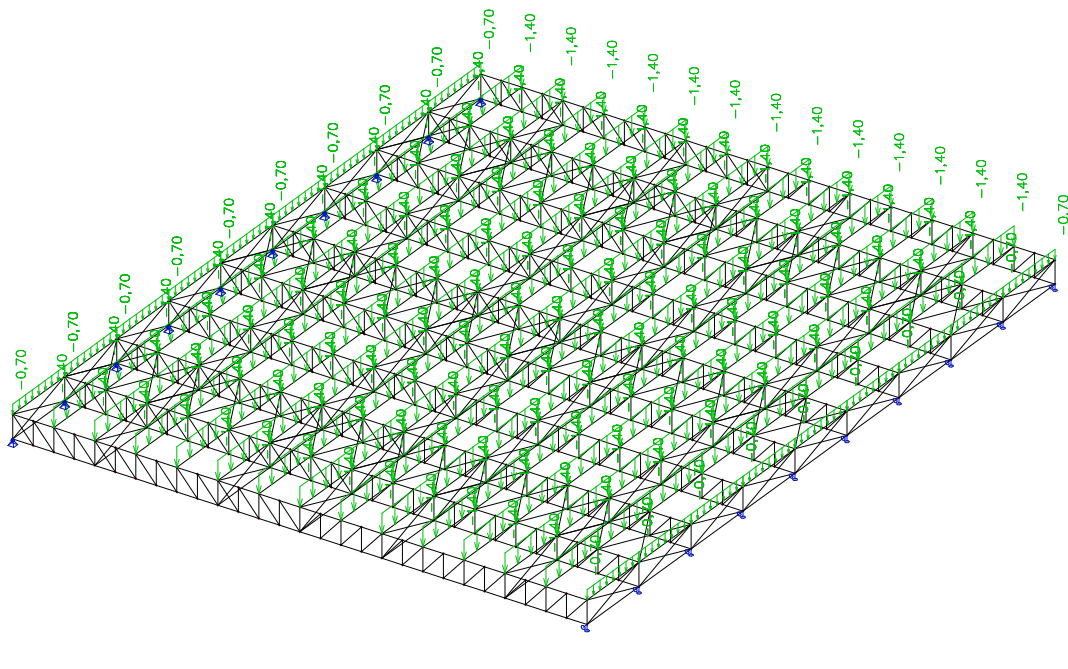
|   |  |   |             |
|---|--|---|-------------|
| > | Type Name                                  | Cross-Sections  |             |
|   | Name                                       | Povezovalniki spodaj  |             |
|   | Type                                       | RHS60/40/4.0  |             |
|   | Source description                         | British Standard / BS 5950 part 1 : 1990 & EN 10210-2                             |             |
|   | Item material                              | S 235   |             |
|   | Fabrication                                | cold formed   |             |
|   | Buckling y-y, z-z                          | c   | c           |
| > | Picture                                    |  |             |
| > | A [m <sup>2</sup> ]                        | 7,1900e-004   |             |
|   | A y, z [m <sup>2</sup> ]                   | 2,8760e-004   | 4,3140e-004 |
|   | I y, z [m <sup>4</sup> ]                   | 3,2800e-007   | 1,7000e-007 |
|   | I w [m <sup>6</sup> ], t [m <sup>4</sup> ] | 9,6000e-011   | 3,6700e-007 |
|   | W <sub>el</sub> y, z [m <sup>3</sup> ]     | 1,0900e-005   | 8,5200e-006 |
|   | W <sub>pl</sub> y, z [m <sup>3</sup> ]     | 1,3570e-005   | 1,0165e-005 |
|   | d y, z [mm]                                | 0   | 0           |
|   | c YLCS, ZLCS [mm]                          | 20  | 30          |
|   | alpha [deg]                                | 0,00  |             |
|   | AL [m <sup>2</sup> /m]                     | 1,9365e-001   |             |



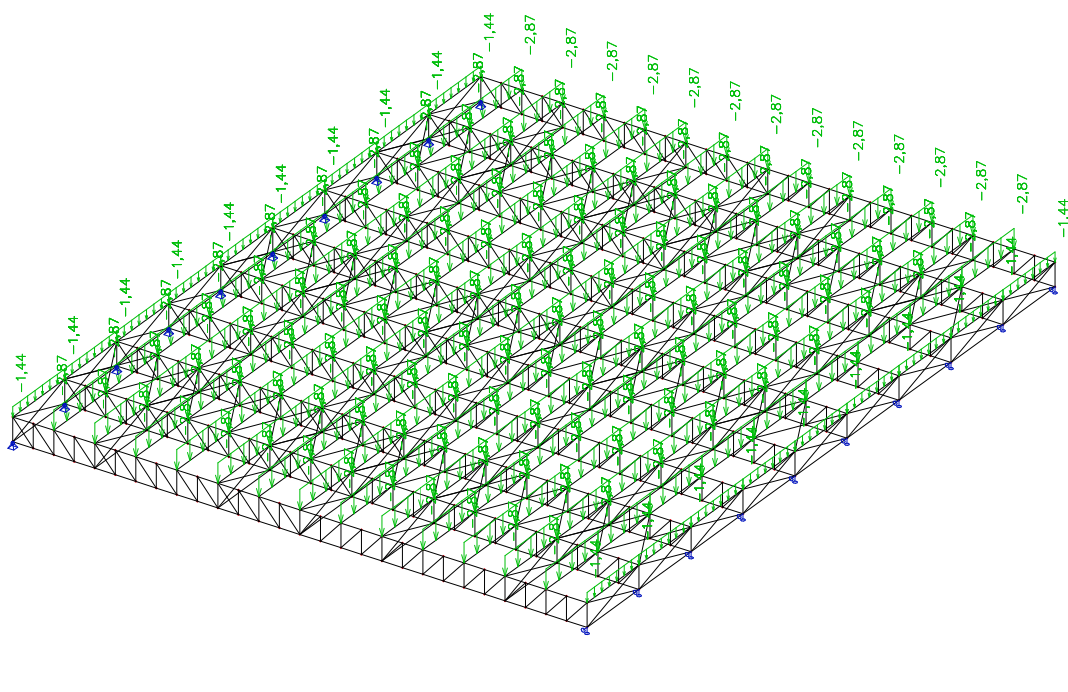
### 5.3 Prikaz obtežb

| Name    | Action type | LoadGroup | Load type   | Spec     | Direction | Duration | Master load case |
|---------|-------------|-----------|-------------|----------|-----------|----------|------------------|
| Lastna  | Permanent   | LG1       | Self weight |          | -Z        |          |                  |
| stalna  | Permanent   | LG1       | Standard    |          |           |          |                  |
| sneg    | Variable    | Sneg      | Static      | Standard |           | Short    | None             |
| Veter   | Variable    | Veter     | Static      | Standard |           | Short    | None             |
| Izbocne | Permanent   | LG1       | Standard    |          |           |          |                  |
| Potres  | Permanent   | LG1       | Standard    |          |           |          |                  |

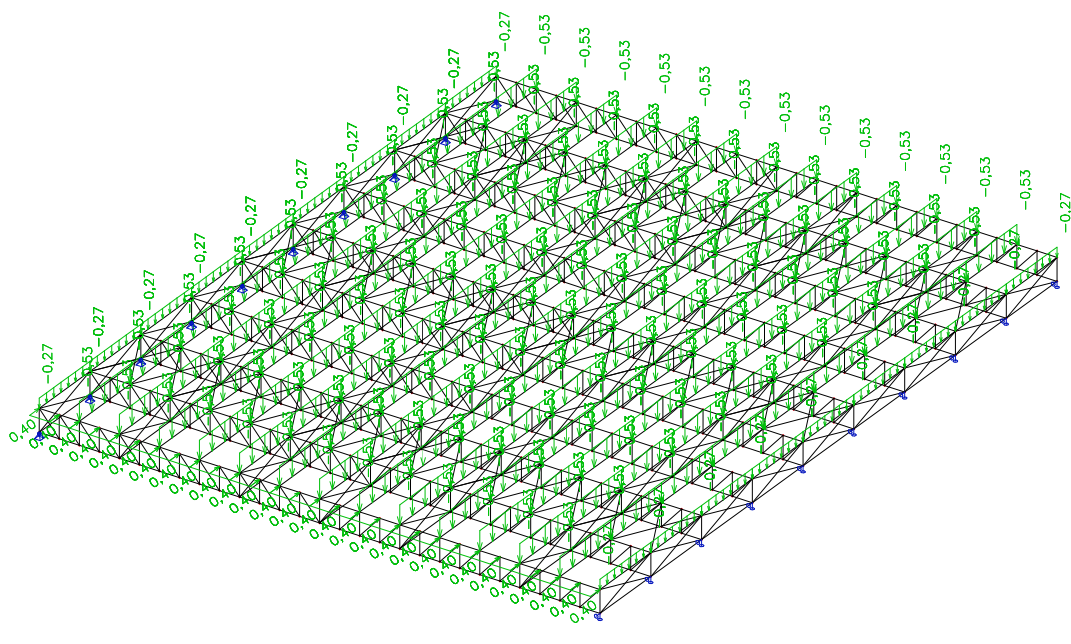
**Stalna:**



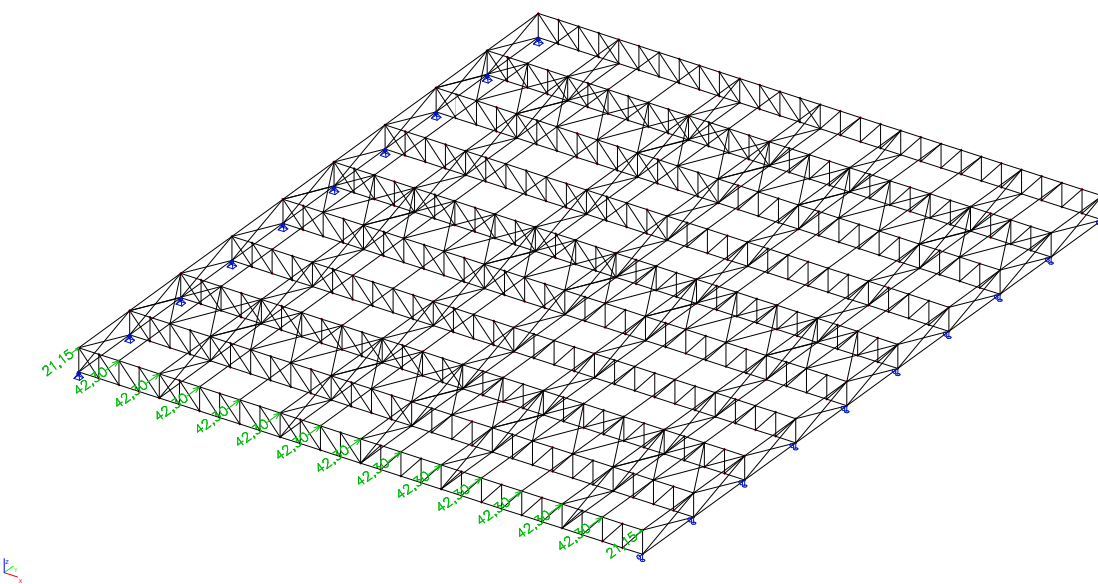
**Sneg:**



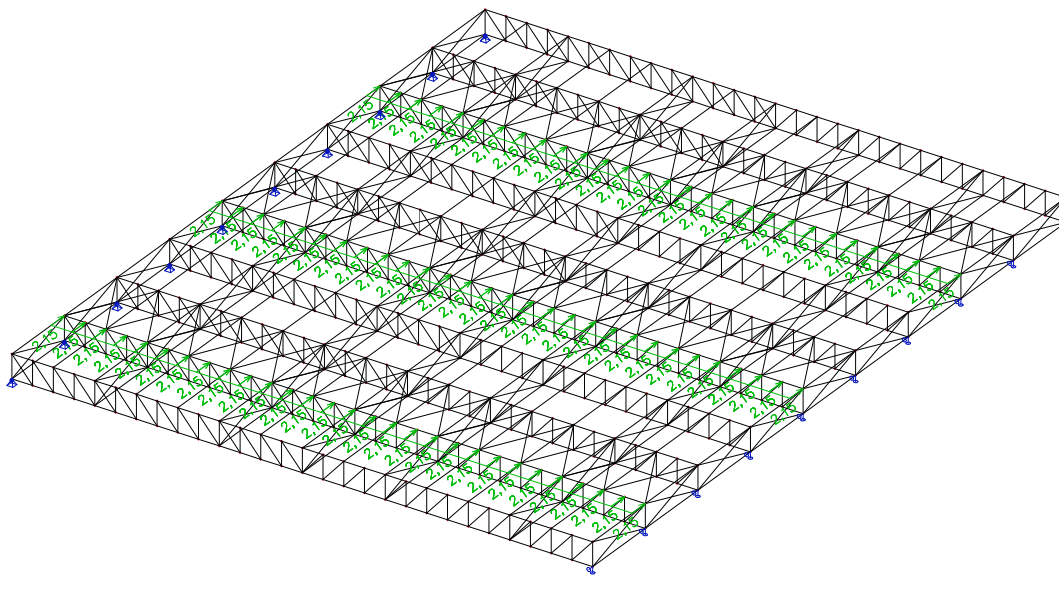
**Veter:**



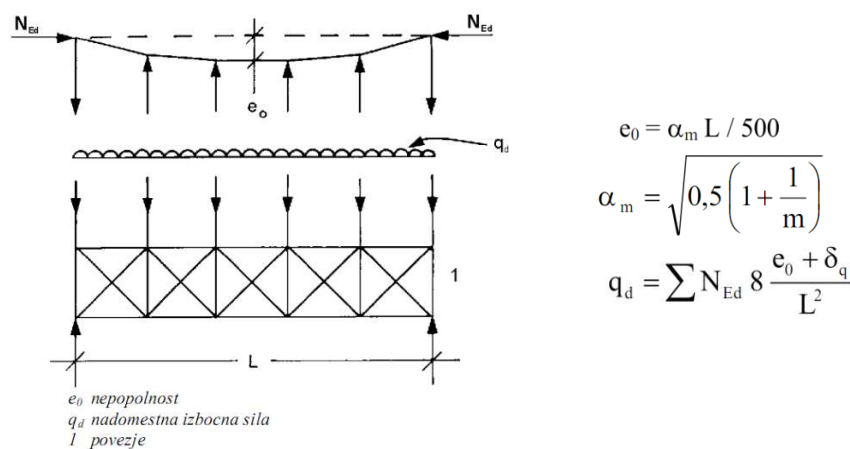
**Potres:**



### Izbočne sile:



### Določitev izbočnih sil:



|                   |            |  |
|-------------------|------------|--|
| $n_1 =$           | 10         | ... število tlačenih pasov                     |
| $n_2 =$           | 3          | ... število zavetrovanj                        |
| $m =$             | 3,33       | ... število podprtih elementov                 |
| $L =$             | 30,00 m    | ... dolžina podprtga tlačenega elementa        |
| $N_{ed} =$        | 997,00 kN  | ... tlačna sila v tlačenem pasu ( $M_{ed}/h$ ) |
| $\Sigma N_{ed} =$ | 9970,00 kN |  |

|                |           |     |  |
|----------------|-----------|-----|--|
| $L/\delta_q =$ | 600       | =   | 50 mm  |
| $\delta_q =$   | 5,00 cm   | ... | upogibek povezja zaradi $q_d$ in drugih obtežb |
| $e_0 =$        | 4,84 cm   | ... | nadomestna nepopolnost                         |
| $\alpha_m =$   | 0,81      |     |  |
| $q_d =$        | 8,72 kN/m | ... | izbočne sile                                   |
| $q_d =$        | 2,91 kN/m | ... | izbočne sile na eno povezje                    |

## 5.4 Kombinacije obtežnih primerov

### 15. Combinations

| Name   | Type              | Load cases                        | Coeff.<br>[-]                |
|--------|-------------------|-----------------------------------|------------------------------|
| MSN    | EN-ULS            | Lastna<br>stalna<br>sneg<br>Veter | 1,00<br>1,00<br>1,00<br>1,00 |
| MSU    | EN-SLS Char.      | Lastna<br>stalna<br>sneg<br>Veter | 1,00<br>1,00<br>1,00<br>1,00 |
| Potres | Linear - ultimate | Lastna<br>stalna<br>Potres        | 1,00<br>1,00<br>1,00         |

### 16. Nonlinear combinations

| Type Name                | Name   | Type     | Load cases                                   | Coeff.<br>[-]                        | Bow<br>imperfection | Global<br>imperfection | dx<br>[mm/m] | dy<br>[mm/m] | f     | 1/f |
|--------------------------|--------|----------|--|--------------------------------------|---------------------|------------------------|--------------|--------------|-------|-----|
| Nonlinear<br>combination | NC1    | Ultimate | Lastna<br>stalna<br>sneg<br>Veter<br>Izbocne | 1,35<br>1,35<br>1,50<br>0,90<br>1,35 | Simple<br>curvature | Simple<br>inclination  | 5,0          | 5,0          | 0,005 | 200 |
| Nonlinear<br>combination | potres | Ultimate | Lastna<br>stalna<br>Potres                   | 1,00<br>1,00<br>1,00                 | Simple<br>curvature | Simple<br>inclination  | 5,0          | 5,0          | 0,005 | 200 |

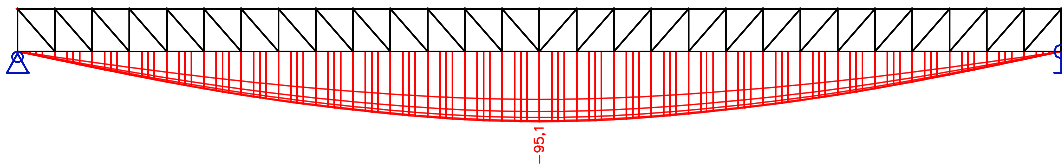
## 5.5 Notranje sile in pomiki

Notranje sile so prikazane v dodatku k statiki.

### Pomiki:

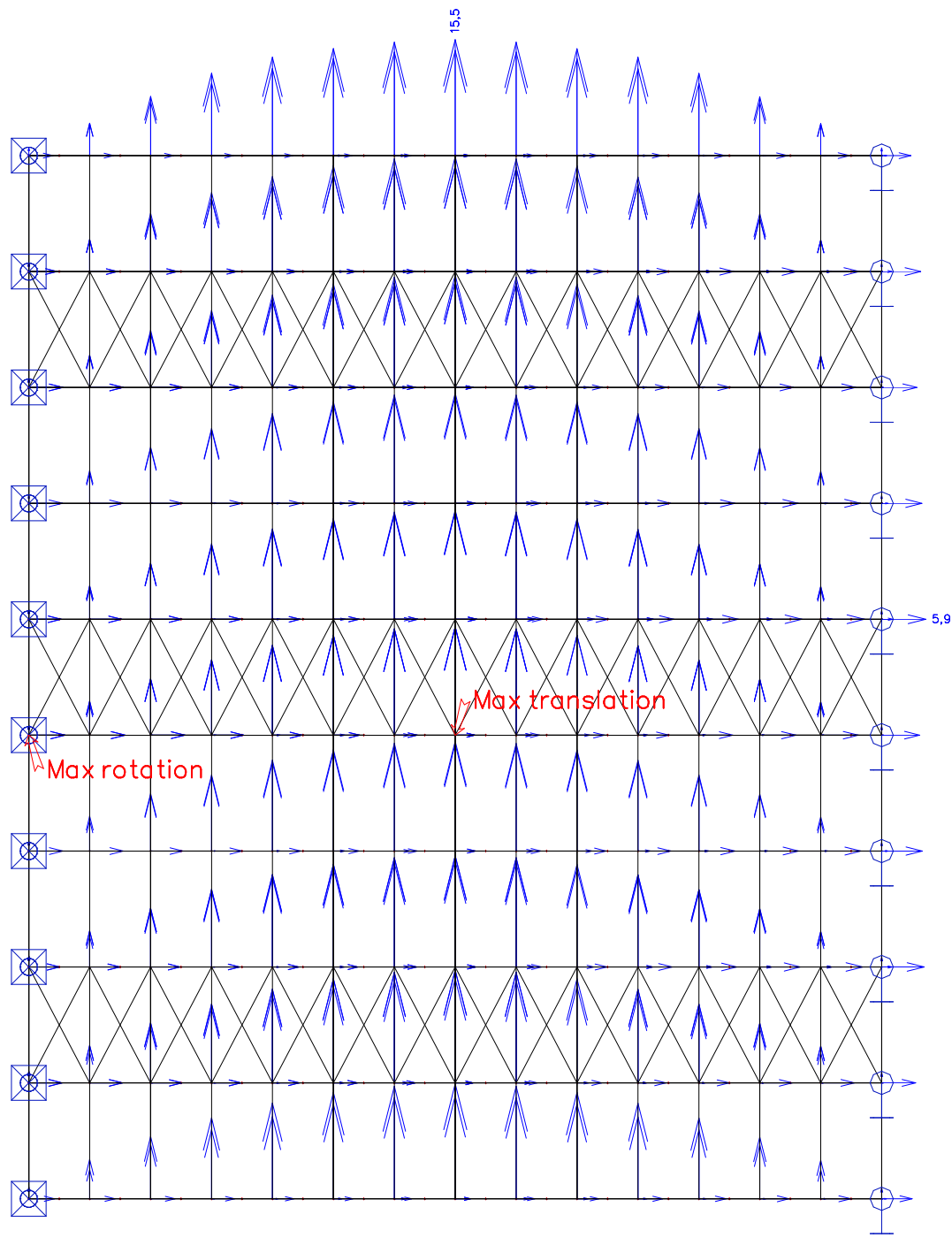
---

#### Ovojnica linearno MSU max Z smer



$$U_{z\max} = 95 < L/300 = 100 \text{ mm}$$

Horizontalni pomiki ob potresu [mm] (faktor obnašanja q=1.5):



$x$

## 5.6 Reakcije

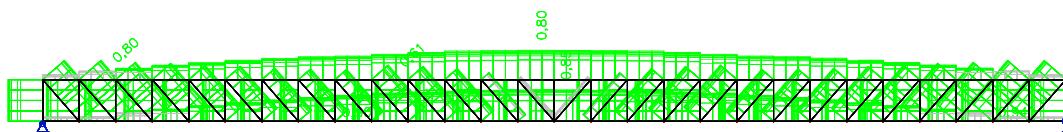
Combinations : MSN

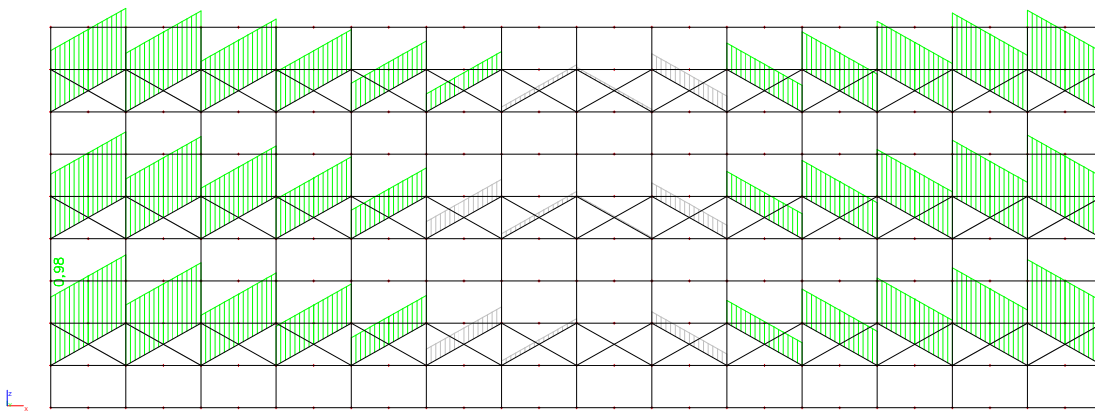
| Support   | Case  | Rx [kN] | Ry [kN] | Rz [kN] | Mx [kNm] | My [kNm] | Mz [kNm] |
|-----------|-------|---------|---------|---------|----------|----------|----------|
| Sn3/N74   | MSN/1 | -37,32  | -2,74   | 206,52  | 0,00     | 0,00     | 0,00     |
| Sn5/N132  | MSN/1 | 40,73   | -2,34   | 231,41  | 0,00     | 0,00     | 0,00     |
| Sn20/N580 | MSN/1 | 0,00    | -7,33   | 152,64  | 0,00     | 0,00     | 0,00     |
| Sn2/N57   | MSN/1 | 0,00    | 6,72    | 152,32  | 0,00     | 0,00     | 0,00     |
| Sn1/N1    | MSN/2 | -1,16   | 1,60    | 53,12   | 0,00     | 0,00     | 0,00     |
| Sn11/N306 | MSN/1 | 0,93    | -0,08   | 237,25  | 0,00     | 0,00     | 0,00     |
| Sn1/N1    | MSN/3 | -1,56   | 2,16    | 71,71   | 0,00     | 0,00     | 0,00     |

## 5.7 Izkoriščenost prerezov – dimezioniranje

Izkoriščenost po posameznih prečnih prerezih

| Case   | Member | css                                 | mat   | dx [m] | un.check [-] | sec.check [-] | stab.check [-] |
|--------|--------|-------------------------------------|-------|--------|--------------|---------------|----------------|
| NC1    | B399   | Vertikala stran - QRO120X4.5        | S 235 | 0,000  | 0,94         | 0,47          | 0,94           |
| NC1    | B381   | Vertikala sredina - QRO40X4         | S 235 | 0,000  | 0,90         | 0,39          | 0,90           |
| NC1    | B401   | Diagonala stran - QRO80X4.5         | S 235 | 0,000  | 0,80         | 0,80          | 0,15           |
| NC1    | B409   | Diagonala sredina - QRO40X3.2       | S 235 | 0,000  | 0,61         | 0,61          | 0,06           |
| NC1    | B354   | Zgornji pas - HEA300                | S 235 | 14,374 | 0,80         | 0,54          | 0,80           |
| NC1    | B429   | Spodnji pas - QRO160X12.5           | S 235 | 15,076 | 0,85         | 0,85          | 0,12           |
| potres | B135   | Precniki - RHS150/100/6.3           | S 235 | 4,000  | 0,47         | 0,15          | 0,47           |
| potres | B756   | Zatege - CIRC                       | S 235 | 0,000  | 0,98         | 0,98          | 0,00           |
| potres | B862   | Povezovalniki spodaj - RHS60/40/4.0 | S 235 | 4,000  | 0,28         | 0,06          | 0,28           |
| NC1    | B877   | ZategeVER - CIRC                    | S 235 | 0,000  | 0,84         | 0,84          | 0,00           |





### Dimenzioniranje:

EC3 : EN 1993 Code Check

|             |            |       |     |      |
|-------------|------------|-------|-----|------|
| Member B399 | QRO120X4.5 | S 235 | NC1 | 0.94 |
|-------------|------------|-------|-----|------|

| NEd<br>[kN] | Vy,Ed<br>[kN] | Vz,Ed<br>[kN] | TEd<br>[kNm] | My,Ed<br>[kNm] | Mz,Ed<br>[kNm] |
|-------------|---------------|---------------|--------------|----------------|----------------|
| -225.47     | -6.60         | 16.07         | -0.24        | -9.64          | 1.11           |

The critical check is on position 0.00 m

| Buckling parameters | yy      | zz       |    |
|---------------------|---------|----------|----|
| type                | sway    | non-sway |    |
| Slenderness         | 30.67   | 30.67    |    |
| Reduced slenderness | 0.33    | 0.33     |    |
| Buckling curve      | a       | a        |    |
| Imperfection        | 0.21    | 0.21     |    |
| Reduction factor    | 0.97    | 0.97     |    |
| Length              | 1.20    | 1.20     | m  |
| Buckling factor     | 1.20    | 1.20     |    |
| Buckling length     | 1.44    | 1.44     | m  |
| Critical Euler load | 4517.86 | 4517.86  | kN |

| LTB        |      |   |
|------------|------|---|
| LTB length | 1.20 | m |
| k          | 1.00 |   |
| kw         | 1.00 |   |
| C1         | 2.48 |   |
| C2         | 0.06 |   |
| C3         | 0.85 |   |

load in center of gravity

| SECTION CHECK             |          |
|---------------------------|----------|
| Compression check         | 0.47 < 1 |
| Torsion check             | 0.01 < 1 |
| Shear check (Vy)          | 0.05 < 1 |
| Shear check (Vz)          | 0.12 < 1 |
| Bending moment check (My) | 0.46 < 1 |
| Bending moment check (Mz) | 0.05 < 1 |
| M                         | 0.41 < 1 |

| STABILITY CHECK      |          |
|----------------------|----------|
| Buckling             | 0.48 < 1 |
| LTB                  | 0.46 < 1 |
| Compression + Moment | 0.94 < 1 |
| Compression + Moment | 0.81 < 1 |

**EC3 : EN 1993 Code Check**

|             |         |       |     |      |
|-------------|---------|-------|-----|------|
| Member B381 | QRO40X4 | S 235 | NC1 | 0.90 |
|-------------|---------|-------|-----|------|

| NEd<br>[kN] | Vy,Ed<br>[kN] | Vz,Ed<br>[kN] | TEd<br>[kNm] | My,Ed<br>[kNm] | Mz,Ed<br>[kNm] |
|-------------|---------------|---------------|--------------|----------------|----------------|
| -51.88      | 1.09          | 1.05          | -0.00        | -0.02          | -0.24          |

The critical check is on position 0.00 m

| Buckling parameters | yy     | zz       |    |
|---------------------|--------|----------|----|
| type                | sway   | non-sway |    |
| Slenderness         | 98.14  | 98.14    |    |
| Reduced slenderness | 1.04   | 1.04     |    |
| Buckling curve      | a      | a        |    |
| Imperfection        | 0.21   | 0.21     |    |
| Reduction factor    | 0.63   | 0.63     |    |
| Length              | 1.20   | 1.20     | m  |
| Buckling factor     | 1.20   | 1.20     |    |
| Buckling length     | 1.44   | 1.44     | m  |
| Critical Euler load | 120.94 | 120.94   | kN |

| LTB        |      |   |
|------------|------|---|
| LTB length | 1.20 | m |
| k          | 1.00 |   |
| kw         | 1.00 |   |
| C1         | 1.60 |   |
| C2         | 0.45 |   |
| C3         | 2.64 |   |

load in center of gravity

| SECTION CHECK             |          |
|---------------------------|----------|
| Compression check         | 0.39 < 1 |
| Shear check (Vy)          | 0.03 < 1 |
| Shear check (Vz)          | 0.03 < 1 |
| Bending moment check (My) | 0.01 < 1 |
| Bending moment check (Mz) | 0.14 < 1 |
| M                         | 0.03 < 1 |

| STABILITY CHECK      |          |
|----------------------|----------|
| Buckling             | 0.62 < 1 |
| LTB                  | 0.01 < 1 |
| Compression + Moment | 0.90 < 1 |
| Compression + Moment | 0.87 < 1 |

**EC3 : EN 1993 Code Check**

|             |           |       |     |      |
|-------------|-----------|-------|-----|------|
| Member B401 | QRO80X4.5 | S 235 | NC1 | 0.80 |
|-------------|-----------|-------|-----|------|

| NEd<br>[kN] | Vy,Ed<br>[kN] | Vz,Ed<br>[kN] | TEd<br>[kNm] | My,Ed<br>[kNm] | Mz,Ed<br>[kNm] |
|-------------|---------------|---------------|--------------|----------------|----------------|
| 250.61      | 0.17          | -5.13         | 0.06         | 1.31           | -0.01          |

The critical check is on position 0.00 m

|            |      |   |
|------------|------|---|
| LTB        |      |   |
| LTB length | 1.60 | m |
| k          | 1.00 |   |
| kw         | 1.00 |   |
| C1         | 2.65 |   |
| C2         | 0.02 |   |
| C3         | 0.68 |   |

load in center of gravity

| SECTION CHECK             |          |
|---------------------------|----------|
| Normal force check        | 0.80 < 1 |
| Shear check (Vy)          | 0.00 < 1 |
| Shear check (Vz)          | 0.06 < 1 |
| Bending moment check (My) | 0.15 < 1 |
| Bending moment check (Mz) | 0.00 < 1 |
| M                         | 0.03 < 1 |

| STABILITY CHECK      |          |
|----------------------|----------|
| LTB                  | 0.15 < 1 |
| Compression + Moment | 0.15 < 1 |
| Compression + Moment | 0.09 < 1 |

EC3 : EN 1993 Code Check

|             |           |       |     |      |
|-------------|-----------|-------|-----|------|
| Member B409 | QRO40X3.2 | S 235 | NC1 | 0.61 |
|-------------|-----------|-------|-----|------|

| NEd<br>[kN] | Vy,Ed<br>[kN] | Vz,Ed<br>[kN] | TEd<br>[kNm] | My,Ed<br>[kNm] | Mz,Ed<br>[kNm] |
|-------------|---------------|---------------|--------------|----------------|----------------|
| 65.77       | 0.06          | -0.59         | 0.00         | 0.09           | -0.00          |

The critical check is on position 0.00 m

|            |      |   |
|------------|------|---|
| LTB        |      |   |
| LTB length | 1.60 | m |
| k          | 1.00 |   |
| kw         | 1.00 |   |
| C1         | 2.49 |   |
| C2         | 0.06 |   |
| C3         | 0.85 |   |

load in center of gravity

| SECTION CHECK             |          |
|---------------------------|----------|
| Normal force check        | 0.61 < 1 |
| Shear check (Vy)          | 0.00 < 1 |
| Shear check (Vz)          | 0.02 < 1 |
| Bending moment check (My) | 0.06 < 1 |
| Bending moment check (Mz) | 0.00 < 1 |
| M                         | 0.00 < 1 |

| STABILITY CHECK      |          |
|----------------------|----------|
| LTB                  | 0.06 < 1 |
| Compression + Moment | 0.06 < 1 |
| Compression + Moment | 0.04 < 1 |

EC3 : EN 1993 Code Check

|             |        |       |     |      |
|-------------|--------|-------|-----|------|
| Member B354 | HEA300 | S 235 | NC1 | 0.80 |
|-------------|--------|-------|-----|------|

| NEd<br>[kN] | Vy,Ed<br>[kN] | Vz,Ed<br>[kN] | TEd<br>[kNm] | My,Ed<br>[kNm] | Mz,Ed<br>[kNm] |
|-------------|---------------|---------------|--------------|----------------|----------------|
| -1431.30    | 20.07         | -2.46         | 0.01         | 69.31          | -1.51          |

The critical check is on position 14.37 m

| Buckling parameters | yy       | zz       |    |
|---------------------|----------|----------|----|
| type                | sway     | non-sway |    |
| Slenderness         | 24.80    | 19.30    |    |
| Reduced slenderness | 0.26     | 0.21     |    |
| Buckling curve      | b        | c        |    |
| Imperfection        | 0.34     | 0.49     |    |
| Reduction factor    | 0.98     | 1.00     |    |
| Length              | 1.05     | 2.10     | m  |
| Buckling factor     | 3.00     | 0.69     |    |
| Buckling length     | 3.16     | 1.44     | m  |
| Critical Euler load | 38094.41 | 62844.11 | kN |

| LTB        |      |   |
|------------|------|---|
| LTB length | 2.10 | m |
| k          | 1.00 |   |
| kw         | 1.00 |   |
| C1         | 1.19 |   |
| C2         | 0.04 |   |
| C3         | 1.00 |   |

load in center of gravity

| SECTION CHECK             |          |
|---------------------------|----------|
| Compression check         | 0.54 < 1 |
| Shear check (Vy)          | 0.02 < 1 |
| Shear check (Vz)          | 0.00 < 1 |
| Bending moment check (My) | 0.21 < 1 |
| Bending moment check (Mz) | 0.01 < 1 |
| M                         | 0.16 < 1 |

| STABILITY CHECK      |          |
|----------------------|----------|
| Buckling             | 0.55 < 1 |
| LTB                  | 0.21 < 1 |
| Compression + Moment | 0.80 < 1 |
| Compression + Moment | 0.72 < 1 |

EC3 : EN 1993 Code Check

|             |             |       |     |      |
|-------------|-------------|-------|-----|------|
| Member B429 | QRO160X12.5 | S 235 | NC1 | 0.85 |
|-------------|-------------|-------|-----|------|

| NEd<br>[kN] | Vy,Ed<br>[kN] | Vz,Ed<br>[kN] | TEd<br>[kNm] | My,Ed<br>[kNm] | Mz,Ed<br>[kNm] |
|-------------|---------------|---------------|--------------|----------------|----------------|
| 1396.46     | -0.02         | 0.31          | -0.03        | 9.21           | -1.11          |

The critical check is on position 15.08 m

| LTB        |      |   |
|------------|------|---|
| LTB length | 2.10 | m |
| k          | 1.00 |   |
| kw         | 1.00 |   |
| C1         | 1.08 |   |
| C2         | 0.02 |   |
| C3         | 1.00 |   |

load in center of gravity

| SECTION CHECK             |          |
|---------------------------|----------|
| Normal force check        | 0.85 < 1 |
| Shear check (Vy)          | 0.00 < 1 |
| Shear check (Vz)          | 0.00 < 1 |
| Bending moment check (My) | 0.10 < 1 |
| Bending moment check (Mz) | 0.01 < 1 |
| M                         | 0.03 < 1 |

| STABILITY CHECK      |          |
|----------------------|----------|
| LTB                  | 0.10 < 1 |
| Compression + Moment | 0.12 < 1 |
| Compression + Moment | 0.08 < 1 |

EC3 : EN 1993 Code Check

|             |                |       |        |      |
|-------------|----------------|-------|--------|------|
| Member B135 | RHS150/100/6.3 | S 235 | potres | 0.47 |
|-------------|----------------|-------|--------|------|

| NEd<br>[kN] | Vy,Ed<br>[kN] | Vz,Ed<br>[kN] | TEd<br>[kNm] | My,Ed<br>[kNm] | Mz,Ed<br>[kNm] |
|-------------|---------------|---------------|--------------|----------------|----------------|
| -102.99     | 1.28          | -4.23         | -0.01        | -3.49          | 3.78           |

The critical check is on position 4.00 m

| Buckling parameters | yy      | zz       |    |
|---------------------|---------|----------|----|
| type                | sway    | non-sway |    |
| Slenderness         | 72.50   | 99.79    |    |
| Reduced slenderness | 0.77    | 1.06     |    |
| Buckling curve      | a       | a        |    |
| Imperfection        | 0.21    | 0.21     |    |
| Reduction factor    | 0.81    | 0.62     |    |
| Length              | 4.00    | 4.00     | m  |
| Buckling factor     | 1.00    | 1.00     |    |
| Buckling length     | 4.00    | 4.00     | m  |
| Critical Euler load | 1163.26 | 614.01   | kN |

| LTB        |      |   |
|------------|------|---|
| LTB length | 4.00 | m |
| k          | 1.00 |   |
| kw         | 1.00 |   |
| C1         | 1.43 |   |
| C2         | 0.92 |   |
| C3         | 1.73 |   |

load in center of gravity

| SECTION CHECK             |          |
|---------------------------|----------|
| Compression check         | 0.15 < 1 |
| Shear check (Vy)          | 0.01 < 1 |
| Shear check (Vz)          | 0.02 < 1 |
| Bending moment check (My) | 0.10 < 1 |
| Bending moment check (Mz) | 0.15 < 1 |
| M                         | 0.06 < 1 |

| STABILITY CHECK      |          |
|----------------------|----------|
| Buckling             | 0.24 < 1 |
| LTB                  | 0.10 < 1 |
| Compression + Moment | 0.39 < 1 |
| Compression + Moment | 0.47 < 1 |

EC3 : EN 1993 Code Check

|             |      |       |        |      |
|-------------|------|-------|--------|------|
| Member B756 | CIRC | S 235 | potres | 0.98 |
|-------------|------|-------|--------|------|

| NEd<br>[kN] | Vy,Ed<br>[kN] | Vz,Ed<br>[kN] | TEd<br>[kNm] | My,Ed<br>[kNm] | Mz,Ed<br>[kNm] |
|-------------|---------------|---------------|--------------|----------------|----------------|
| 87.57       | -0.00         | -0.00         | -0.00        | -0.00          | -0.00          |

The critical check is on position 0.00 m

|            |      |   |
|------------|------|---|
| LTB        |      |   |
| LTB length | 4.52 | m |
| k          | 1.00 |   |
| kw         | 1.00 |   |
| C1         | 1.00 |   |
| C2         | 0.00 |   |
| C3         | 1.00 |   |

load in center of gravity

| SECTION CHECK      |          |
|--------------------|----------|
| Normal force check | 0.98 < 1 |
| M                  | 0.98 < 1 |

**STABILITY CHECK**

EC3 : EN 1993 Code Check

|             |              |       |        |      |
|-------------|--------------|-------|--------|------|
| Member B862 | RHS60/40/4.0 | S 235 | potres | 0.28 |
|-------------|--------------|-------|--------|------|

| NEd<br>[kN] | Vy,Ed<br>[kN] | Vz,Ed<br>[kN] | TEd<br>[kNm] | My,Ed<br>[kNm] | Mz,Ed<br>[kNm] |
|-------------|---------------|---------------|--------------|----------------|----------------|
| -3.59       | 0.06          | -0.14         | 0.00         | -0.14          | 0.15           |

The critical check is on position 4.00 m

| Buckling parameters | yy     | zz       |    |
|---------------------|--------|----------|----|
| type                | sway   | non-sway |    |
| Slenderness         | 187.28 | 260.14   |    |
| Reduced slenderness | 1.99   | 2.77     |    |
| Buckling curve      | c      | c        |    |
| Imperfection        | 0.49   | 0.49     |    |
| Reduction factor    | 0.20   | 0.11     |    |
| Length              | 4.00   | 4.00     | m  |
| Buckling factor     | 1.00   | 1.00     |    |
| Buckling length     | 4.00   | 4.00     | m  |
| Critical Euler load | 42.49  | 22.02    | kN |

Warning: slenderness 260.14 is larger than 200.00 !

|            |      |   |
|------------|------|---|
| LTB        |      |   |
| LTB length | 4.00 | m |
| k          | 1.00 |   |
| kw         | 1.00 |   |
| C1         | 1.61 |   |
| C2         | 0.48 |   |
| C3         | 2.64 |   |

load in center of gravity

| SECTION CHECK     |          |
|-------------------|----------|
| Compression check | 0.02 < 1 |
| Shear check (Vy)  | 0.00 < 1 |
| Shear check (Vz)  | 0.00 < 1 |

|                           |          |
|---------------------------|----------|
| Bending moment check (My) | 0.04 < 1 |
| Bending moment check (Mz) | 0.06 < 1 |
| M                         | 0.02 < 1 |

| STABILITY CHECK      |          |
|----------------------|----------|
| Buckling             | 0.19 < 1 |
| LTB                  | 0.04 < 1 |
| Compression + Moment | 0.19 < 1 |
| Compression + Moment | 0.28 < 1 |

**EC3 : EN 1993 Code Check**

|             |      |       |     |      |
|-------------|------|-------|-----|------|
| Member B877 | CIRC | S 235 | NC1 | 0.84 |
|-------------|------|-------|-----|------|

| NEd<br>[kN] | Vy,Ed<br>[kN] | Vz,Ed<br>[kN] | TEd<br>[kNm] | My,Ed<br>[kNm] | Mz,Ed<br>[kNm] |
|-------------|---------------|---------------|--------------|----------------|----------------|
| 50.40       | -0.00         | -0.00         | -0.00        | -0.00          | -0.00          |

The critical check is on position 0.00 m

| LTB        |      |   |
|------------|------|---|
| LTB length | 4.18 | m |
| k          | 1.00 |   |
| kw         | 1.00 |   |
| C1         | 1.00 |   |
| C2         | 0.00 |   |
| C3         | 1.00 |   |

load in center of gravity

| SECTION CHECK      |          |
|--------------------|----------|
| Normal force check | 0.84 < 1 |
| M                  | 0.84 < 1 |

## 6.0 Masivne konstrukcije objekta